

ГОСУДАРСТВЕННЫЙ КОМИТЕТ СССР ПО ГИДРОМЕТЕОРОЛОГИИ
И КОНТРОЛЮ ПРИРОДНОЙ СРЕДЫ

ИНСТИТУТ ГЕОГРАФИИ АКАДЕМИИ НАУК СССР

РЕСУРСЫ ПОВЕРХНОСТНЫХ ВОД СССР

КАТАЛОГ ЛЕДНИКОВ СССР

Том 14

СРЕДНЯЯ АЗИЯ

ВЫПУСК 3

АМУДАРЬЯ

ЧАСТЬ 11

БАСЕЙН р. ВАНЧА

ЧАСТЬ 12

БАСЕЙН р. ЯЗГУЛЕМА



ЛЕНИНГРАД
ГИДРОМЕТЕОИЗДАТ • 1978

ГОСУДАРСТВЕННЫЙ КОМИТЕТ СССР ПО ГИДРОМЕТЕОРОЛОГИИ
И КОНТРОЛЮ ПРИРОДНОЙ СРЕДЫ

ИНСТИТУТ ГЕОГРАФИИ АКАДЕМИИ НАУК СССР

РЕСУРСЫ ПОВЕРХНОСТНЫХ ВОД СССР

КАТАЛОГ ЛЕДНИКОВ СССР

Том 14

СРЕДНЯЯ АЗИЯ

ВЫПУСК 3

АМУДАРЬЯ

ЧАСТЬ 11

БАССЕЙН р. ВАНЧА

ЧАСТЬ 12

БАССЕЙН р. ЯЗГУЛЕМА

Г. Б. ОСИПОВА



ЛЕНИНГРАД
ГИДРОМЕТЕОИЗДАТ · 1978

УДК 551. 324

Каталог ледников бассейнов рек Ванча и Язгулема составлен и отредактирован в отделе гляциологии Института географии АН СССР. Каталог рекомендован к печати секцией гляциологии Межведомственного геофизического комитета при Президиуме АН СССР

Ответственный редактор
О. Н. ВИНОГРАДОВ

Редакторы:
Г. И. КОНОВАЛОВА, П. Н. ОГАНОВСКИЙ

В Каталоге дается характеристика географического положения, морфологии, климатических условий существования ледников бассейнов рек Ванча и Язгулема. Приводятся основные сведения о ледниках, схемы расположения ледников. Рассчитан на географов, гляциологов, гидрологов, метеорологов.

ПРЕДИСЛОВИЕ

Каталог ледников бассейнов рек Ванча и Язгулема составляет две части многотомного издания «Каталога ледников СССР», входящего в свою очередь в качестве самостоятельного раздела в издание «Ресурсы поверхностных вод СССР».

Каталог ледников бассейнов рек Ванча и Язгулема входит в т. 14 — Средняя Азия, вып. 3 — Амударья, разделенный на 18 частей. Бассейн р. Ванча составляет часть 11, а бассейн р. Язгулема — часть 12 выпуска. Деление Каталога ледников СССР по тома, выпуски и части приведено ниже.

Вследствие территориальной близости рек Ванча и Язгулема, сходства физико-географических условий их бассейнов, а также принадлежности к одной административной единице — Ванчскому району — в Каталоге дается общая характеристика географического положения, морфологии, климатических условий и режима ледников этих бассейнов с последующим делением на части при составлении табл. I — Основные сведения о ледниках (с пояснениями).

Бассейн р. Ванча разделен на три частных района. Первый включает бассейны правых притоков р. Ванча до слияния рек Ванча и Абдукагора (ледники № 1—95), второй район — бассейн верховьев р. Ванча и его крупного левого притока — р. Абдукагора (ледники № 96—170), третий район — бассейны левых притоков р. Ванча (ледники № 171—243).

Бассейн р. Язгулема также разделен на три района. Ледники бассейнов правых притоков р. Язгулема до слияния рек Мазардара и Ракзоу (№ 1—43) составляют ледники первого района, ледники бассейнов рек Мазардара и Ракзоу (№ 44—151) — второго, а ледники бассейнов левых притоков р. Язгулема (№ 152—244) — третьего.

Каталог состоит из пяти основных таблиц:

Таблица I — Основные сведения о ледниках (с пояснениями),

Таблица II — Список гидрометеорологических станций и постов в районе ледников,

Таблица III — Список суммарных осадкомеров и снегомерных пунктов в районе ледников,

Таблица IV — Экспедиционные и стационарные исследования ледников,

Таблица V — Список работ, содержащих сведения о ледниках.

Все эти таблицы составлены в соответствии с требованиями «Руководства по составлению Каталога ледников СССР».

Таблицы II—V составлены без деления на части.

Кроме того, Каталог содержит характеристику географического положения, климатических усло-

вий и морфологии ледников, орографическую схему района, схему расположения в бассейне гидрометеорологических станций и постов, суммарных осадкомеров, а также графический и табличный материалы.

В табл. I приведены сведения о линейных размерах и площади каждого ледника, его морфологическом типе, экспозиции, высоте над уровнем моря, положении фирновой линии, площадях аккумуляции и абляции, площадях с моренным покрытием и без него.

В процессе камеральных и полевых работ выяснилось, что контуры ледников на крупномасштабных картах нанесены очень схематично и обобщенно, а иногда неверно (в случаях особо грубого искажения участков местности морфометрические данные в табл. I даны в скобках). Поэтому основным источником для уточнения и исправления гляциологических контуров явились материалы аэрофотосъемок. Летом 1972 г. было проведено аэровизуальное дешифрирование ледников, во время которого корректировались границы ледников, отмечались их расхождения с аэрофотоснимками, определялись морфологические типы ледников, характер питания ледников, распределение на них моренного покрытия, наличие погребенных льдов и др. К сожалению, зима и весна 1972 г. были многоснежными и в августе, когда проводились полеты, большая часть ледников еще не освободилась от снежного покрова. Поэтому не было возможности уточнить положение границы питания на ледниках.

В бассейне р. Ванча на ледниках Медгежьем и Географического общества с 1963 по 1974 г. проводила работы Памирская высокогорная экспедиция Института географии АН СССР под руководством Л. Д. Долгушина. В составе этой экспедиции автором были произведены маршрутные обследования этих ледников, а также ледников бассейнов рек Абдукагора, Дустироза, Дарансунгат и Дарансед.

Камеральное дешифрирование аэросъемки производилось по нетрансформированным аэрофотоснимкам при помощи стереоскопа. Окончательно отдешифрированный контур ледника визуальным способом переносился на крупномасштабную топографическую карту, с которой были получены все морфометрические данные, помещенные в табл. I.

Морфологический тип ледника (графа 4, табл. I), как правило, определялся по аэрофотоснимкам, а также по наблюдениям с воздуха или маршрутным исследованиям. Морфологический тип ледников соответствует классификации, рекомендованной

«Руководством по составлению Каталога ледников СССР».

Экспозиция ледника (графа 5) определялась в соответствии с экспозицией основной его площади. В тех случаях, когда ледник резко меняет свое направление, экспозиция дана отдельно для его частей, а экспозиция основной площади ледника, которая была принята для составления табл. 7 и 8, выделена жирным шрифтом.

Длина ледника измерялась по карте масштаба 1 : 100 000 дважды: вдоль оси ледника от его конца и отдельно от чистого конца ледника до верховьев самого длинного из питающих его потоков, при помощи измерителя с раствором 2 мм. Длина ледника дается с точностью до 0,1 км. Площадь ледника также измерялась дважды по специально подготовленной топографической карте при помощи палетки со стороной квадрата 1 мм. Средние значения из двух измерений площади ледника с точностью до 0,1 км² заносились в графы 8, 9, 15, 16. В тех случаях, когда площадь одной из частей ледника составляла менее 0,1 км², в соответствующей графе ставился прочерк. В конце каждой группы ледников, принадлежащих к определенному речному бассейну, в графах 8, 9, 15 записываются суммарные значения площадей ледников, открытых частей и областей абляции. Если в бассейне реки имеются ледники площадью менее 0,1 км², то их количество и суммарная площадь записывались ниже итоговых данных вне граф таблицы и далее приводилась общая сумма площадей всех ледников.

Высотные отметки характерных точек ледников (графы 10, 11, 12) приводятся с точностью до 10 м. Высота фирновой линии (графа 13) определялась при дешифрировании аэрофотоснимков и поэтому является высотой границы питания на дату съемки. Она определялась с точностью до 50 м. Для ледников с асимметричным питанием или с многокамерными областями питания, в пределах бассейнов которых высота границы питания меняется, даны пределы ее изменения.

Объем льда (графа 17) вычислен по формуле Н. В. Ерасова $V=0,027\sqrt{S^3}$, где S — площадь ледника. Он приводится с точностью до 0,0001 км³. В итоге для каждого бассейна дается суммарный объем льда.

Непосредственно за табл. I в Каталоге помещены пояснения к ней, где в необходимых случаях представлены дополнительные сведения о ледниках. В таких случаях в графе I табл. I у номера ледника, к которому имеется пояснение, ставится звездочка(*).

Таблица II содержит список гидрометеорологических станций и постов, данные которых могут быть использованы для суждения о климатических условиях существования современного оледенения. В списке указаны все станции и посты независимо от их ведомственной принадлежности, действовавшие в момент составления Каталога. Все помещенные в табл. II станции и посты показаны на рис. 32.

Литературных данных о ледниках бассейнов рек Ванча и Язгулема мало. Основная работа по этому району — сводка Р. Д. Забирова «Оледенение Памира» (табл. V/№ 25). К ней приложен каталог ледников Памира, где впервые показана площадь оледенения, близкая к действительной. Однако точного представления о характере оледенения бассейнов рек Ванча и Язгулема этот каталог не дает, так как при его составлении учитывались только крупные ледники и во многих случаях целые группы ледников характеризовались как один ледник.

Кроме этой сводки, встречаются лишь общие описания некоторых крупных ледников верховьев рек Ванча и Язгулема. В последнее время появились работы, касающиеся ледников Медвежьего и Географического общества в связи с пульсирующим характером их режима. Все работы, в которых есть сведения о ледниках бассейнов рек Ванча и Язгулема, помещены в табл. V.

Физико-географическое описание района составлено на основании материалов экспедиционных исследований, литературных источников и анализа имеющегося картографического и аэрофотосъемочного материала.

Настоящие части Каталога ледников СССР подготовлены и составлены в отделе гляциологии Института географии АН СССР. В сборе полевого материала и в аэровизуальном дешифрировании принимал участие ст. научный сотрудник отдела Л. Д. Долгушин, раздел «Климатические условия» написан ст. научным сотрудником отдела А. П. Волюшиной.

ДЕЛЕНИЕ КАТАЛОГА ЛЕДНИКОВ СССР НА ТОМА, ВЫПУСКИ И ЧАСТИ

Подразделение Каталога ледников СССР на тома и выпуски полностью соответствует подразделению на тома и выпуски справочного издания «Ресурсы поверхностных вод СССР» (рис. 1). Как

ледников СССР составляется лишь на районы, охватываемые томами 1, 3, 8, 9, 13—17, 19, 20 этого издания.

В связи с неравномерностью распределения оле-

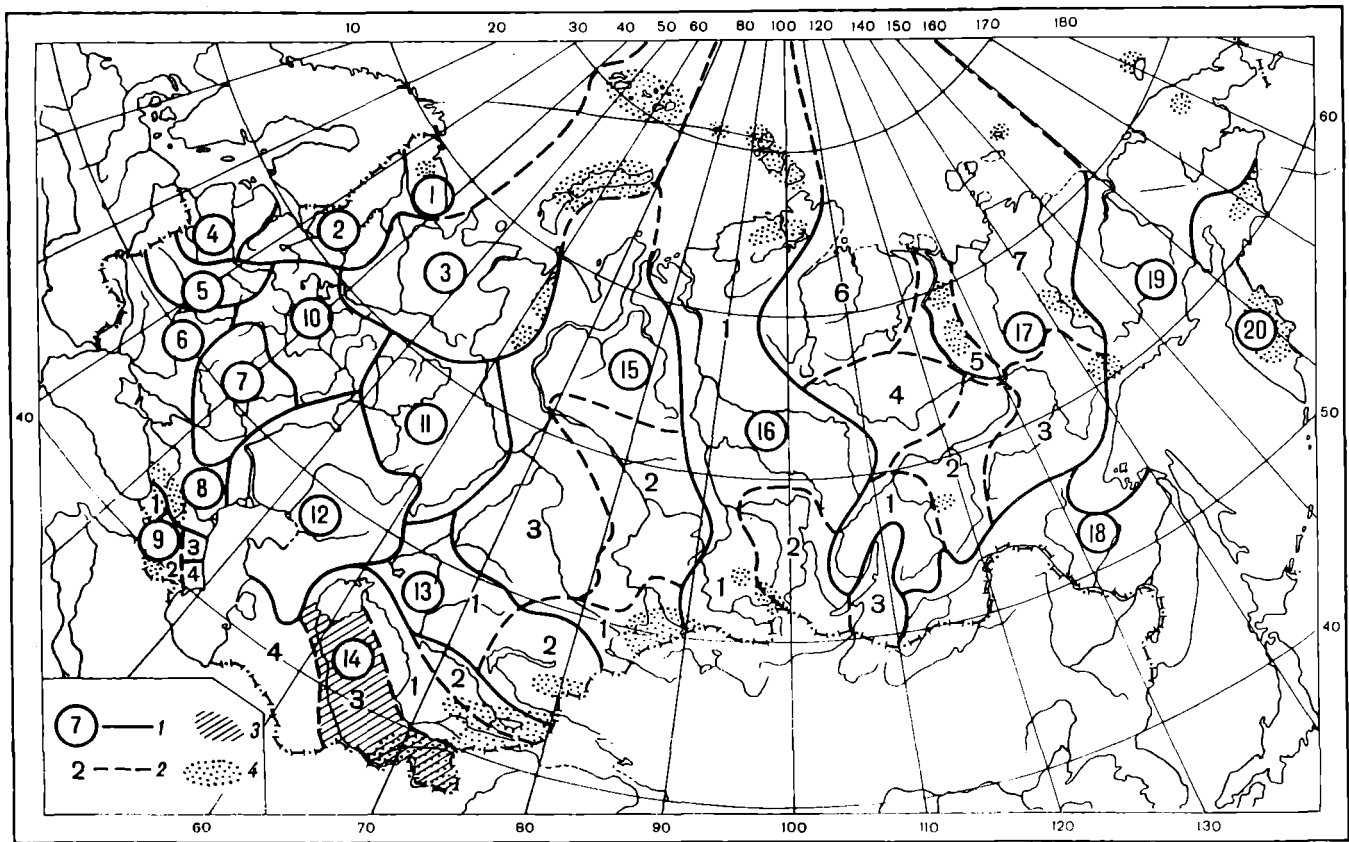


Рис. 1. Схема деления территории СССР на тома и выпуски Каталога ледников.

1 — номер тома и границы отнесенной к нему территории; 2 — номер выпуска и границы отнесенной к нему территории; 3 — территория, сведения о которой включены в том 14, вып. 3 — Амударья; 4 — районы современного оледенения.

известно, этот справочник состоит из 20 томов, характеризующих вместе всю территорию Советского Союза. В основу разделения справочника на тома положен принцип принадлежности территории к крупным речным бассейнам.

Поскольку области современного оледенения находятся не в каждом из 20 районов — томов издания «Ресурсы поверхностных вод СССР», Каталог

деления на территории СССР в пределах выделенных томов и отдельных выпусков предусматривается издание нескольких частей Каталога ледников СССР (см. список). Так, например, том 14 — Средняя Азия, вып. 3 — Амударья, разделенный на 18 частей, включая части 11 — Бассейн р. Ванча — и 12 — Бассейн р. Язгулема (рис. 2).

СПИСОК ТОМОВ, ВЫПУСКОВ И ЧАСТЕЙ КАТАЛОГА ЛЕДНИКОВ СССР

Том 1. КОЛЬСКИЙ ПОЛУОСТРОВ

Часть 1. Хибинские горы (издано в 1966 г.)

Том 3. СЕВЕРНЫЙ КРАЙ

Часть 1. Земля Франца-Иосифа (издано в 1965 г.)

Часть 2. Новая Земля

Часть 3. Урал (издано в 1966 г.)

Том 8. СЕВЕРНЫЙ КАВКАЗ

Часть 1. Бассейны рек Белой, Лабы, Урупа (издано в 1967 г.)

Часть 2. Бассейны рек Большого Зеленчука, Малого Зеленчука (издано в 1967 г.)

Часть 3. Бассейн р. Теберды (издано в 1967 г.)

Часть 4. Бассейн верховьев р. Кубани (издано в 1967 г.)

Часть 5. Бассейны рек Малки, Баксана (издано в 1970 г.)

Часть 6. Бассейн р. Чегема (издано в 1973 г.)

Часть 7. Бассейн р. Черема (издано в 1973 г.)

Часть 8. Бассейн р. Уруха (издано в 1976 г.)

Часть 9. Бассейн р. Ардона (издано в 1976 г.)

Часть 10. Бассейны рек Фиагдона, Гизельдона (издано в 1977 г.)

Часть 11. Бассейн верховьев р. Терека (издано в 1977 г.)

Часть 12. Бассейны правых притоков р. Сунжи (издано в 1977 г.)

Том 9. ЗАКАВКАЗЬЕ И ДАГЕСТАН

Выпуск 1. Западное Закавказье

Часть 1. Бассейн р. Мзымты (издано в 1977 г.)

Часть 2. Бассейн р. Бзыби (издано в 1975 г.)

Часть 3. Бассейн р. Келасури (издано в 1975 г.)

Часть 4. Бассейн р. Кодори (издано в 1975 г.)

Часть 5. Бассейн р. Ингури (издано в 1975 г.)

Часть 6. Бассейны рек Хоби, Риони (издано в 1975 г.)

Часть 7. Бассейны левых притоков р. Куры (издано в 1975 г.)

Выпуск 2. Армения

Часть 1. Бассейн р. Аракса

Выпуск 3. Дагестан

Часть 1. Бассейн р. Сулака (издано в 1975 г.)

Часть 2. Бассейн р. Самура (издано в 1975 г.)

Выпуск 4. Восточное Закавказье

Часть 1. Бассейн р. Кусарчая (издано в 1975 г.)

Том 13. ЦЕНТРАЛЬНЫЙ И ЮЖНЫЙ КАЗАХСТАН

Выпуск 2. Бассейн оз. Балхаш

Часть 1. Бассейны левых притоков р. Или от устья р. Тургени до устья р. Курты (издано в 1967 г.)

Часть 2. Бассейн р. Чилика (издано в 1968 г.)

Часть 3. Бассейны рек Чарына, Текеса (издано в 1969 г.)

Часть 4. Бассейны рек Хоргоса, Усека (издано в 1975 г.)

Часть 5. Бассейн р. Каратала

Часть 6. Бассейны рек Биена, Аксу, Лепсы (издано в 1970 г.)

Часть 7. Бассейны рек Тентека, Ргайты (издано в 1969 г.)

Том 14. СРЕДНЯЯ АЗИЯ

Выпуск 1. Сырдарья

Часть 1. Бассейн р. Пскема (издано в 1968 г.)

Часть 2. Бассейн р. Чаткала (издано в 1970 г.)

Часть 3. Бассейны правых притоков р. Нарына ниже устья р. Кёкмерена

Часть 4. Бассейны правых притоков р. Нарына от устья р. Кёкмерена до устья р. Малого Нарына (издано в 1973 г.)

Часть 5. Бассейны правых и левых притоков верховьев р. Нарына (издано в 1977 г.)

Часть 6. Бассейн р. Атбаши (издано в 1974 г.)

Часть 7. Бассейны левых притоков р. Нарына от устья р. Атбаши до устья р. Карадарьи (издано в 1977 г.)

Часть 8. Бассейн р. Карадарьи

Часть 9. Бассейны левых притоков р. Сырдарьи от устья р. Карадарьи до устья р. Аксу (издано в 1974 г.)

Часть 10. Бассейны левых притоков р. Сырдарьи от устья р. Аксу и ниже (издано в 1974 г.)

Часть 11. Бассейн р. Арыси (издано в 1976 г.)

Выпуск 2. Киргизия

Часть 1. Бассейны рек Ассы, Таласа (издано в 1968 г.)

Часть 2. Бассейны левых притоков р. Чу ниже устья р. Коморчека (издано в 1973 г.)

Часть 3. Бассейн верховьев р. Чу (издано в 1971 г.)

Часть 4. Бассейны правых притоков р. Чу ниже Боамского ущелья (издано в 1969 г.)

Часть 5. Реки бассейна оз. Иссык-Куль (издано в 1976 г.)

Часть 6. Бассейн р. Акшийрака (издано в 1970 г.)

Часть 7. Бассейны правых притоков р. Сарыджаза между устьями рек Акшийрака и Куйлю (издано в 1969 г.)

Часть 8. Бассейн верховьев р. Сарыджаза от устья р. Куйлю и выше (издано в 1977 г.)

Часть 9. Бассейны левых притоков р. Сарыджаза (реки Иныльчек, Кайнды, Каюкан) (издано в 1977 г.)

Часть 10. Бассейн р. Қокшаала (издано в 1971 г.)

Часть 11. Реки бассейна оз. Чатыркёль (издано в 1971 г.)

Выпуск 3. Амударья

Часть 1. Бассейн верховьев р. Зеравшана от устья р. Фандарьи

Часть 2. Бассейн р. Зеравшана ниже устья р. Фандарьи

Часть 3. Бассейн р. Қашқадарьи (издано в 1969 г.)

Часть 4. Бассейн р. Сурхандарьи (издано в 1969 г.)

Часть 5. Бассейн р. Кафирнигана

Часть 6. Бассейн р. Сурхоба между устьями рек Обихингоу и Муксу (издано в 1971 г.)

Часть 7. Бассейн р. Кызылсу (издано в 1976 г.)

Часть 8. Бассейн р. Муксу

Часть 8А. Система ледника Федченко (издано в 1968 г.)

Часть 9. Бассейн р. Обихингоу

Часть 10. Бассейны правых притоков р. Пянджа от устья р. Вахша до устья р. Ванча

Часть 11. Бассейн р. Ванча

Часть 12. Бассейн р. Язгулема

Часть 13. Бассейн р. Бартанга

Часть 14. Бассейн р. Мургаба

Часть 15. Бассейн р. Гунта

Часть 16. Бассейн верховьев р. Пянджа выше устья р. Гунта

Часть 17. Реки бассейна оз. Каракуль (издано в 1975 г.)

Часть 18. Бассейн верховьев р. Маркансу (издано в 1975 г.)

Часть 19. Бассейн р. Восточной Кызылсу

Часть 20. Бассейны правых притоков р. Пянджа между устьями рек Язгулема, Бартанга и Гунта.

Том 15. АЛТАЙ И ЗАПАДНАЯ СИБИРЬ

Выпуск 1. Горный Алтай и Верхний Иртыш

- Часть 1.* Бассейны левых притоков р. Иртыша (издано в 1969 г.)
Часть 2. Бассейн р. Кабы (издано в 1969 г.)
Часть 3. Бассейны рек Курчума, Бухтармы, Ульбы, Убы (издано в 1969 г.)
Часть 4. Бассейн верховьев р. Катунь
Часть 5. Бассейн р. Аргута
Часть 6. Бассейн р. Чуи (издано в 1974 г.)
Часть 7. Бассейн р. Бии
Часть 8. Бассейны рек Моген-Бурен, Каргы
Часть 9. Кузнецкий Алатау

Том 16. АНГАРО-ЕНИСЕЙСКИЙ РАЙОН

Выпуск 1. Енисей

- Часть 1.* Северная Земля
Часть 2. Бассейн р. Таймыры (горы Бырранга)
Часть 3. Бассейны рек Казыра, Кана (издано в 1973 г.)
Часть 4. Бассейн р. Кемчика (издано в 1973 г.)
Часть 5. Бассейн верховьев р. Енисей выше устья р. Кемчика (издано в 1973 г.)
Часть 6. Горы Путорана
Часть 7. Остров Ушакова

Выпуск 2. Ангара

- Часть 1.* Бассейн верховьев рек Оки, Уды (издано в 1973 г.)

Том 17. ЛЕНО-ИНДИГИРСКИЙ РАЙОН

Выпуск 2. Средняя Лена

- Часть 1.* Бассейны рек Чары и Витима (хребет Кодар) (издано в 1972 г.)

Выпуск 3. Алдан

- Часть 1.* Бассейн р. Юдомы (горы Сунтар-Хаята) (издано в 1977 г.)

Выпуск 5. Нижняя Лена

- Часть 1.* Хараулахские горы
Часть 2. Хребет Орулган (издано в 1972 г.)

Выпуск 7. Яна, Индигирка

- Часть 1.* Острова Де-Лонга
Часть 2. Бассейны левых притоков р. Средней Индигирки (хребет Черского)
Часть 3. Бассейны левых притоков верховьев р. Индигирки (горы Сунтар-Хаята) (издано в 1977 г.)
Часть 4. Бассейны правых притоков р. Средней Индигирки (хребет Черского)

Том 19. СЕВЕРО-ВОСТОК

- Часть 1.* Остров Врангеля
Часть 2. Бассейн р. Анадыри (хребет Пекульней)
Часть 3. Бассейн р. Дельку (горы Сунтар-Хаята) (издано в 1977 г.)
Часть 4. Бассейн р. Колымы

Том 20. КАМЧАТКА

- Часть 1.* Корякский хребет
Часть 2. Бассейны рек западного побережья Камчатки (издано в 1968 г.)
Часть 3. Бассейн р. Камчатки (издано в 1968 г.)
Часть 4. Бассейны рек восточного побережья Камчатки (издано в 1968 г.)

СПИСОК ПРИНЯТЫХ СОКРАЩЕНИЙ

Учреждения и организации

- АН — Академия наук
 ВГО — Всесоюзное географическое общество
 ИГАН — Институт географии Академии наук СССР
 ИГиГ АН УзССР — Институт геологии и геофизики Академии наук Узбекской ССР
 ДАН — Доклады Академии наук СССР
 ИМАН УзССР — Институт математики Академии наук Узбекской ССР
 МГГ — Международный геофизический год
 МГУ — Московский государственный университет
 РГО — Русское географическое общество
 САРНИГМИ — Среднеазиатский региональный научно-исследовательский гидрометеорологический институт
 САИГИМС — Среднеазиатский институт геологии и минерального сырья
 Тадж. компл. экспед. — Таджикская комплексная экспедиция
 Турк. отд. РГО — Туркестанское отделение Русского географического общества
 УГМС — Управление гидрометеорологической службы Таджикской ССР
 Географиз — Государственное географическое издательство
 Гидрометеониздат — Государственное научно-техническое гидрометеорологическое издательство

Пункты наблюдений

- гмст — гидрометеорологическая станция
 гп — гидрологический пост

- мп — метеорологический пост
 ос — осадкомер суммарный
 сп — снегомерный пункт

Морфологические типы ледников

- асим. дол. — асимметричный долинный
 вис. — висячий
 вис. дол. — висячий долинный
 вис. кар. — висячий каровый
 дол. — долинный
 кар. — каровый
 кар.-вис. — карово-висячий
 кар.-дол. — карово-долинный
 пригребн. — пригребневой
 сл. дол. — сложный долинный
 дендрит. — дендритовый

Способ определения высоты фирновой линии

- АФС — по аэрофотоснимкам

Прочие

- басс. — бассейн
 г. — гора, год
 геофиз. — геофизический
 геол. — геологический
 гляциол. — гляциологический
 гориз. — горизонтальный
 кишл. — кишлак
 оз. — озеро
 пер. — перевал
 пр. р. — приток реки
 р. — река
 хр. — хребет

ХАРАКТЕРИСТИКА ГЕОГРАФИЧЕСКОГО ПОЛОЖЕНИЯ, МОРФОЛОГИИ, КЛИМАТИЧЕСКИХ УСЛОВИЙ И РЕЖИМА ЛЕДНИКОВ

Рельеф

Бассейны рек Ванча и Язгулема, крупных правых притоков р. Пянджа, расположены в пределах глубоко расчлененной части Западного Памира. Реки занимают продольные долины между вытянутыми с северо-востока на юго-запад хребтами Дарвазским, Ванчским и Язгулемским (рис. 3). Дар-

Все структурные элементы этого антиклинория вытянуты на северо-восток. В его строении участвуют преимущественно протерозойские и нижнепалеозойские породы, прорванные мощными интрузиями в основном гранитоидного состава. Долины рек Ванча и Язгулема приурочены к синклиналим зонам, осложненным крупными разрывами и надвигами.

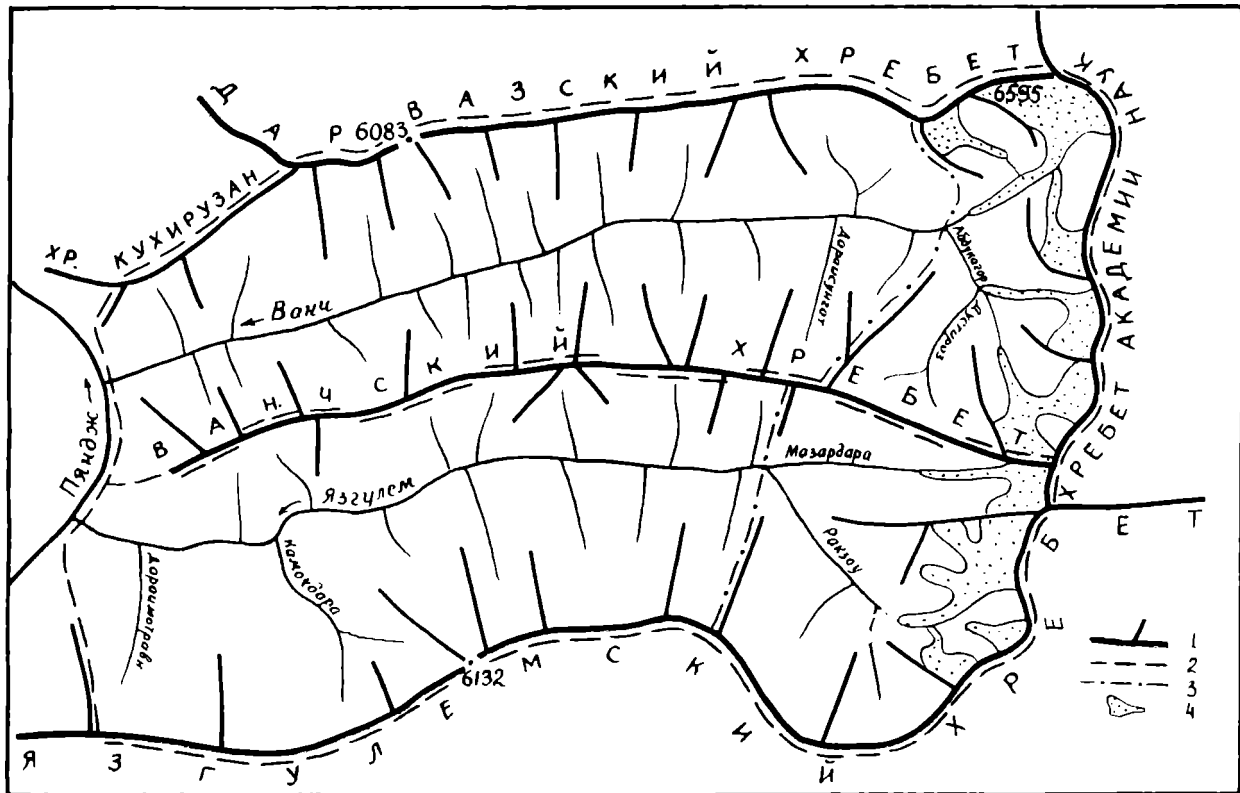


Рис. 3. Орографическая схема бассейнов рек Ванча и Язгулема.

1 — главный хребет и его отроги, 2 — граница бассейна, 3 — граница части бассейна, 4 — крупный ледник района.

вазский хребет служит северной границей района и является водоразделом рек Ванча и Обихингоу, Ванчский хребет является водоразделом рек Ванча и Язгулема, а Язгулемский хребет ограничивает описываемый район с юга, разделяя бассейны рек Язгулема и Бартанга. На востоке эти хребты примыкают к хребту Академии Наук, имеющему меридиональное направление. Гребень этого хребта является восточной границей района.

Вся территория представляет собой сложный Ванч-Язгулемский антиклинорий, построенный, крупными складками, разделенными разломами.

Описываемый район относится к Памирской области устойчивых неотектонических поднятий. Максимальными амплитудами поднятий (до 7000 м) характеризуется хребет Академии Наук в районе пиков Коммунизма и Гармо. Этот район отличается большими абсолютными и относительными высотами, глубоким расчленением рельефа и является очагом крупного современного оледенения. Все наиболее крупные ледники бассейнов рек Ванча и Язгулема приурочены к району стыка хребта Академии Наук с Дарвазским, Ванчским и Язгулемским хребтами.

Современный рельеф является отражением истории его развития. Сформировавшийся в течение неогена среднегорный рельеф с широкими плоскими долинами и пологими хребтами после поднятия Памира и начавшегося оледенения был в значительной степени изменен. В межледниковую эпоху на Западном Памире произошло быстрое эрозионное расчленение, врез достигал 550—600 м. В следующую эпоху оледенения большая часть долин была занята крупными ледниками, оставившими яркие следы экзарационной и аккумулятивной деятельности.

В настоящее время в верхних частях гор на высотах около 4000 м встречаются остатки рельефа среднегорного типа, вытянутые вдоль главных осей хребтов. Выше поднимаются резкорасчлененные гляциальные формы, а ниже — глубокорасчлененные эрозионные формы рельефа, в значительной степени переработанные древними ледниками.

Таким образом, рельеф водоразделов среднегорного типа, широкая сеть глубоко врезанных долин и большие абсолютные высоты создают благоприятные условия для развития оледенения преимущественно долинного и карового типа.

Хребет Академии Наук на участке от пика Гармо до Язгулемского перевала имеет среднюю высоту около 5400 м. Самая высокая точка на этом участке — пик Гармо (6595 м), самая низкая — пер. Кашалаяк (4340 м). Этот хребет не имеет четко выраженной гребневой линии, в его водораздельной части расположены обширные фирновые поля, питающие крупнейшие ледники Советского Союза — ледники Федченко, Гармо, Географического общества и др. С фирновых полей, расположенных на хр. Академии Наук, берут начало ледники Медвежий, Абдукагорский и Язгулемский.

Западный склон хребта обрывается в виде крутой стены, к которой с запада примыкают Дарвазский, Ванчский и Язгулемский хребты. Долина р. Ванча, разделяющая Дарвазский и Язгулемский хребты, своими верховьями врезана почти до самого гребня хр. Академии Наук, который возвышается над дном долины почти на 3000 м.

Дарвазский хребет от пика Гармо протягивается на юго-запад. Направление хребта на участке вдоль р. Ванча соответствует направлению основных тектонических линий и простирацию слоев. Близ долины р. Пянджа хребет поворачивает к северо-западу и уходит к р. Обихингоу. Участок хребта, непосредственно примыкающий к хр. Академии Наук, имеет среднюю высоту 5800 м. Остальная его часть характеризуется средними высотами 4950 м и только пик Арнавад (6083 м) резко выделяется на общем фоне. Южный склон Дарвазского хребта, обращенный к долине р. Ванча, — крутой и короткий. Черты рельефа Дарвазского хребта носят следы интенсивного молодого поднятия. Узкие ущелья правых притоков р. Ванча в своих верховьях резко расширяются, эрозионные долины сменяются обширными древними цирками, которые нередко вытянуты вдоль оси хребта. На склонах этих цирков располагаются группы современных долинных, каровых и карово-долинных ледников. Хребет Кухирузан является продолжением Дарвазского хребта и служит водоразделом бассейнов рек Ванча и Пянджа.

Ванчский хребет вытянут параллельно Дарвазскому с северо-востока на юго-запад. Высоты

хребта редко превышают 5000 м, средняя высота 4950 м. Основные черты рельефа Ванчского хребта имеют много общего с Дарвазским хребтом. Его южный склон круто обрывается к долине р. Язгулема. Долины правых притоков р. Язгулема, берущих начало с Ванчского хребта, — короткие, и оледенение здесь незначительно. Северный склон хребта более длинный, расчленен параллельными, глубоко врезанными долинами, имеющими значительное оледенение. Верховья долин,ходящие до гребневой линии, расширены и заканчиваются огромными древними цирками. Нередко эти цирки, как и в Дарвазском хребте, вытянуты вдоль осевой линии хребта, и их днища заняты долинными ледниками. Такие ледники встречаются как на северном склоне (долина р. Дарасунгат), так и на южном (долина р. Даргауджовасай).

Южной и юго-восточной границей района является Язгулемский хребет. Высоты его не так разнообразны, как Ванчского хребта. К западу от истоков р. Ракзоу он имеет средние высоты 5370 м и максимальную высоту 6132 м — пик Вудор в верховьях р. Выдвяджа. Участок Язгулемского хребта меридионального направления к северу от г. Ляп-Назар имеет более значительную высоту — в среднем 5650 м. В западной части хребта главный водораздел смещается то к югу, то к северу. Северный склон хребта глубоко расчленен сложной системой речных долин. Поперечный профиль Язгулемского хребта аналогичен поперечному профилю Ванчского хребта. Отличие заключается лишь в более глубоком расчленении рельефа верхнего яруса.

Гидрографическая сеть

Реки Ванч и Язгулем — типичные горные реки: они многоводны, имеют порожистый продольный профиль и быстрое течение, несут огромное количество взвешенных и донных наносов, сильно вздуваются в период таяния ледников и снежников.

Истоком р. Ванча считается река, берущая начало из ледника Географического общества на высоте 2580 м. В 3 км от истока река принимает слева крупный приток — р. Абдукагор, которая начинается от одноименного ледника на высоте 3560 м. Длина р. Абдукагора 16 км, площадь бассейна 329 км². На протяжении 2 км река течет среди участков погребенного льда, расположенных ниже ледника, а в 7 км от истока она меняет русло в зависимости от состояния пульсирующего ледника Медвежьего, который периодически продвигается вниз по долине. При подвижке 1963 г. язык ледника Медвежьего перегоразивал р. Абдукагор и в его долине образовалось озеро (рис. 4). Прорыв этого озера произошел поперек ледника Медвежьего, и в течение 7 лет (до 1970 г.) р. Абдукагор текла в ледяном туннеле внутри ледника. Лишь затем река прорыла себе русло вдоль его левого борта. В настоящее время, после очередной подвижки ледника Медвежьего в 1973 г., р. Абдукагор вновь течет под языком ледника Медвежьего, а в долине р. Абдукагора выше перегоразившего его языка ледника существует озеро. Прорывы озера, образующегося после подвижек ледника Медвежьего, носят катастрофический характер. И в 1963, и в 1973 гг. они вызвали разрушительные сели в доли-

не р. Ванча с расходами движущейся массы до 1000 м³/с. Ниже конца ледника Медвежьего р. Абдукагор принимает еще один крупный приток — р. Дустироз.

Ниже устья р. Абдукагора р. Ванч течет по широкой долине с плоским дном и низкой валунно-галечниковой поймой, разветвляясь на многочисленные рукава. Большинство притоков р. Ванча, берущих начало из ледников Дарвазского

появления. Гидропосты, имеющиеся в районе, расположены в устьях рек Ванча и Язгулема и не дают количественной характеристики стока верхней ледниковой зоны. Данные о гидрологическом режиме рек района взяты из работ А. О. Кеммериха (V/№ 35, 36, 37), основанных не только на данных гидропостов, но и на материалах полевых исследований этого автора.

Площадь всего водосборного бассейна р. Ванча

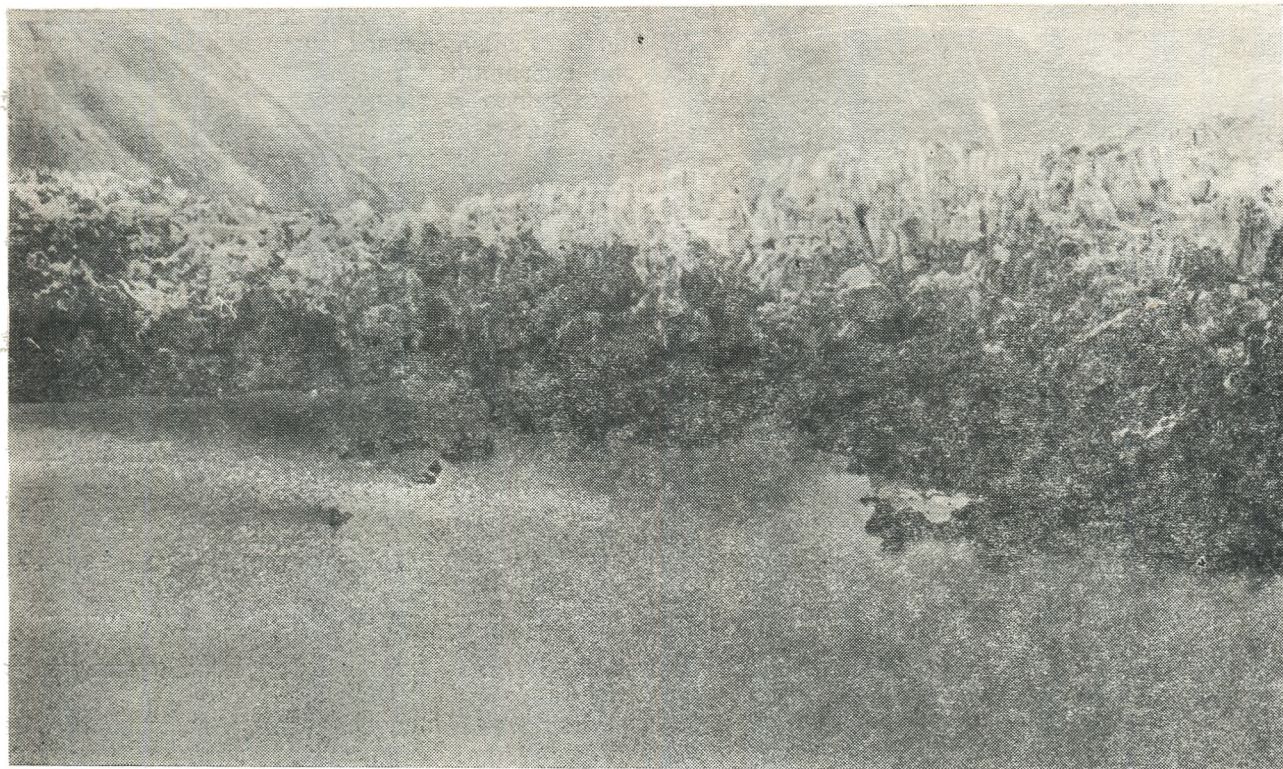


Рис. 4. Озеро в долине р. Абдукагора, образовавшееся при подвижке ледника Медвежий в 1973 г. Фото Л. Д. Долгушина.

и Ванчского хребтов, при подходе к его руслу образуют мощные конусы выноса. Наиболее крупные притоки — Дарайсунгат, Дарайпоймазар, Дарайлянгар и др. В 5 км выше впадения в р. Пяндж долина р. Ванча образует ущелье с глубоко врезынным в дно руслом реки шириной до 18 м. Длина р. Ванча 95 км.

Река Язгулем образуется после слияния рек Мазардара и Ракзоу. Река Мазардара берет начало из ледника Язгулемского на высоте 3600 м и на протяжении 13 км течет по древней ледниковой долине. Река Ракзоу начинается от одноименного ледника на высоте 3420 м. После слияния рек Мазардара и Ракзоу р. Язгулем протекает в узкой долине с крутыми скалистыми берегами, принимая многочисленные короткие (6—10 км), но многоводные притоки с крутым падением. Наиболее крупные притоки впадают слева в ее нижнем течении. Это реки Камочдара (длина 21 км) и Дараймотравн (14 км). Длина р. Язгулема 80 км.

Гидрологический режим

Реки Ванч и Язгулем относятся к типичным рекам с ледниково-снеговым питанием. Почти половина стока этих рек формируется в бассейнах их верховий, где находится основная площадь оледе-

равна 2070 км². За период наблюдений с 1938 по 1962 г. средний годовой расход воды близ устья равен 49,4 м³/с, что соответствует модулю стока 25,7 л/(с·км²). Площадь всего водосборного бассейна р. Язгулема составляет 1970 км². За период с 1940 по 1966 г. средний годовой расход воды в низовье реки (пос. Мотравн) был равен 36,2 м³/с, что соответствует модулю стока 18,7 л/(с·км²). В наиболее многоводные годы модуль стока р. Язгулема увеличивается до 25, а в маловодные годы снижается до 13,2 л/(с·км²).

Основными источниками питания рек Ванча и Язгулема являются воды, поступающие от таяния сезонного снега и ледников (табл. 1).

Доля ледникового питания в суммарном стоке рек зависит главным образом от степени оледенения бассейна и средней высоты водосбора. В бассейне верховьев р. Ванча (бассейн ледника Географического общества), где ледники занимают более 50% площади бассейна, а средняя высота водосбора равна 4370 м, доля ледникового питания составляет 63%. В бассейне р. Дараймотравн (левый приток р. Язгулема), где средняя высота водосбора и площадь оледенения менее значительны, доля ледникового питания понижается до 15%.

В стоке рек Ванча и Язгулема большую роль играют подземные воды, формирующиеся из

Таблица 1

Доля различных источников питания в годовом стоке рек (% от объема среднего годового стока) (по V/№ 37)

Бассейн реки	Место наблюдений	Площадь водосбора, км ²	Средняя высота водосбора, м	Питание		
				подземное	снеговое	ледниковое
Ванч	гп Ванч	1920	3780	33	26	41
	В 2,5 км ниже истока	206	4370	—	37	63
Абдукагор	В 9 км ниже истока	320	4450	32	26	42
Язгулем	гп Мотравн	1940	3920	36	29	35
Дарамотравн ¹	Устье	122	3730	40	45	15

¹На картах мелкого масштаба река называется Матраундара.

трансформированных дождевых и талых вод сезонных снегов и ледников. Большая роль подземного стока объясняется распространением в бассейнах рек Ванча и Язгулема водопроницаемых горных пород — известняков, мергелей, аллювиальных и моренных отложений. Подземные воды создают некоторую зарегулированность стока. Поэтому даже в зимнее время в низовьях рек Ванча и Язгулема довольно высокие модули минимального стока — соответственно 5,94 и 4,69 л/(с·км²). Малое количество летних осадков, фильтрация их в почву и значительное испарение летом, а также летние снегопады на высотах более 4000 м объясняют ничтожную роль дождевых вод в годовом стоке рек. В верхней зоне гор дождевое питание не превышает 1% годового объема стока.

Режим стока в низовьях рек Ванча и Язгулема характеризуется двумя фазами — весенне-летним половодьем и зимней меженью (табл. 2). Посте-

Таблица 2

Распределение стока рек Ванча и Язгулема по месяцам, % годового стока (V/№ 37)

Бассейн реки	Место наблюдений	Водосбор		I	II	III	IV	V	VI	VII	VIII	IX	X	XI	XII
		площадь, км ²	средняя высота, м												
Ванч	гп Ванч	1920	3780	2,3	2,1	2,1	2,9	6,1	12,0	24,8	21,9	14,4	5,5	3,3	2,6
	В 2,5 км ниже истока	206	4370	—	—	—	0,6	8,0	18,0	27,0	25,0	13,5	6,5	1,5	—
Абдукагор	В 9 км ниже истока	320	4450	3,0	2,5	2,5	4,0	9,0	14,0	19,0	20,0	13,0	5,5	4,0	3,0
Язгулем	гп Мотравн	1940	3920	2,6	2,5	2,5	3,3	6,4	15,0	24,8	20,6	11,2	5,0	3,5	2,7

пенное увеличение расходов воды начинается обычно в середине апреля и заканчивается в конце октября. За период половодья проходит 86% годового стока р. Ванча и 83% р. Язгулема. Годовые максимумы расходов наблюдаются в июле и августе и совпадают с повышением средних суточных температур воздуха и усилением таяния ледников, сезонных и высокогорных снегов, когда в формировании стока принимает участие большая часть бассейна. На р. Ванче наибольший срочный расход 4/VIII 1948 г. составил 278 м³/с, а на р. Язгулеме в 1941 г. — 293 м³/с.

В верховьях бассейнов весенне-летнее половодье начинается позже — в конце апреля — начале мая. Увеличение расходов воды происходит постепенно, а со второй половины июля и в августе половодье протекает бурно. В 1965 г. в бассейне ледника Географического общества максимальные средние суточные расходы воды (45,5—59 м³/с) наблюдались в период с 21 по 29/VII. Мгновенный максимум расходов воды, наблюдавшийся 27/VII, был равен 85 м³/с, что соответствовало максимальному модулю стока 413 л/(с·км²). В сентябре наблюдается постепенное снижение стока. В зимнее время в бассейне ледника Географического общества поверхностный сток практически прекращается.

Для бассейнов рек с незначительной долей подземного питания и незарегулированным стоком характерен резко выраженный суточный ход расходов и уровней воды. В бассейне ледника Географического общества в период летнего половодья суточная амплитуда расходов достигает 25—35 м³/с. В бассейне р. Абдукагора, где подземные воды регулируют сток, максимальные средние су-

точные расходы всего в 3,8 раза больше, чем средние годовые.

Воды р. Ванча отличаются высокой мутностью, по средним многолетним данным, достигающей в низовье реки (кишл. Ванч) 1950 г/м³ (сток взвешенных наносов равен 2463 тыс. т в год). Повышенная мутность объясняется наличием в бассейне реки пород, легко поддающихся размыву, а также деятельностью ледников. Мутность р. Язгулема составляет 890 г/м³, в период таяния ледников она повышается.

Долина р. Ванча является селеопасным районом. Помимо катастрофических селей, возникающих при прорывах подпруживаемого ледником Медвежьим озера в долине р. Абдукагора, селевые паводки наблюдаются довольно часто на многих других притоках р. Ванча.

Заметную роль в формировании стока рек Ванча и Язгулема играют лавины, нередко достигающие уровня дна долин. Отдельные лавинные конусы сохраняются до конца лета и оказывают регулирующее воздействие на сток этих рек (рис. 5).

Климатические условия

На территории описываемого района имеется одна метеостанция Хумроги, расположенная в долине р. Пянджа близ устья р. Ванча. По ее данным невозможно составить верное представление о климате ледниковой зоны. Ближайшая высокогорная метеорологическая станция Ледник Федченко расположена на высоте 4170 м над ур. м. Но вследствие особенностей своего местоположения (на ригеле, выступающем над ледником на

200 м) она дает несколько искаженные сведения об осадках и снежном покрове.

Общая циркуляция. Климат района связан с географическим положением — в субтропической области центральной части Евразии, на западной периферии обширного горного поднятия. Климат ледниковой зоны обусловлен в большей степени влиянием свободной атмосферы и вертикальной зональностью. Циркуляция воздуха в холодное по-

облачном небе, что обусловлено малой мощностью облачных систем и большим числом просветов в них. Поэтому отношение действительной суммарной радиации к возможной в исследуемом районе составляет около 90% (в большинстве районов СССР оно колеблется от 60 до 80%). Изменчивость притока солнечной радиации от года к году невелика ($\pm 7\%$), а ее средняя величина за май—октябрь, рассчитанная за 20 лет, равна 103 ккал/см².



Рис. 5. Лавинный конус в долине р. Абдукагора, сохраняющийся до конца лета.

лугодие определяется частой повторяемостью юго-западной периферии сибирского максимума (24% случаев), западных и северо-западных вторжений (29%) и смещением циклонов с юго-запада (23%), приносящих осадки, особенно обильные в весенние месяцы.

В теплом полугодии перенос осадков осуществляют западные и северо-западные массы воздуха (их повторяемость 49%). Устойчивая малооблачная погода наблюдается в условиях термической депрессии (8%), а также на юго-западной периферии антициклонов (24% случаев). Резкие похолодания связаны с северными вторжениями (11%).

Радиационный режим. Несмотря на значительную закрытость горизонта в долинах, куда спускаются языки ледников, суммарная радиация в теплом полугодии оказывается здесь выше, чем на равнине. Так, средняя многолетняя величина суммарной радиации при безоблачном небе на леднике Медвежьем (на высоте 3000 м) за май—октябрь составляет 116 ккал/см² (для равнины на той же широте она равна 108 ккал/см²). Отличительной чертой радиационного режима района являются большие значения коротковолновой радиации при

Поглощение тепла коротковолновой радиации верхним слоем ледника зависит от его альбедо. На крупных долинных ледниках поверхность льда характеризуется низкими величинами альбедо (0,12—0,20), что связано с наличием моренного материала. Высоко расположенные каровые и карово-висячие ледники загрязнены слабее, поэтому альбедо их выше. В наихудших условиях инсоляции находятся ледники крутых склонов северной экспозиции.

Температура воздуха. Ледники описываемого района располагаются в значительном диапазоне высот (2600—6500 м), и поэтому температурный режим воздуха над ними весьма разнообразен. Основываясь на многолетнем ряде наблюдений метеостанции Ледник Федченко, а также принимая во внимание расчеты температуры воздуха на высоте границы питания, проведенные А. Н. Кренке¹, и результаты непосредственных наблюдений на леднике Медвежьем в 1972 г., можно получить ориентировочные характеристики температуры воздуха на ледниках исследуемого района для разных сезонов и высот (табл. 3).

¹ Кренке А. Н. Климатические условия существования современного оледенения Средней Азии.— «Изв. АН СССР. Сер. геогр.», 1973, № 1.

Таблица 3

Средняя температура воздуха в ледниковой зоне, °С

Высотный уровень	Абс. высота, м	Зима (XII—II)	Весна (III—V)	Лето (VI—VIII)	Осень (IX—XI)	Год
Койцы долинных ледников	3000	—10	1	12,5	2	1
Средняя высота концов ледников	3500	—12,5	—2	9	—1	—2
Границы питания	4500	—17,5	—8	2	—7	—7,5
Верхние точки ледников	5000	—20	—11	—1,5	—10	—10,5

Суточные и месячные значения температуры воздуха меняются в более широких пределах. Так, рассчитанные по данным метеостанции Ледник Федченко средние месячные температуры воздуха для конца ледника Медвежьего (3000 м) в летние месяцы колеблются от 6,8 (июнь 1972 г.) до 13,9°С (июль 1973 г.). Межсуточная изменчивость температуры воздуха в теплое время года может достигать 4—5°С. В летние месяцы горизонтальный градиент температур воздуха в пределах исследуемого района направлен с северо-запада на юго-восток. Сумма положительных средних суточных температур воздуха в нижней части ледниковой зоны (на уровне 3000 м) за 1954—1973 гг. составляет в среднем около 1300°С, в отдельные годы она колеблется от 1050 до 1600°С.

Ветер. Ветровой режим очень неоднороден в пространстве и во времени. Скорость ветра в различные периоды определяется барической обстановкой и соотношением направлений основного потока и хребтов. В целом скорость ветра повышается в зимние месяцы. В теплое полугодие (III—X) велика роль горно-долинной циркуляции, которая здесь получает большое развитие благодаря соседству раскаленных полупустынь и ледниковых полей. Днем местные ветры проникают высоко в горы и обуславливают повышение температуры воздуха над ледниками на 2—3°С.

Осадки. В первой половине теплое полугодия (III—VI) Северо-западный Памир характеризуется значительной облачностью и увеличением осадков. По данным метеостанции Ледник Федченко, наибольшее месячное количество осадков наблюдается в среднем в марте, но в отдельные годы может отмечаться в разные месяцы холодного полугодия. За период с мая по октябрь здесь выпадает около 30% годовой суммы осадков. В течение этого периода число дней с осадками уменьшается от мая (22 дня) к августу (6 дней) и снова возрастает осенью (в октябре до 14 дней).

В высокогорных районах определение действительного количества выпадающих осадков представляет большие трудности как из-за неточности их измерений, так и вследствие значительной пространственной изменчивости. По данным метеостанции Ледник Федченко, измеренное годовое количество осадков за 1954—1973 гг. составляет в среднем 1220 мм, а колебания от года к году — от 800 до 1900 мм. Используя методику определения осадков по температуре воздуха на высоте границы питания ледников, получаем годовое количество осадков на высоте 4,5 км, равное 1100 мм.

Снегосъемки, проведенные в районе ледника Федченко весной 1959 г. (после многоснежной зи-

мы), показали изменение высоты снежного покрова от 80 см на высоте 3600 м до 400 см на высоте 5000 м. При средней плотности снега 0,33 г/см³ это соответствует водности снежного покрова от 270 до 1320 мм. Р. Д. Забиров (V/№ 25) отмечает в пределах долин рек Ванча и Язгулема аномальное для Памира распределение осадков, т. е. увеличение их с запада на восток, что связано с наличием на востоке меридионально вытянутого хребта Академии Наук, обостряющего фронты.

Оледенение

Фирновая линия. Высота фирновой линии в бассейнах рек Ванча и Язгулема определялась по аэрофотоснимкам и является высотой границы питания на ледниках на даты съемок. Поскольку на разные части бассейнов использовались съемки разных лет, трудно говорить о распределении фирновой линии в целом для рассматриваемого района. Тем не менее можно заметить некоторые закономерности изменения высоты границы питания. Долины рек Ванча и Язгулема, имеющие в основном широтное простирание, открыты на запад, что создает благоприятные условия для проникновения влажных западных и юго-западных ветров, которые при продвижении вверх по долинам теряют часть запаса влаги. Максимальных значений высота границы питания достигает на востоке района в бассейнах верховьев рек Ванча и Язгулема, где она равна 4700—4900 м при максимуме 5100 м в бассейне р. Ванча и 4900 м в бассейне р. Язгулема.

В пределах одних и тех же бассейнов на высоту границы питания большое влияние оказывает освещенность склонов. На склонах северной экспозиции граница питания в среднем ниже, чем на склонах южной экспозиции. Особенно хорошо это видно на крупных ледниках, имеющих многокамерные области питания, расположенные на склонах разной экспозиции. Граница питания в пределах таких бассейнов значительно меняет свою высоту, увеличиваясь от северных склонов к южным. На отдельных ледниках граница питания проходит ниже среднего уровня для ледников данного склона вследствие значительной роли лавин в питании ледника. На таких ледниках ее высота снижается до минимального значения для всего района — 3800 м.

Размеры ледников. В бассейне р. Ванча имеется 291 ледник общей площадью 353,9 км² (в том числе 243 ледника размерами 0,1 км² и более каждый занимают 350,4 км²), а в бассейне р. Язгулема — 269 ледников общей площадью 313,0 км² (из них 244 ледника размерами 0,1 км² и более занимают 310,9 км²). Таким образом, средняя площадь одного ледника в бассейне р. Ванча равна 1,22 км², а в бассейне р. Язгулема — 1,16 км². Если дендритовые и сложные долинные ледники не расчленять на отдельные потоки, то средняя площадь одного ледника в обоих бассейнах одинаковая — 1,29 км² (табл. 4).

Распределение ледников в бассейнах рек Ванча и Язгулема крайне неравномерное. Основная площадь оледенения этих бассейнов лежит в их верховьях, расположенных в районе стыка хребтов Дарвазского, Ванчского и Язгулемского с хр. Академии Наук. В бассейне р. Ванча 61,3% оледенения

Распределение ледников по основным районам бассейнов рек Ванча и Язгулема

Бассейн реки	Ледники площадью				Всего		Максимальная площадь одного ледника, км ²	Средняя площадь одного ледника, км ²				
	0,1 км ² и более		менее 0,1 км ²		количество	площадь, км ²						
	количество	площадь, км ²	количество	площадь, км ²								
Бассейн р. Ванча												
Правые притоки р. Ванча	95	(94)	78,8	22	1,6	117	(116)	80,4	7,2	(7,2)	0,69	(0,69)
Верховья р. Ванча, Абдукагор	75	(65)	215,8	14	1,1	89	(79)	216,9	28,2	(64,4)	2,44	(2,75)
Левые притоки р. Ванча	73	(67)	55,8	12	0,8	85	(79)	56,6	6,0	(7,5)	0,66	(0,72)
Итого	243	(226)	350,4	48	3,5	291	(274)	353,9	28,2	(64,4)	1,22	(1,29)
Бассейн р. Язгулема												
Правые притоки р. Язгулема	43	(43)	28,7	13	1,1	56	(56)	29,8	4,5	(4,5)	0,53	(0,53)
Мазардара и Ракзоу	108	(91)	196,5	7	0,5	115	(98)	197,0	24,3	(47,2)	1,71	(2,01)
Левые притоки р. Язгулема	93	(84)	85,7	5	0,5	98	(89)	86,2	3,8	(6,9)	0,88	(0,97)
Итого	244	(218)	310,9	25	2,1	269	(243)	313,0	24,3	(47,2)	1,16	(1,29)

Примечание. В скобках указаны количество ледников, максимальная и средняя площади одного ледника, подсчитанные без расчленения дендритовых и сложных долинных ледников на отдельные потоки.

(216,9 км²) расположено в верховьях этой реки (бассейн ледника Географического общества) и в бассейне ее главного левого притока — р. Абдукагора. В бассейне р. Язгулема 62,9% площади оледенения (196,9 км²) сосредоточено в бассейнах ее составляющих — рек Мазардара и Ракзоу. В этих районах расположены самые крупные ледники: Географического общества, Медвежий и Абдукагорский в бассейне р. Ванча, Язгулемский и Ракзоу в бассейне р. Язгулема. Здесь средняя площадь одного ледника достигает 2,44 км² (верховья р. Ванча и р. Абдукагора) и 1,71 км² (бассейны рек Мазардара и Ракзоу), а без расчленения дендритовых и сложных долинных ледников на отдельные потоки — соответственно 2,75 и 2,01 км².

Ледники площадью более 10 км² встречаются только в верховьях рек Ванча и Язгулема, где они составляют соответственно 74 и 50,4% площади оледенения этих районов. В остальных частях бассейнов рек Ванча и Язгулема наиболее часто встречаются ледники размерами от 0,1 до 1,0 км², хотя основная доля площади оледенения в этих районах приходится на ледники размерами от 1,1 до 3,0 км² (табл. 5, 6).

Экспозиция ледников. Распределение оледенения на склонах разных экспозиций зависит прежде всего от орографии района и направления основных влагонесущих воздушных масс. Верховья рек Ванча и Язгулема характеризуются большими абсолютными высотами и сложным характером сочленения хребтов (здесь много отрогов разных направлений), поэтому широко развиты дендритовые и сложные долинные ледники, стекающие со склонов разных экспозиций. Основная площадь оледенения приурочена к западному склону хр. Академии Наук, в пригребневой части которого благодаря большим абсолютным высотам и большому количеству осадков создаются благоприятные условия для развития и существования обширных фир-

новых полей. Кроме того, на распределение ледников большое влияние оказывает также перенос снега западными ветрами на склоны восточной экспозиции. Вследствие этого в верховьях рек Ванча и Язгулема наибольшие площади оледенения приурочены к склонам западной и восточной экспозиций (табл. 7, 8; рис. 6).

Направление языков ледников часто не отражает экспозицию наибольших площадей ледников.

Ледники правых притоков рек Ванча и Язгулема, расположенные на южных склонах Дарвазского и Ванчского хребтов, ориентированы главным образом на юго-восток. Южную составляющую определяет в основном направление склонов хребтов, а восточная составляющая связана с ветровым переносом снега западными ветрами на подветренные склоны восточной экспозиции.

Ледники левых притоков рек Ванча и Язгулема приурочены к северным склонам Ванчского и Язгулемского хребтов, для которых характерны широкие долины, ориентированные на север и разделенные отрогами того же направления. Ледники расположены в верховьях этих долин, а также на западных и восточных склонах отрогов. Здесь преобладают ледники северных румбов. Северные склоны отличаются большей заснеженностью, и ледники получают дополнительное питание за счет лавин. Для некоторых ледников лавины служат единственным источником питания.

Морфологические типы ледников. Ледники рассматриваемой территории можно разделить на три группы: 1) ледники долин, куда входят дендритовые, сложные долинные, долинные, асимметричные долинные и висячие долинные ледники; 2) ледники склонов, т. е. каровые, висячие каровые, карово-висячие и висячие ледники; 3) карово-долинные ледники, являющиеся переходными между ледниками долин и ледниками склонов.

Распределение ледников по величине их площади в бассейне р. Ванча

Размеры ледников, км²	Правые притоки р. Ванча		Верховья р. Ванча, р. Абдукагор		Левые притоки р. Ванча		Всего			
	количество	площадь, км²	количество	площадь, км²	количество	площадь, км²	количество	площадь, км²		
<0,1	$\frac{22}{18,8}$ $\left(\frac{22}{18,9}\right)$	$\frac{1,6}{2,0}$ $\left(\frac{1,6}{2,0}\right)$	$\frac{14}{15,7}$ $\left(\frac{14}{17,7}\right)$	$\frac{1,1}{0,5}$ $\left(\frac{1,1}{0,5}\right)$	$\frac{12}{14,0}$ $\left(\frac{12}{15,2}\right)$	$\frac{0,8}{1,4}$ $\left(\frac{0,8}{1,4}\right)$	$\frac{48}{16,6}$ $\left(\frac{48}{17,5}\right)$	$\frac{3,5}{1,0}$ $\left(\frac{3,5}{1,0}\right)$		
0,1—0,3	$\frac{33}{28,2}$ $\left(\frac{32}{27,6}\right)$	$\frac{6,2}{7,7}$ $\left(\frac{5,9}{7,4}\right)$	$\frac{15}{16,9}$ $\left(\frac{15}{19,0}\right)$	$\frac{2,9}{1,3}$ $\left(\frac{2,9}{1,3}\right)$	$\frac{31}{36,5}$ $\left(\frac{30}{38,0}\right)$	$\frac{7,2}{12,7}$ $\left(\frac{7,0}{12,4}\right)$	$\frac{79}{27,1}$ $\left(\frac{77}{28,0}\right)$	$\frac{16,3}{4,6}$ $\left(\frac{15,8}{4,5}\right)$		
0,4—1,0	$\frac{38}{32,5}$ $\left(\frac{38}{32,8}\right)$	$\frac{22,5}{28,0}$ $\left(\frac{22,5}{28,0}\right)$	$\frac{30}{33,7}$ $\left(\frac{27}{34,2}\right)$	$\frac{18,1}{8,3}$ $\left(\frac{15,7}{7,1}\right)$	$\frac{27}{31,8}$ $\left(\frac{24}{30,4}\right)$	$\frac{17,8}{31,5}$ $\left(\frac{15,9}{28,1}\right)$	$\frac{95}{32,6}$ $\left(\frac{89}{32,5}\right)$	$\frac{58,4}{16,5}$ $\left(\frac{54,1}{15,2}\right)$		
1,1—3,0	$\frac{21}{17,9}$ $\left(\frac{21}{18,1}\right)$	$\frac{35,6}{44,3}$ $\left(\frac{35,9}{44,6}\right)$	$\frac{17}{19,1}$ $\left(\frac{15}{19,0}\right)$	$\frac{31,5}{14,5}$ $\left(\frac{25,7}{11,8}\right)$	$\frac{13}{15,3}$ $\left(\frac{11}{13,9}\right)$	$\frac{21,3}{37,6}$ $\left(\frac{19,4}{34,3}\right)$	$\frac{51}{17,5}$ $\left(\frac{47}{17,2}\right)$	$\frac{88,4}{25,0}$ $\left(\frac{81,0}{22,9}\right)$		
3,1—10,0	$\frac{3}{2,6}$ $\left(\frac{3}{2,6}\right)$	$\frac{14,5}{18,0}$ $\left(\frac{14,5}{18,0}\right)$	$\frac{6}{6,7}$ $\left(\frac{2}{2,5}\right)$	$\frac{35,8}{16,5}$ $\left(\frac{12,0}{5,5}\right)$	$\frac{2}{2,4}$ $\left(\frac{2}{2,5}\right)$	$\frac{9,5}{16,8}$ $\left(\frac{13,5}{23,8}\right)$	$\frac{11}{3,8}$ $\left(\frac{7}{2,6}\right)$	$\frac{59,8}{16,9}$ $\left(\frac{40,0}{11,3}\right)$		
10,1—30,0	—	—	$\frac{7}{7,9}$ $\left(\frac{5}{6,3}\right)$	$\frac{127,5}{58,9}$ $\left(\frac{95,1}{43,8}\right)$	—	—	$\frac{7}{2,4}$ $\left(\frac{5}{1,8}\right)$	$\frac{127,5}{36,0}$ $\left(\frac{95,1}{26,9}\right)$		
>30,0	—	—	—	$\left(\frac{1}{1,3}\right)$	—	$\left(\frac{64,4}{30,0}\right)$	—	$\left(\frac{1}{0,4}\right)$	—	$\left(\frac{64,4}{18,2}\right)$
Итого	$\frac{117}{100}$ $\left(\frac{116}{100}\right)$	$\frac{80,4}{100}$ $\left(\frac{80,4}{100}\right)$	$\frac{89}{100}$ $\left(\frac{79}{100}\right)$	$\frac{216,9}{100}$ $\left(\frac{216,9}{100}\right)$	$\frac{85}{100}$ $\left(\frac{79}{100}\right)$	$\frac{56,6}{100}$ $\left(\frac{56,6}{100}\right)$	$\frac{291}{100}$ $\left(\frac{274}{100}\right)$	$\frac{353,9}{100}$ $\left(\frac{353,9}{100}\right)$		

Примечания. 1. В числителе — количество и площадь ледников, в знаменателе — процент общего количества ледников и общей площади оледенения бассейна.
2. В скобках — количество ледников и площадь оледенения, подсчитанные без расчленения дендритовых и сложных долинных ледников на отдельные потоки.

Распределение ледников по величине их площади в бассейне р. Язгулема¹

Размеры ледников, км ²	Правые притоки р. Язгулема		Реки Мазардара и Ракзоу		Левые притоки р. Язгулема		Всего	
	количество	площадь, км ²						
<0,1	$\frac{13}{23,2}$ $\left(\frac{13}{23,2}\right)$	$\frac{1,1}{3,7}$ $\left(\frac{1,1}{3,7}\right)$	$\frac{7}{6,1}$ $\left(\frac{7}{7,1}\right)$	$\frac{0,5}{0,3}$ $\left(\frac{0,5}{0,3}\right)$	$\frac{5}{5,1}$ $\left(\frac{5}{5,6}\right)$	$\frac{0,5}{0,6}$ $\left(\frac{0,5}{0,6}\right)$	$\frac{25}{9,3}$ $\left(\frac{25}{10,3}\right)$	$\frac{2,1}{0,7}$ $\left(\frac{2,1}{0,7}\right)$
0,1—0,3	$\frac{17}{30,4}$ $\left(\frac{17}{30,4}\right)$	$\frac{3,6}{12,1}$ $\left(\frac{3,6}{12,1}\right)$	$\frac{25}{21,7}$ $\left(\frac{24}{24,5}\right)$	$\frac{5,7}{2,9}$ $\left(\frac{5,4}{2,7}\right)$	$\frac{31}{31,6}$ $\left(\frac{31}{34,8}\right)$	$\frac{7,2}{8,3}$ $\left(\frac{7,2}{8,3}\right)$	$\frac{73}{27,1}$ $\left(\frac{72}{29,6}\right)$	$\frac{16,5}{5,3}$ $\left(\frac{16,2}{5,2}\right)$
0,4—1,0	$\frac{20}{35,7}$ $\left(\frac{20}{35,7}\right)$	$\frac{13,1}{44,0}$ $\left(\frac{13,1}{44,0}\right)$	$\frac{43}{37,4}$ $\left(\frac{38}{38,8}\right)$	$\frac{25,0}{12,7}$ $\left(\frac{21,1}{10,7}\right)$	$\frac{36}{36,7}$ $\left(\frac{30}{33,7}\right)$	$\frac{21,2}{24,6}$ $\left(\frac{17,2}{20,0}\right)$	$\frac{99}{36,8}$ $\left(\frac{88}{36,2}\right)$	$\frac{59,3}{18,9}$ $\left(\frac{51,4}{16,4}\right)$
1,1—3,0	$\frac{5}{8,9}$ $\left(\frac{5}{8,9}\right)$	$\frac{7,5}{25,2}$ $\left(\frac{7,5}{25,2}\right)$	$\frac{26}{22,6}$ $\left(\frac{18}{18,4}\right)$	$\frac{48,6}{24,7}$ $\left(\frac{32,3}{16,4}\right)$	$\frac{20}{20,4}$ $\left(\frac{15}{16,9}\right)$	$\frac{36,8}{42,7}$ $\left(\frac{27,5}{31,9}\right)$	$\frac{51}{19,0}$ $\left(\frac{38}{15,6}\right)$	$\frac{92,9}{29,7}$ $\left(\frac{67,3}{21,5}\right)$
3,1—10,0	$\frac{1}{1,8}$ $\left(\frac{1}{1,8}\right)$	$\frac{4,5}{15,0}$ $\left(\frac{4,5}{15,0}\right)$	$\frac{12}{10,4}$ $\left(\frac{7}{7,1}\right)$	$\frac{79,1}{40,2}$ $\left(\frac{38,4}{19,5}\right)$	$\frac{6}{6,2}$ $\left(\frac{8}{9,0}\right)$	$\frac{20,5}{23,8}$ $\left(\frac{33,8}{39,2}\right)$	$\frac{19}{7,1}$ $\left(\frac{16}{6,7}\right)$	$\frac{104,1}{33,2}$ $\left(\frac{76,7}{24,5}\right)$
10,1—30,0	—	—	$\frac{2}{1,8}$ $\left(\frac{3}{3,1}\right)$	$\frac{38,1}{19,2}$ $\left(\frac{52,1}{26,4}\right)$	—	—	$\frac{2}{0,7}$ $\left(\frac{3}{1,2}\right)$	$\frac{38,1}{12,2}$ $\left(\frac{52,1}{16,6}\right)$
>30,0	—	—	—	$\left(\frac{1}{1,0}\right)$	—	$\left(\frac{47,2}{24,0}\right)$	—	$\left(\frac{1}{0,4}\right)$ $\left(\frac{47,2}{15,1}\right)$
Итого	$\frac{56}{100}$ $\left(\frac{56}{100}\right)$	$\frac{29,8}{100}$ $\left(\frac{29,8}{100}\right)$	$\frac{115}{100}$ $\left(\frac{98}{100}\right)$	$\frac{197,0}{100}$ $\left(\frac{197,0}{100}\right)$	$\frac{98}{100}$ $\left(\frac{89}{100}\right)$	$\frac{86,2}{100}$ $\left(\frac{86,2}{100}\right)$	$\frac{269}{100}$ $\left(\frac{243}{100}\right)$	$\frac{313,0}{100}$ $\left(\frac{313,0}{100}\right)$

¹ См. примечание к табл. 5.

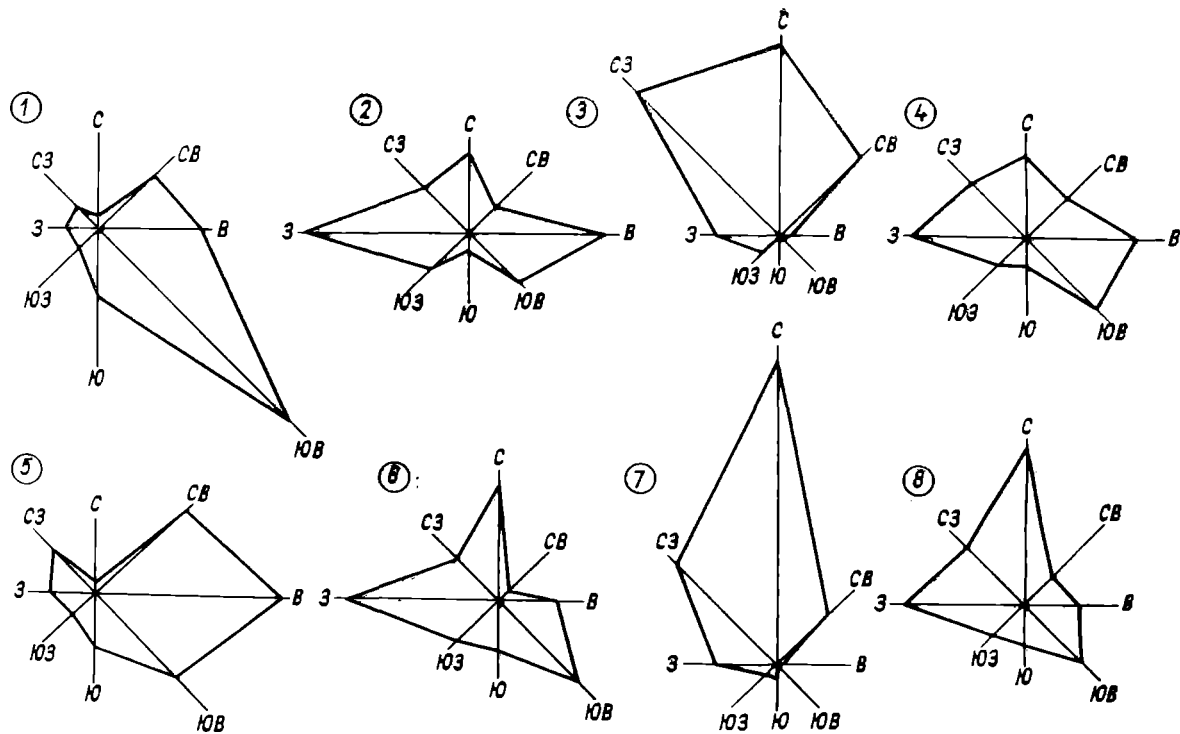


Рис. 6. Распределение площади ледников бассейнов рек Ванча и Язгулема по экспозициям.
 1 — правые притоки р. Ванча, 2 — верховья р. Ванча, р. Абдукагор, 3 — левые притоки р. Ванча, 4 — в целом по бассейну р. Ванча, 5 — правые притоки р. Язгулема, 6 — реки Мазардара и Ракзоу, 7 — левые притоки р. Язгулема, 8 — в целом по бассейну р. Язгулема.

Таблица 7

Распределение ледников бассейна р. Ванча по экспозициям

Экспозиция	Правые притоки р. Ванча		Верховья р. Ванча, р. Абдукагор		Левые притоки р. Ванча		В целом по бассейну	
	количество	площадь, км ²	количество	площадь, км ²	количество	площадь, км ²	количество	площадь, км ²
С	4 4,2	1,2 1,5	16 21,3	28,9 13,4	14 19,2	17,6 31,5	34 14,0	47,7 13,6
СВ	12 12,6	10,1 12,8	10 13,3	11,8 5,5	12 16,5	10,4 18,6	34 14,0	32,3 9,2
В	16 16,9	13,1 16,6	10 13,3	49,5 22,9	5 6,8	1,0 1,8	31 12,7	63,6 18,2
ЮВ	28 29,5	34,9 44,3	5 6,7	22,8 10,6	2 2,7	0,4 0,7	35 14,4	58,1 16,6
Ю	19 20,0	8,7 11,1	10 13,3	5,1 2,4	2 2,7	0,5 0,9	31 12,8	14,3 4,1
ЮЗ	8 8,4	3,1 4,0	6 8,0	16,8 7,8	4 5,5	1,9 3,4	18 7,4	21,8 6,2
З	6 6,3	3,8 4,8	10 13,3	58,0 26,9	8 11,0	5,5 9,9	24 9,9	67,3 19,2
СЗ	2 2,1	3,9 4,9	8 10,8	22,9 10,5	26 35,6	18,5 33,2	36 14,8	45,3 12,9
Итого	95 100	78,8 100	75 100	215,8 100	73 100	55,8 100	243 100	350,4 100

Примечания. 1. В таблице не учтены ледники площадью менее 0,1 км².

2. В числителе — количество ледников и площадь, в знаменателе — процент общего количества ледников и общей площади оледенения бассейнов.

Таблица 8

Распределение ледников бассейна р. Язгулема по экспозициям¹

Экспозиция	Правые притоки р. Язгулема		Реки Мазардара и Ракзоу		Левые притоки р. Язгулема		В целом по бассейну	
	количество	площадь, км ²	количество	площадь, км ²	количество	площадь, км ²	количество	площадь, км ²
С	1 2,3	0,2 0,7	15 13,9	37,7 19,2	42 45,2	43,8 51,1	58 23,8	81,7 26,3
СВ	6 14,0	5,5 19,2	8 7,4	2,8 1,4	14 15,1	9,1 10,6	28 11,5	17,4 5,6
В	10 23,3	8,7 30,3	15 13,9	18,7 9,6	4 4,3	0,9 1,1	29 11,9	28,3 9,1
ЮВ	10 23,3	5,5 19,2	16 14,8	37,2 18,8	—	—	26 10,6	42,7 13,8
Ю	7 16,3	2,6 9,0	17 15,7	15,6 7,9	3 3,2	2,1 2,4	27 11,1	20,3 6,5
ЮЗ	2 4,6	1,4 4,9	14 13,0	17,7 9,0	2 2,2	1,9 2,2	18 7,4	21,0 6,7
З	3 6,9	2,1 7,3	14 13,0	49,8 25,4	8 8,6	8,5 9,9	25 10,2	60,4 19,4
СЗ	4 9,3	2,7 9,4	9 8,3	17,0 8,7	20 21,4	19,4 22,7	33 13,5	39,1 12,6
Итого	43 100	28,7 100	108 100	196,5 100	93 100	85,7 100	244 100	310,9 100

¹ См. примечания к табл. 7.

Таблица 9

Распределение ледников различных морфологических типов в бассейне р. Ванча

Тип ледника	Правые притоки р. Ванча		Верховья р. Ванча р. Абдукагор		Левые притоки р. Ванча		В целом по бассейну	
	количество	площадь, км ²	количество	площадь, км ²	количество	площадь, км ²	количество	площадь, км ²
Дендритовый	—	—	2	90,4	—	—	2	90,4
Сложный долинный	2	4,0	3,1	41,9	—	—	0,9	25,8
	2,1	5,1	5	58,5	4	14,9	11	77,4
Долинный и асимметричный долинный	31	46,1	7,7	27,1	6,0	26,7	4,9	22,1
	33,0	58,5	20	44,8	19	23,2	70	114,1
Карово-долинный	18	13,9	30,7	20,8	28,4	41,6	31,0	32,6
	19,2	17,6	13	12,8	17	10,5	48	37,2
Каровый	36	12,9	7	2,2	16	4,2	59	19,3
	38,3	16,4	10,8	1,0	23,8	7,5	26,1	5,5
Карово-висячий	—	—	4	1,1	1	0,2	5	1,3
	—	—	6,2	0,6	1,5	0,4	2,2	0,4
Висячий каровый	5	1,2	12	5,5	5	1,6	22	8,3
	5,3	1,5	18,4	2,5	7,5	2,8	9,7	2,3
Висячий	2	0,7	2	0,5	5	1,2	9	2,4
	2,1	0,9	3,1	0,2	7,5	2,2	4,0	0,7
Итого	94	78,8	65	215,8	67	55,8	226	350,4
	100	100	100	100	100	100	100	100

- Примечания. 1. Ледники площадью менее 0,1 км² не учтены.
 2. В числителе — количество и площадь ледников, в знаменателе — процент общего количества и общей площади оледенения бассейна.
 3. Дендритовые и сложные долинные ледники при подсчете не расчленены на отдельные потоки.

Таблица 10

Распределение ледников различных морфологических типов в бассейне р. Язгулема¹

Тип ледника	Правые притоки р. Язгулема		Реки Мазардара и Ракзоу		Левые притоки р. Язгулема		В целом по бассейну	
	количество	площадь, км ²	количество	площадь, км ²	количество	площадь, км ²	количество	площадь, км ²
Дендритовый	—	—	1	47,2	—	—	1	47,2
Сложный долинный	—	—	1,1	24,0	—	—	0,5	15,2
	—	—	9	77,8	8	32,0	17	109,8
Долинный и асимметричный долинный	12	14,7	9,9	39,6	9,5	37,3	7,8	35,3
	27,9	51,2	24	39,9	26	35,5	62	90,1
Висячий долинный	2	1,2	6,3	20,3	31,0	41,4	28,4	29,0
	4,6	4,2	1	1,2	—	—	3	2,4
Карово-долинный	8	5,1	1,1	0,6	—	—	1,4	0,8
	18,6	17,8	20	18,1	14	7,3	42	30,5
Каровый	13	5,2	22,0	9,2	16,6	8,6	19,3	9,8
	30,2	18,1	17	5,8	11	2,9	41	13,9
Карово-висячий	—	—	2,9	2,9	13,1	3,4	18,8	4,5
	—	—	2	0,7	1	0,1	3	0,8
Висячий каровый	6	2,1	2,2	0,4	1,2	0,1	1,4	0,2
	14,0	7,3	11	3,9	15	4,2	32	10,2
Висячий	2	0,4	12,1	2,0	17,9	4,9	14,6	3,3
	4,7	1,4	6	1,9	9	3,7	17	6,0
Всего	43	28,7	91	196,5	84	85,7	218	310,9
	100	100	100	100	100	100	100	100

¹ См. примечания к табл. 9.

В бассейне р. Ванча на ледники долин приходится 80,5% общей площади оледенения и 36,8% общего числа ледников, а в бассейне р. Язгулема они составляют соответственно 80,3 и 38,1% (табл. 9, 10).

Особенности орографии описываемого района являются определяющим фактором в предопределении различия в размещении ледников различных

морфологических типов. Наиболее крупные дендритовые, сложные долинные и долинные ледники расположены в верховьях рек Ванча и Язгулема. На два дендритовых ледника в истоках р. Ванча — ледник Географического общества и ледник Абдукагорский — приходится почти 26% площади оледенения всего бассейна, а площадь одного дендритового ледника Ракзоу в верховьях р. Язгулема

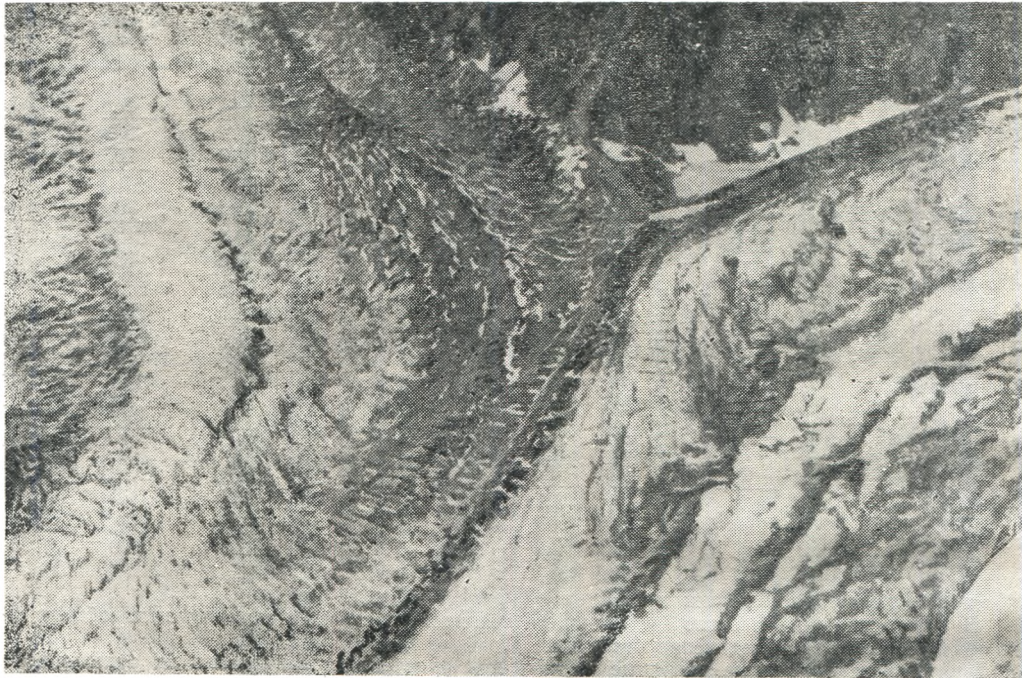


Рис. 7. Поверхность языка ледника Географического общества в районе слияния двух потоков (ледники № 96 и 97).



Рис. 8. Язык ледника Красноармейского (№ 109), 1965 г.

составляет 15,2% общей площади оледенения бассейна этой реки (табл. 11).

Ледник Географического общества расположен в верховьях Ванчской долины на стыке Дарвазского хребта с хр. Академии Наук. Этот дендритовый ледник образуется от слияния двух потоков (№ 96 и 97), стекающих от основания пиков Гармо и Ком.

Таблица 11

Крупные ледники бассейнов рек Ванча и Язгулема

Название (номер) ледника	Бассейн реки	Тип ледника	Наибольшая длина, км	Площадь, км ²
Бассейн р. Ванча				
Сед (№ 27)	Дарансед	дол.	11,6	7,2
Географического общества (№ 96—99)	Ванч	дендрит.	24,2	64,4
Комсомолец (№ 100, 101)	«	сл. дол.	12,2	17,9
Красноармейский (№ 109)	«	дол.	11,2	15,7
Медвежий (№ 118, 119)	Абдукагор	сл. дол.	15,8	25,3
Абдукагорский (№ 123—127)	«	дендрит.	11,4	26,0
Правый Дустироз (№ 147)	Дустироз	асим. дол.	6,4	7,5
Левый Дустироз (№ 156, 157)	«	сл. дол.	5,9	10,2
Шаугадо (№ 176—178)	Шаугадо	«	5,0	7,5
Сунгат правый (№ 185)	Дарасунгат	асим. дол.	6,6	6,0
Бассейн р. Язгулема				
Язгулемский (№ 62, 63)	Мазардара	сл. дол.	19,5	25,5
Захарченко (№ 69, 70)	«	«	6,0	5,7
Ракзоу (№ 84—94)	Ракзоу	дендрит.	17,4	47,2
Ляп-Назар (№ 103)	«	дол.	8,0	9,5
Бирджрафдара (№ 118, 119)	Бирджрафдара	сл. дол.	9,0	11,3
№ 125, 126	Роштдара	«	5,2	7,3
№ 133, 134	«	«	10,6	15,3
Кадахт (№ 158, 159)	Даранкадахт	«	6,3	5,5
Дара-Бугуз (№ 171—173)	Дарабугуз	«	8,8	6,9

Академии (рис. 7). Области питания обоих потоков лежат в обширных фирновых мульдах, окаймленных покрытыми снегом вершинами, достигающими 6000 м. Кроме того, в ледник Географического общества впадает несколько притоков, один из которых, ледник Кашалаяк (№ 98), смыкается в фирновой области с одноименным ледником, притоком ледника Федченко. Ледник Красноармейский (№ 109), о котором Р. Д. Забиров писал как о левом притоке ледника Географического общества, доставляющем в главный ледник около 25% общего объема фирна (табл. V/№ 21), в настоящее время не соединяется с главным стволом ледника Географического общества. В 1965 г. он оканчивался на расстоянии нескольких десятков метров от главного ствола и не принимал участия в его питании (рис. 8). Наибольшая длина ледника Географического общества от основания пика Гармо 24,2 км, а его общая площадь 64,4 км². Нижняя

часть ледникового языка покрыта сплошным чехлом моренных отложений, и только в 10 км от его конца появляется полоса чистого льда.

Дендритовый ледник Абдукагорский расположен на стыке Ванчского хребта с хр. Академии Наук и образован в результате слияния двух потоков, каждый из которых в свою очередь является сложным долинным ледником и имеет притоки. Правая ветвь ледника (ледник № 123) имеет обширную трехкамерную область питания, расположенную в осевой части хр. Академии Наук, и через пологий перевал связана с областью питания ледника Федченко. Ледниковый язык в большей части свободен от моренного покрова, и на его поверхности, особенно в верхней части, много трещин. Левая ветвь также образуется от слияния двух ледников — Каскадного (№ 125) и Обвалов (№ 126) — и питается в основном за счет лавин. Ее язык почти на всем протяжении закрыт моренным материалом. Ниже конца ледника Абдукагорского расположены участки погребенного льда, разбитые на отдельные глыбы. Вдоль бортов долины на протяжении всего языка тянутся узкие и высокие гребни береговых морен. Наибольшая длина ледника 11,4 км, площадь 26,0 км² (рис. 9). Некоторые ледники в бассейне ледника Абдукагорского, показанные на карте его притоками, до основного ствола не доходят на несколько сот метров (ледники № 136, 138, 139, 140) (рис. 10).

В бассейне р. Язгулема, в верховьях ее левой составляющей, расположен дендритовый ледник Ракзоу. В 1909 г. впервые конец этого ледника посетил Н. И. Косиненко. Язык ледника, имеющий в основном южное направление, сливается из нескольких потоков, стекающих со склонов хребтов разных экспозиций. Ледник имеет сложное строение. Выделяются три основных потока — ледники № 84, 86 и 88, 91, имеющие обширные многокамерные области питания и притоки. Долина слабо разработана, она представляет чередование озеровидных расширений (до 1000 м в поперечнике) с узкими скалистыми ущельями. Направление ее часто меняется. С высоты 4500 м начинаются моренные валы, которые на нижних 3 км ледникового языка сливаются, образуя сплошной моренный покров. Длина ледника 17,4 км, площадь 47,2 км² (рис. 11).

Большая часть крупных сложных долинных и долинных ледников также расположена в бассейнах верховьев рек Ванча и Язгулема. Это — ледники Комсомолец (№ 100) и Красноармейский (№ 109) в бассейне ледника Географического общества, ледник Медвежий (№ 118) в бассейне р. Абдукагора, ледник Язгулемский (№ 62) в верховьях р. Мазардара. Ледник Медвежий имеет один приток с левого борта (ледник № 119), который приносит незначительное количество льда. Область питания ледника расположена в обширной котловине в осевой части хребта Академии Наук. Через пологий перевал она соединяется с ледником Академии Наук (приток ледника Федченко). Из фирновой области через 800-метровый ледопад в долину стекает узкий и длинный язык ледника (ширина от 450 до 700 м) (рис. 12). Периодически с интервалом в 10—14 лет конец языка этого ледника продвигается вниз по долине и перегораживает долины рек Абдукагора и Дустироза, в которых образуются временные озера. Прорывы этих озер



Рис. 9. Язык ледника Абдукагорского в 1970 г.

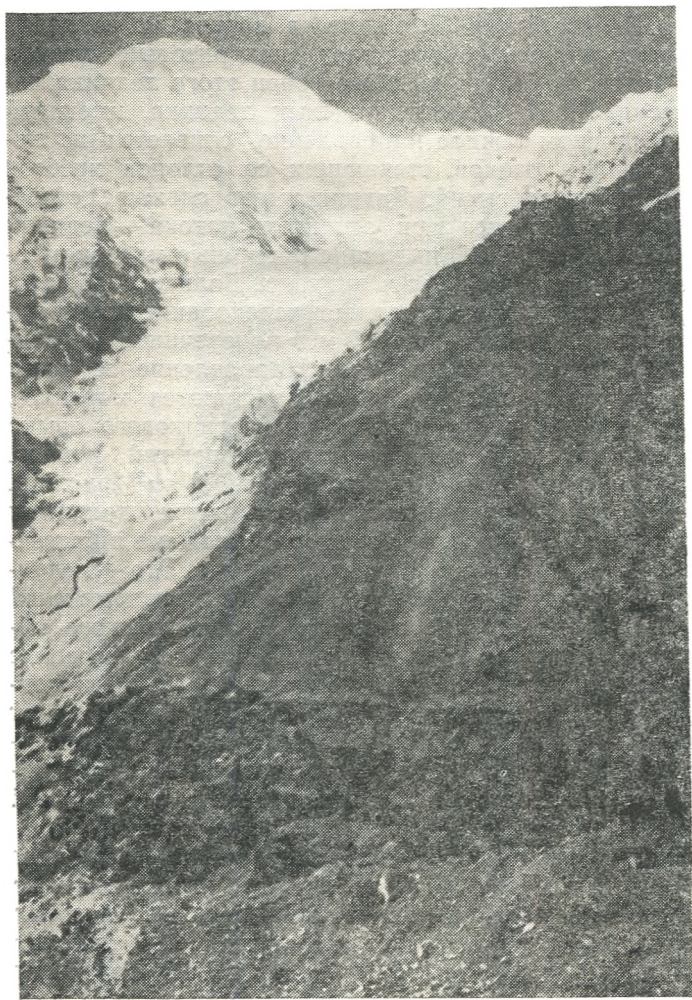


Рис. 10. Ледник № 139. На переднем плане боковая морена и погребенный лед ледника Абдукагорского.

вызывают катастрофические паводки (подробнее см. раздел «Режим и колебания ледников»).

Ледник Язгулемский (бассейн р. Язгулема) с правого борта имеет один небольшой приток (ледник № 63). Фирновая область ледника — обширное плато, вытянутое с юго-запада на северо-восток — от его языка отделена ледопадом. Пологими перевалами она соединяется с фирновыми областями ледников Федченко (на высоте 5290 м) и Язгулемдара (5670 м). Поверхность языка ледника отличается сложным мезо- и микрорельефом. В противоположность нижней части языка ледника, которая не имеет трещин, засыпана моренным материалом, на ее поверхности развиты озера и водотоки, верхняя часть сильно разбита трещинами и производит впечатление быстро движущегося активного льда. Между этими двумя частями языка четко выражена граница раздела. Вдоль левого края языка на крутом склоне скалистого барьера нависают огромные толщи фирна и снега, питающие ледник лавинами и обвалами. Лавинные конусы прослеживаются вдоль левого борта почти на всем протяжении языка ледника. Ниже конца языка расположен участок погребенного льда площадью 1,9 км², расчлененный потоками воды на отдельные глыбы. Ледник Захарченко (№ 69, 70), показанный на карте притоком Язгулемского ледника, не доходит до него и дает сток в ручей, текущий с внешней стороны левой боковой морены Язгулемского ледника (рис. 13).

В бассейнах левых и правых притоков рек Ванча и Язгулема сложные долинные ледники имеют значительно меньшие размеры, образуются от слияния двух или нескольких небольших долинных ледников [ледники Шаугадо (№ 176—178) в бассейне р. Ванча, Петруз (№ 19, 20) в бассейне р. Язгулема и др.] (рис. 14). Долинные ледники имеют один или несколько боковых притоков (например, лед-

ники № 216—218 в бассейне р. Ванча и № 156, 167 в бассейне р. Язгулема). Строение фирновых бассейнов у них различно. Есть долинные и сложные долинные ледники с хорошо развитой однокамерной областью питания и широким ледниковым языком (ледники № 9, 156 в бассейне р. Ванча и № 32, 118 в бассейне р. Язгулема). Встречаются долинные ледники с широкой областью питания

находятся участки погребенного льда. Питание таких ледников — лавинное, фирнового бассейна они не имеют. Лавинные конусы прослеживаются часто почти на всем протяжении языков. Примерами таких ледников могут служить ледники № 29 и 200—202 в бассейне р. Ванча и ледники № 42 и 115 в бассейне р. Язгулема.

Асимметричные долинные ледники расположе-

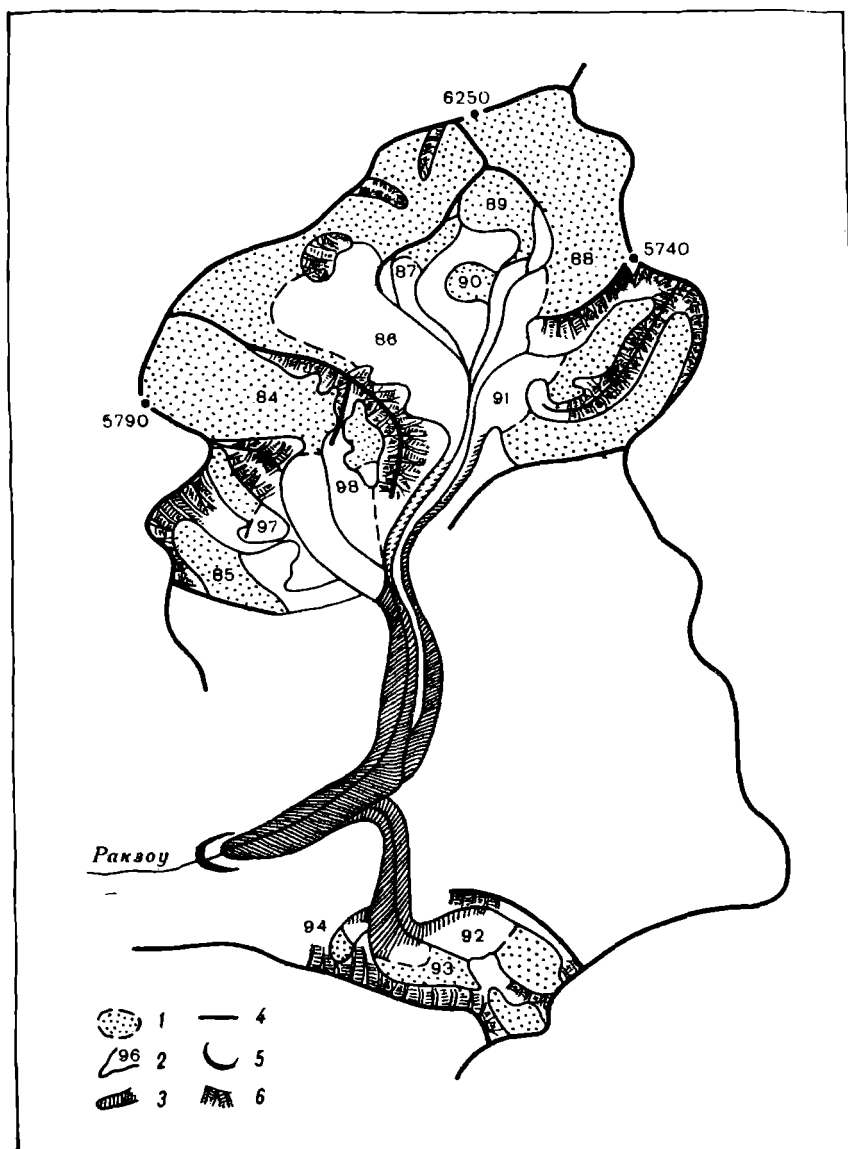


Рис. 11. Ледник Ракзоу (№ 84—94).

1 — фирновая область, 2 — чистый лед, 3 — лед под мореной, 4 — хребет, 5 — древняя морена, 6 — выходы скал.

и коротким языком, по типу приближающиеся к котловинным ледникам. Это — ледники в верховьях крупных притоков рек Ванча и Язгулема [ледники Правый Дустироз (№ 147), Сунгат правый (№ 185) в бассейне р. Ванча и ледники Ляп-Назар (№ 103) и № 111 в бассейне р. Язгулема]. Ниже их концов часто располагаются обширные участки погребенного льда — остатки их бывших концов. Наряду с ледниками, имеющими развитый фирновый бассейн, встречаются долинные ледники «туркестанского типа», языки которых расположены в узких глубоких ущельях, сильно засыпаны моренным материалом, ниже их концов, как правило,

ны в долинах, верховья которых вытянуты параллельно осевой линии хребтов. В их питании большую роль играют лавины. В бассейне р. Ванча такими ледниками являются ледники Сунгат правый (№ 185) и Правый Дустироз (№ 147), а в бассейне р. Язгулема — ледник № 100.

Большинство долинных ледников описываемого района имеет следы недавнего отступления. Это — большие участки погребенных льдов ниже современных концов ледников, плоские заморенные ледниковые языки, которые у некоторых долинных ледников полностью превратились в участки погребенного льда. «Живые» ледники (небольшие до-

линные или каровые) располагаются только в верховьях рек. Так вдоль правого борта ледника Ляп-Назар тянется участок погребенного льда площадью 0,8 км², который является, по-видимому, омертвевшим языком «бывшего» притока этого ледника. Современные каровые ледники № 105—109 залегают во вторичных карах большого цирка, а их языки сливаются в общее поле погребенного льда на дне этого цирка.



Рис. 12. Ледник Медвежий (№ 118).

Карово-долинные ледники распространены в бассейнах рек Ванча и Язгулема довольно равномерно. На их долю в бассейне р. Ванча приходится 10,6%, а в бассейне р. Язгулема — 9,8% общей площади оледенения этих бассейнов. В верховьях крупных рек они составляют второй ярус оледенения и часто являются отчленившимися притоками более крупных сложных долинных ледников (например, ледники № 132, 138 и 139 в бассейне ледника Абдукагорского и ледники № 150 и 151 в бассейне ледника Сунгат правый). В бассейнах более мелких притоков эти ледники самостоятельны. Часто это остатки более крупных ледников, ниже их концов находятся участки погребенного льда (ледники № 50, 51 и 231 в бассейне р. Ванча и № 9 и 18 в бассейне р. Язгулема). Области питания этих ледников расположены в чашах каров. Однако большая роль в их питании принадлежит также лавинам и обвалам фирновых полей, висящих на стенках каров.

Языки карово-долинных ледников более короткие и крутые, чем языки долинных ледников, иногда они разделяются у конца на несколько языков (ледник № 111 в бассейне р. Ванча).

Ледники склонов, хотя и имеют в общей сложности небольшую площадь (около 9% общей площади оледенения бассейна р. Ванча и 10,7% — р. Язгулема), по числу составляют соответственно 42,2 и 44,4% числа всех ледников. Из них наиболее широко развиты каровые и висячие каровые ледники, которые, так же как и карово-долинные, в бассейнах рек Ванча и Язгулема встречаются повсеместно и в их верховьях занимают второй ярус оледенения, располагаясь на склонах долин, занятых крупными ледниками. В бассейнах притоков ледники этих типов занимают верховья небольших долин и часто являются остатками бывших более сложных ледниковых комплексов. Средняя площадь ледника 0,3 км².

Карово-висячие ледники встречаются гораздо реже, чем ледники других типов. В бассейне р. Ванча они составляют всего 2,2% общего числа ледников и 0,4% площади оледенения. В бассейне р. Язгулема их больше (соответственно 9,2 и 2,4%).

Висячие ледники не имеют ясно выраженных вместилищ и не достигают подножия склонов. Отдельные висячие фирновые поля больших размеров также отнесены к этому типу ледников. Фирновые поля, висящие на склонах в верховьях многих ледников, сильно раздробленные, не имеющие определенных границ, отнесены к областям аккумуляции главного ледника, лежащего ниже. В бассейне р. Ванча висячих ледников всего 9, это — 4% числа всех ледников и всего 0,4% общей площади оледенения. В бассейне р. Язгулема висячие ледники составляют 7,8% общего числа ледников и 1,9% общей площади оледенения бассейна.

Высотное положение ледников. Средняя взвешенная высота концов ледников в бассейне р. Ванча равна 3550 м, в бассейне р. Язгулема — 3790 м. Больше абсолютные высоты в сочетании с глубоким расчленением рельефа и значительными колебаниями уровня фирновой линии являются причиной большого разнообразия в высотном положении ледников. Основная масса оледенения бассейна р. Ванча лежит в пределах 4010—4860 м над ур. м., а средний вертикальный диапазон оледенения равен 850 м. В бассейне р. Язгулема основная площадь оледенения располагается в интервале высот 4050—4910 м, а вертикальный диапазон равен 860 м. Высота хребтов Дарвазского, Ванчского и Язгулемского увеличивается с юго-запада на северо-восток и достигает максимальных значений в районе стыка этих хребтов с хр. Академии Наук. Здесь же находятся наиболее крупные ледники, языки которых спускаются очень низко. Самой низкой отметки в бассейне р. Ванча достигает ледник Географического общества — 2580 м. Этот же ледник имеет и максимальную высотную точку — пик Гармо (6590 м). Таким образом вертикальный диапазон ледника Географического общества (4020 м) является наибольшим для бассейна р. Ванча (табл. 12).

В бассейне р. Язгулема также наблюдается повышение верхних точек ледников с юго-запада на северо-восток. Крупные ледники в верховьях р. Язгулема не достигают таких низких отметок, как ледники в верховьях р. Ванча (минимальная высота конца ледника равна 3260 м); а вертикальный



Рис. 13. Язык ледника Захарченко (№ 69, 70). В левом углу — поверхность нижней части ледника Язгулемского.



Рис. 14. Ледник Шаугадо (№ 176—178).

Высотные характеристики ледников, м над ур. м.

Бассейн реки	Средняя высота концов ледников	Минимальная высота конца ледника	Максимальная высота конца ледника	Средняя высота высших точек ледников	Минимальная высота высшей точки ледника	Максимальная высота высшей точки ледника	Средний вертикальный диапазон оледенения	Диапазон крайних точек ледников
Бассейн р. Ванча								
Правые притоки р. Ванча	3980 (3770)	2900	4660	4770	3800	6500	780	3600
Верховья р. Ванча, р. Абдукагор	4040 (3380)	2580	5040	5040	4100	6600	1010	4020
Левые притоки р. Ванча	4030 (3880)	3040	4780	4800	3700	5440	770	2400
В целом по бассейну	4010 (3550)	2580	5040	4860	3700	6600	850	4020
Бассейн р. Язгулема								
Правые притоки р. Язгулема	4000 (3920)	3260	4320	4610	3950	5100	610	1840
Реки Мазардара и Ракзоу	4130 (3790)	3380	4700	5060	4200	6250	920	2870
Левые притоки р. Язгулема	3990 (3760)	3260	4900	4910	3840	6130	920	2870
В целом по бассейну	4050 (3800)	3260	4900	4910	3840	6250	860	2990

Примечание. В скобках указаны средние взвешенные по площади высоты концов ледников.

Таблица 13

Морфометрические характеристики ледников различных морфологических типов бассейна р. Ванча

Морфологические типы и группы ледников	Количество ледников	Суммарная площадь, км ²	Площадь среднего ледника, км ²	Средняя высота концов ледников, м	Средняя взвешенная высота фирновой лавины, м	Средняя высота высших точек ледников, м	Положительная разность оледенения, м	Отрицательная разность оледенения, м	Ледниковый коэффициент	Суммарная площадь закрайных частей ледников, км ²
Правые притоки р. Ванча										
Ледники долин	33 (32)	50,1 (49,7)	1,5	3800	4420	4980	560	620	0,9	8,0
Карово-долинные и каровые	23 (20)	15,1 (14,7)	0,7	3980	4240	4600	360	260	0,9	2,4
Каровые	36 (30)	12,9 (11,4)	0,3	4160	4340	4660	320	180	0,8	2,5
Висячие и карово-висячие	2 —	0,7 —	0,4 —	—	—	—	—	—	—	—
Итого	94 (82)	78,8 (75,8)	0,8	3980	4370	4770	400	390	0,9	12,9
Верховья р. Ванча, р. Абдукагор										
Ледники долин	27 (25)	193,7 (193,0)	7,2	3880	4460	5280	820	580	1,3	32,0
Карово-долинные и каровые	25 (24)	18,3 (17,9)	0,7	4000	4410	4820	410	410	1,0	1,4
Каровые	7 (6)	2,2 (2,1)	0,3	4320	4520	4740	220	200	1,4	0,2
Висячие и карово-висячие	6 (4)	1,6 (1,1)	0,3	4800	5010	5410	400	210	4,3	—
Итого	65 (59)	215,8 (214,1)	3,3	4040	4460	5040	580	420	1,3	33,6
Левые притоки р. Ванча										
Ледники долин	23 (20)	38,1 (35,3)	1,6	3810	4500	4900	400	690	0,5	14,4
Карово-долинные и каровые	22 (18)	12,1 (11,0)	0,6	4090	4460	4810	350	370	0,4	3,7
Каровые	16 (13)	4,2 (3,6)	0,3	4180	4440	4610	170	260	0,5	1,3
Висячие и карово-висячие	6 (5)	1,4 (1,2)	0,2	4320	4460	4860	400	140	2,5	—
Итого	67 (56)	55,8 (51,1)	0,8	4030	4500	4800	300	470	0,5	19,4
В целом по бассейну										
Ледники долин	83 (77)	281,9 (278,0)	3,4	3830	4460	5060	600	630	1,1	54,4
Карово-долинные и каровые	70 (62)	45,5 (43,6)	0,6	4020	4380	4740	360	360	0,8	7,5
Каровые	59 (49)	19,3 (17,1)	0,3	4200	4380	4660	280	180	0,9	4,0
Висячие и карово-висячие	14 (9)	3,7 (2,3)	0,3	4530	4740	5100	360	210	4,3	—
Итого	226 (197)	350,4 (341,0)	1,6	4010	4440	4860	420	430	1,0	65,9

Примечания. 1. В таблице не учтены ледники площадью менее 0,1 м².

2. В группу ледников долин вошли дендритовые, сложные долинные и долинные ледники без расчленения их на отдельные потоки.

3. Вычисление средних и средних взвешенных высот производилось только для тех ледников, которые имеют все высотные характеристики. Число и площадь этих ледников указаны в скобках.

диапазон крайних точек ледников в целом по бассейну равен 2990 м.

Для оледенения верховьев рек Ванча и Язгулема характерно сочетание крупных ледников, спускающихся в главную долину, и ледников второго яруса, расположенных в боковых долинах и на склонах. Ледники второго яруса имеют гораздо меньший вертикальный диапазон распространения,

чем ледники главных долин, и их языки оканчиваются значительно выше (табл. 13, 14). Средний ледниковый коэффициент долинных ледников в бассейнах рек Ванча и Язгулема равен 1,0. У карово-долинных и каровых ледников в бассейне р. Ванча ледниковый коэффициент равен 0,8, а в бассейне р. Язгулема — 1,3. Наибольший ледниковый коэффициент в обеих долинах имеют висячие и карово-

Таблица 14

Морфометрические характеристики ледников различных морфологических типов бассейна р. Язгулема

Морфологические типы и группы ледников	Количество ледников	Суммарная площадь, км ²	Площадь среднего ледника, км ²	Средняя высота кошсов ледников, м	Средняя взвешенная высота фирновой линии, м	Средняя высота высших точек ледников, м	Положительная разность оледенения, м	Отрицательная разность оледенения, м	Ледниковый коэффициент	Суммарная площадь закрытых моренной частью ледников, км ²
Правые притоки р. Язгулема										
Ледники долин	14	15,9	1,1	3890	4290	4770	480	400	1,2	4,6
Карово-долинные и висячие каровые	14	7,2	0,5	3940	4200	4500	300	260	1,0	1,8
Каровые	13	5,2	0,4	4150	4300	4560	260	150	1,5	1,0
Висячие и карово-висячие	2	0,4	0,2	4100	4250	4500	450	170	5,0	—
Итого	43	28,7	0,7	4000	4260	4610	350	260	1,2	7,4
Реки Мазардара и Ракзоу										
Ледники долин	35 (34)	166,1 (165,2)	4,8	3880	4600	5280	680	720	1,0	36,6
Карово-долинные и висячие каровые	31 (31)	22,0 (22,0)	0,7	4240	4500	4900	400	260	1,2	4,4
Каровые	17 (16)	5,8 (5,7)	0,3	4390	4530	4880	350	140	1,5	1,1
Висячие и карово-висячие	8 (6)	2,6 (2,1)	0,3	4260	4510	5040	530	250	3,2	—
Итого	91 (88)	196,5 (195,0)	2,2	4130	4590	5060	470	460	1,1	42,1
Левые притоки р. Язгулема										
Ледники долин	34 (31)	67,5 (65,7)	2,0	3830	4460	5140	680	630	1,0	21,4
Карово-долинные и висячие каровые	29 (26)	11,5 (10,8)	0,4	4080	4330	4720	390	250	1,5	1,6
Каровые	11 (9)	2,9 (2,5)	0,3	4100	4400	4670	270	300	0,8	0,9
Висячие и карово-висячие	10 (5)	3,8 (1,4)	0,4	4380	4500	4890	390	120	11,7	—
Итого	84 (71)	85,7 (80,4)	1,2	3990	4440	4910	470	450	1,2	23,9
В целом по бассейну										
Ледники долин	83 (76)	249,5 (244,4)	3,0	3860	4540	5130	590	680	1,0	62,2
Карово-долинные и висячие каровые	74 (71)	40,7 (40,0)	0,6	4120	4400	4760	360	280	1,3	7,8
Каровые	41 (38)	13,9 (13,4)	0,3	4240	4420	4720	300	180	1,3	3,0
Висячие и карово-висячие	20 (15)	6,8 (5,1)	0,3	4220	4380	4980	600	160	5,5	0,4
Всего	218 (201)	310,9 (304,1)	1,4	4050	4520	4910	390	470	1,1	73,4

Примечания. 1. В таблице не учтены ледники площадью менее 0,1 м².

2. В группу ледников долин вошли дендритовые и сложные долинные ледники без расчленения их на отдельные потоки, долинные и висячие долинные ледники.

3. Вычисление средних и средних взвешенных высот производилось только для тех ледников, которые имеют все высотные характеристики. Число и площадь этих ледников указаны в скобках.

висячие ледники: 4,3 в бассейне р. Ванча и 5,5 в бассейне р. Язгулема. У них же наблюдается максимальная разница между положительной и отрицательной разностью оледенения.

Больше половины ледников рассматриваемых бассейнов имеет на своих языках участки льда, закрытые моренным чехлом. Общая площадь закрытых мореной частей языков в бассейне р. Ванча равна 66,0 км², или 18,6% общей площади оледенения, а в бассейне р. Язгулема 73,4 км², или 23,4% общей площади оледенения. Мореной закрыты языки почти всех крупных долинных и сложных долинных ледников, а также многих карово-долинных ледников.

У 71 ледника в бассейне р. Ванча имеются участ-

ки погребенного льда общей площадью 22,7 км². В бассейне р. Язгулема участки погребенного льда общей площадью 12,1 км² имеются у 52 ледников. Как правило, погребенный лед располагается ниже концов ледниковых языков и спускается в долине р. Ванча до высоты в среднем 3870, а в бассейне р. Язгулема — до 3810 м (табл. 15).

Режим и колебания ледников. Данных о режиме ледников бассейнов рек Ванча и Язгулема мало. Ни на одном из ледников, расположенных на склонах Дарвазского, Ванчского и Язгулемского хребтов, режимные наблюдения не проводились. Наблюдения за колебанием ледников и вещественным балансом ведутся лишь на пульсирующем леднике Медвежьем в связи с его периодическими бы-

Таблица 15

Распределение погребенных льдов в бассейнах рек Ванча и Язгулема

Бассейн реки	Количество ледников, имеющих погребенный лед	Площадь погребенного льда, км ²	Средняя высота конца погребенного льда, м
Бассейн р. Ванча			
Правые притоки р. Ванча	32	6,1	3900
Верховья р. Ванча, р. Абдукагор	18	7,9	3900
Левые притоки р. Ванча	21	8,7	3800
В целом по бассейну	71	22,7	3880
Бассейн р. Язгулема			
Правые притоки р. Язгулема	19	4,2	3840
Реки Мазардара и Ракзоу	17	4,8	3940
Левые притоки р. Язгулема	16	3,1	3640
В целом по бассейну	52	12,1	3810

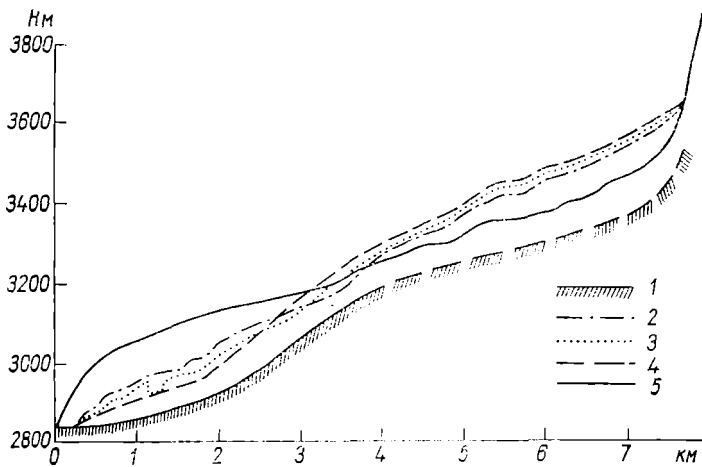


Рис. 15. Изменение продольного профиля ледника Медвежьего во время подвижки и в стадии восстановления.

1 — ложе ледника, 2 — поверхность ледника в 1968 г., 3 — то же, в 1970 г., 4 — то же, в 1972 г., 5 — то же, в 1973 г.

стрыми подвижками и эпизодически на леднике Географического общества, который мы также относим к классу пульсирующих (табл. V/№ 16, 18, 20). Эти ледники расположены в верховьях обширной Ванчской долины, вытянутой в широтном направлении и замкнутой на востоке высочайшим хребтом Памира — хр. Академии Наук. Это обстоятельство создает более благоприятные условия для снегонакопления в фирновых областях названных ледников по сравнению с другими ледниками описываемых бассейнов. Языки ледников Географического общества и Медвежьего опускаются до самых низких отметок в Ванчской долине (2580 и 2900 м соответственно), что обуславливает их более интенсивное таяние, чем в среднем по бассейну. Поэтому вряд ли правомерно распространять на все ледники бассейна режимные характеристики, полученные для этих ледников. Однако они представляют большой самостоятельный интерес, и их нельзя обойти молчанием.

Ледник Медвежий испытывает периодические

пульсации с продвижением конца ледника на расстояние около 2 км. Такие продвижения происходили в 1937, 1951, 1963 и 1973 гг. Кроме того, есть свидетельство П. И. Беседина, что в 1916 г. конец ледника Медвежьего был сильно раздроблен и перегораживал долину р. Абдукагора (табл. V/№ 7). При продвижении ледника происходит повышение поверхности концевой части ледникового языка на площади 2,4 км² в среднем на 86 м (максимум около 200 м), а в зоне выноса поверхность ледникового языка на площади 3,2 км², наоборот, понижается в среднем на 67 м (максимум понижения 115 м). Общая масса льда, перемещающегося из зоны выноса в зону привноса, составляет 215 млн. м³ (все приведенные здесь и ниже цифры относятся к подвижке 1973 г.). Таким образом, при подвижке пульсирующего ледника наблюдается перемещение массы льда из верховьев (в данном случае из верхней части ледникового языка) в его низовья без изменения общей массы льда в ледниковой системе (рис. 15).

Во время подвижки скорости движения льда резко возрастают до десятков и сотен метров в сутки. В 1963 г. средняя скорость продвижения фронта ледника составила 40, а максимальная — 100 м/сут. Поверхность ледника многочисленными трещинами дробится на систему блоков, напоминающих отдельные базальтовые лав (рис. 16). На конце ледника и по его бортовым краям лед дробится и сминается хаотически.

После подвижки дефицит льда в зоне выноса постепенно восполняется за счет поступления снега и льда из фирновой области через ледопад и лавинами со склонов долины, а скорость движения льда, которая сразу же после подвижки почти на всем протяжении языка ледника падает до 1—2 см в сутки, уже на следующий после подвижки год (и в 1964, и в 1974 г.) под ледопадом достигала 100—110 см/сутки, а в последующие годы наблюдалось постепенное увеличение скоростей движения льда (как средних годовых, так и особенно за теплый период) и распространение волны повышенных скоростей вниз по течению ледника. Лоб активизирующейся части ледникового языка (рис. 17) продвигается вниз, поглощая деградирующую часть. Площадь активизирующейся части из года в год увеличивается, деградирующей части — уменьшается. Скорость продвижения передовой волны активизирующейся части ледника в первые два года после подвижки 1973 г. составила 1100—1200 м/год, а за последние два года перед этой подвижкой (1971, 1972 гг.) — 350 м/год. Летом 1972 г. в верхней части ледникового языка скорость движения льда достигала 300 см/сут, а фронт активной части ледника находился в нескольких сотнях метров от концевой обрыва ледника. Нами была отмечена двухлетняя периодичность колебания скоростей движения льда на всем протяжении ледникового языка. Пики скоростей отмечены в 1968, 1970 и 1972 гг., резкое их падение — в 1969 и 1971 гг. Вероятнее всего предположить, что эти колебания связаны с условиями обводнения ледника на ложе и плоскостях придонных оскулов, поскольку движение льда в данном случае осуществляется главным образом за счет глыбового скольжения (табл. V/№ 49). Наблюдения за скоростями движения льда на леднике Медвежем эпизодически проводились и до подвижки 1963 г. В сентябре 1949 г. в 1,5 и

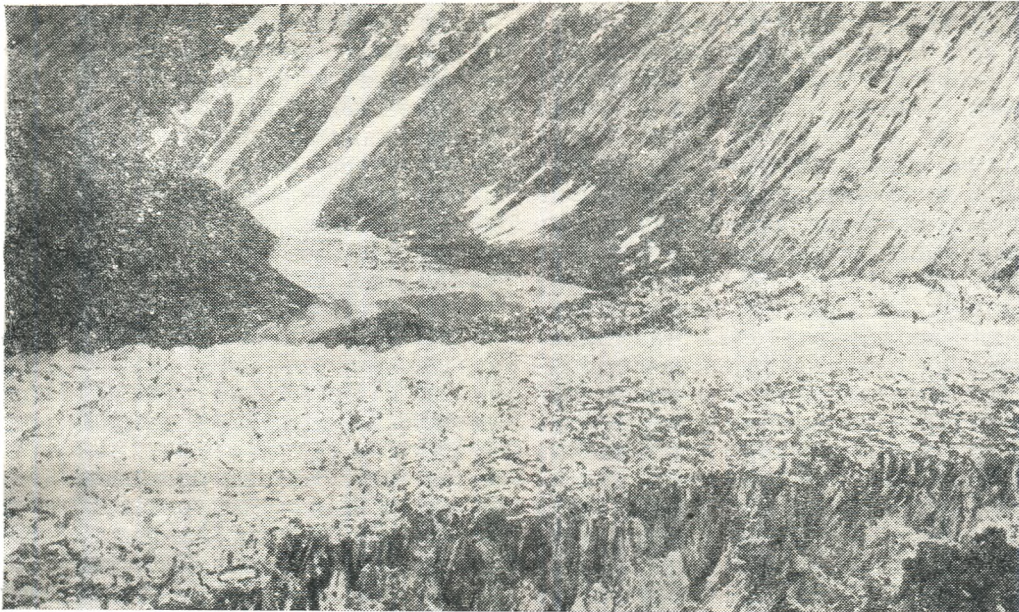


Рис. 16. Поверхность ледника Медвежьего во время подвижки 1973 г. Вдали видно озеро, подпруженное продвинувшимся ледником.



Рис. 17. Поверхность активизирующейся части языка ледника Медвежьего, 1967 г.

5 км от конца ледника средняя суточная скорость движения льда составила соответственно 37 и 46 см (табл. V/№ 22, 25). В 1961 и 1962 гг., перед подвижкой 1963 г., скорости порядка 60 см/сут наблюдались вблизи конца ледникового языка (табл. V/№ 50).

Абляция льда на леднике Медвежьем (на высотах от 3000 до 4000 м) измерялась по системе забуренных в лед вех. За 7 лет интенсивность поверхностного таяния льда на ледниковом языке на высоте 3150 м над ур. м. (1965, 1968—1972, 1975 гг.) составила 46,5 мм/сут при средней продолжительности абляционного периода 183 сут. Максимальной значенной средняя суточная интенсивность таяния льда достигала в конце июля — начале августа (70—90 мм/сут). Абсолютный максимум по рейкам был зафиксирован в первой пятидневке августа 1968 г. (148 мм/сут) и по тросу на метеоплощадке 28/VII 1975 г. (150 мм/сут). С изменением высоты от 3000 до 4000 м над ур. м. интенсивность таяния меняется незначительно. Величина суммарного стайвания изменяется главным образом за счет сокращения продолжительности абляционного периода. Среднее годовое стайвание льда за 10 лет (1963—1972 гг.) на конце ледникового языка (2850—3050 м над ур. м.) составляет 10 180 мм, или в пересчете на воду 916 г/см²; в средней части ледникового языка (3250—3450 м над ур. м.) — соответственно 7540 мм, или 678 г/см², а в верхней части ледникового языка под ледопадом (3720—4000 м над ур. м.) — соответственно 3460 мм, или 311,4 г/см². В данном случае речь идет о таянии чистого и слабо загрязненного льда без учета экранирующей роли моренного покрова, который снижает таяние на 5—10% в верхней части ледникового языка, на 10—20% в средней части и на 20—30% на конце языка. При этом влияние моренного покрытия существенно изменяется во времени (сразу после подвижки ледника его поверхность наименее загрязнена моренным материалом, в конце стадии восстановления — наиболее).

Систематических наблюдений над стоком ледника талых вод не проводилось, поэтому надежный гидрологический контроль отсутствует. Эпизодические наблюдения свидетельствуют о том, что в зависимости от интенсивности таяния, а также периодических закупорок каналов стока в леднике расходы реки на замыкающем створе ниже конца ледника резко колеблются, иногда в два-три раза.

Параллельные измерения абляции льда на ледниковом языке и скоростей движения льда и повторные фототеодолитные съемки позволили дать интегральную характеристику вещественного баланса ледникового языка и определить массу снега и льда, поступающую на ледниковый язык из фирнового бассейна и со склонов долины в виде лавин. По предварительным расчетам, за 10 лет (1963—1972 гг.) чистый прирост массы льда в зоне активизации языка ледника Медвежьего составил 218—220 млн. м³, или в пересчете на воду (при плотности льда 0,9 г/см³) 196—198 млн. т, а таяние льда по речным наблюдениям составило 206 млн. м³, или в пересчете на воду 185 млн. т. Фактически таяние было примерно на 10—15% менее значительным за счет снижения его интенсивности моренным покрытием в прибортовых частях ледника (вехи устанавливались на чистом и слабо загрязненном льду). Внеся 15%-ную поправку, получим

расход льда за счет поверхностного таяния в активизирующейся части ледникового языка равным 175 млн. м³, а в пересчете на воду 157,5 млн. т. Суммируя чистый прирост льда в активизирующейся части ледникового языка с таянием льда на той же площади за указанное десятилетие, получим величину массы льда, поступившей за это десятилетие на ледниковый язык из фирновой области и со склонов в виде лавин: $197 + 157,5 = 354,5$ млн. т, или в среднем 35,5 млн. т в год. Из них около 8 млн. т приходится на долю притока льда и лавин со склонов долины. Из фирнового бассейна через ледопад поступает в среднем 27,5 млн. т в год. Чтобы компенсировать этот отток массы льда из фирновой зоны, на ее территории (22 км² вместе с ледопадом) должно накапливаться твердых осадков не менее 125 г/см² в год (в среднем за рассматриваемое десятилетие). Эта величина очень близка к среднему годовому количеству осадков на ближайшей метеостанции Ледник Федченко (4169 м над ур. м.) за то же десятилетие (122 г/см²). Полученная нами расчетным путем величина годового накопления в фирновой области ледника Медвежьего (125 г/см²) является минимальной для обеспечения приходной статьи вещественного баланса пульсирующей части языка ледника Медвежьего.

Во время подвижек 1963 и 1973 гг. вздувшийся конец ледникового языка перегораживал долины рек Абдукагора и Дустироза. В долине р. Абдукагора образовывались подпрудные озера объемом до 20 млн. м³, прорывы которых вызывали катастрофические паводки в долинах рек Абдукагора и Ванча с максимальными расходами до 1000—1500 м³/с. После подвижки 1973 г. до сих пор сохраняется небольшое озеро глубиной до 30 м, так как прорыв озера в 1973 г. произошел не на уровне дна долины, а на несколько десятков метров выше, через промоину в краевой морене ледника. В настоящее время это остаточное озеро постепенно заполняется наносами р. Абдукагора.

Крупнейший ледник в бассейне р. Ванча — ледник Географического общества — в прошлом также пульсировал. Прежнее максимальное продвижение конца ледника фиксируется свежими моренами, в ядрах которых местами сохранился погребенный лед, лентами «прилавок» (тримлайнов) и сглаженных льдом скал на склонах долины р. Ванча ниже современного положения конца ледника. Ледник полностью перегораживал устье долины р. Абдукагора, и в ней длительное время сохранялось подпрудное озеро, максимальный объем которого превышал 50 млн. м³. По свидетельству П. И. Беседина (табл. V/№ 7), в 1916 г. конец ледника Географического общества находился в 2,6 км ниже его современного положения, но подпрудное озеро уже было спущено. Р. Д. Забиров в 1949 г. описывал ледник Географического общества как типичный деградирующий ледник, нижние 6,5 км которого «представляли участок мертвого льда» (табл. V/№ 22), а на поверхностной морене ледника встречались заросли ивняка. С 18 по 22/IX 1948 г. в 7,5 км от конца ледника Географического общества средняя суточная скорость движения льда была равна 28 см, в 1949 г. в 5 км от конца она составила 7 см/сут, а в 6,5 км от конца — 29 см/сут (табл. V/№ 22, 25). В 1965 г., по нашим наблюдениям, в нижней части ледникового языка поверхность была разбита свежими поперечными

трещинами, в том числе и на участках, заросших ивняком. Кусты ивняка сваливались в эти трещины вверх корнями. Скорость движения льда в 3 км от конца ледника составляла 56—60 м/год. В 1970 г. резко увеличил свою активность правый исток ледника (ледник № 96), его поверхность, прежде довольно ровная, была расколота многочисленными поперечными трещинами, пересекавшими ледник от борта к борту (рис. 18), а скорости движения льда здесь превысили 400 м/год (табл. V/№ 14). По данным наблюдений за положением конца языка, ледник Географического общества с 1962 по 1971 г. наступил на 79 м (табл. V/№ 33). Если активизация этого ледника будет продолжаться и это вызовет подвижку его конца до положения 1916 г., долина р. Абдукагора вновь может быть перегорожена и для долины р. Ванча создастся значительно большая угроза от подпруженного ледником озера, чем это имело место при прорывах озер, подпруживавшихся ледником Медвежьим в 1963 и 1973 гг.

Из пульсирующих ледников висячих долин проявил свою активность ледник Равак (№ 171), конец которого в 1967 г. выполз на крутой устьевой порог висячей долины и сорвался в виде разрушительного ледово-каменного селя в долину р. Ванча. За несколько минут образовался мощный конус выноса из льда, снега и камней объемом около 5 млн. м³. Течение р. Ванча на несколько часов было приостановлено этим завалом, а таяние льда в конусе выноса продолжалось в течение нескольких последующих лет (табл. V/№ 14, рис. 19).

В 1968 г. в стадии продвижения находился ледник № 167 в бассейне р. Дустироза. По сравнению с данными аэрофотосъемки 1947 г. его конец продвинулся на 100 м и был сильно разбит трещинами. Возможно, что ледники Абдукагорский и Язгулемский также являются пульсирующими. По внешним признакам они находятся в стадии восстановления. Так нижние 1,9 км² языка Язгулемского ледника в настоящее время превратились в мертвый лед, отдельные глыбы которого разделены водными потоками. Поверхность верхней трети ледникового языка имеет выпуклый продольный и поперечный профили, сильно разбита многочисленными поперечными трещинами, пересекающими ледник от борта к борту, и имеет четко выраженный фронт активной части, ниже которого поверхность ледника спокойная, покрыта мореной, с оврагами и водотоками на ней. Скорость движения льда в августе 1950 г. в 2,7 км от конца языка была равна 0, а в 3,7 и 6,8 км от конца была незначительна — менее 10 см/сут (табл. V/№ 25).

Сравнение аэрофотоснимков 1947 и 1968 гг. верховьев рек Ванча и Язгулема показало, что, за исключением рассмотренных выше пульсирующих ледников, за эти 20 лет заметных изменений в контурах ледников и в положении их концов не произошло. Наличие ниже концов современных ледников больших участков погребенного льда и сильное засорение концов ледников моренным материалом говорит об отступании концов ледников в историческое время.

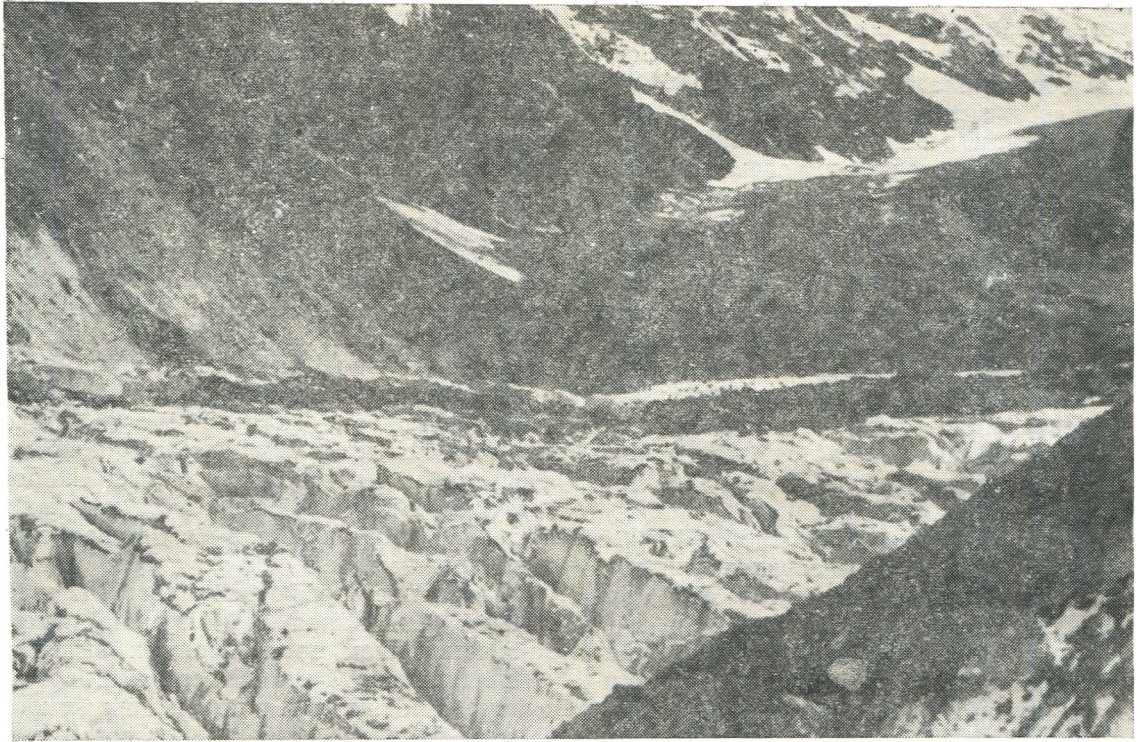


Рис. 18. Поперечные трещины на языке ледника Географического общества в 1970 г.



Рис. 19. Ледник № 171 (Равак) в бассейне р. Ванча. Снимок сделан через месяц после подвижки ледника в 1967 г. На переднем плане — конус выноса, образовавшийся в результате отрыва ледникового языка.

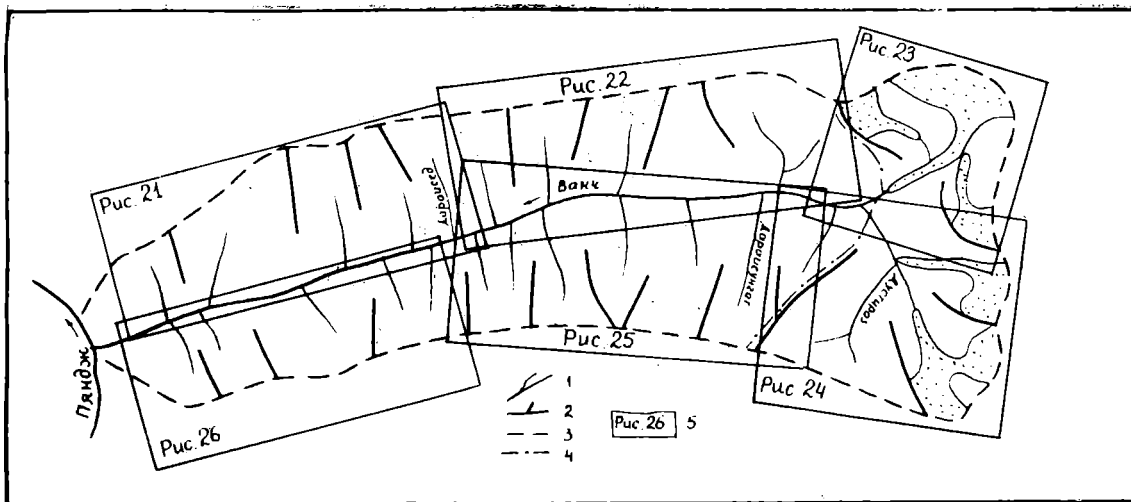


Рис. 20. Схема расположения ледниковых районов в бассейне р. Ванча.

1 — река, 2 — водораздел, 3 — граница бассейна, 4 — граница части бассейна, 5 — ледниковый район и номер рисунка.

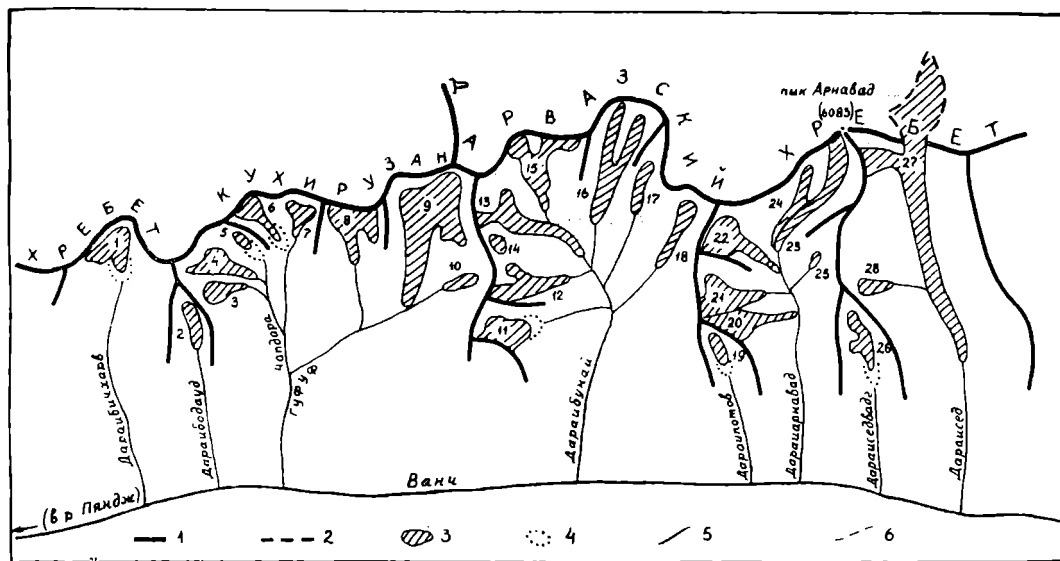


Рис. 21. Схема расположения ледников в бассейнах правых притоков р. Ванча (от р. Дараибичхарв до р. Дарасед).

1 — водораздел, 2 — ледораздел, 3 — ледник, 4 — погребенные льды, 5 — река, 6 — временный или подземный водоток.

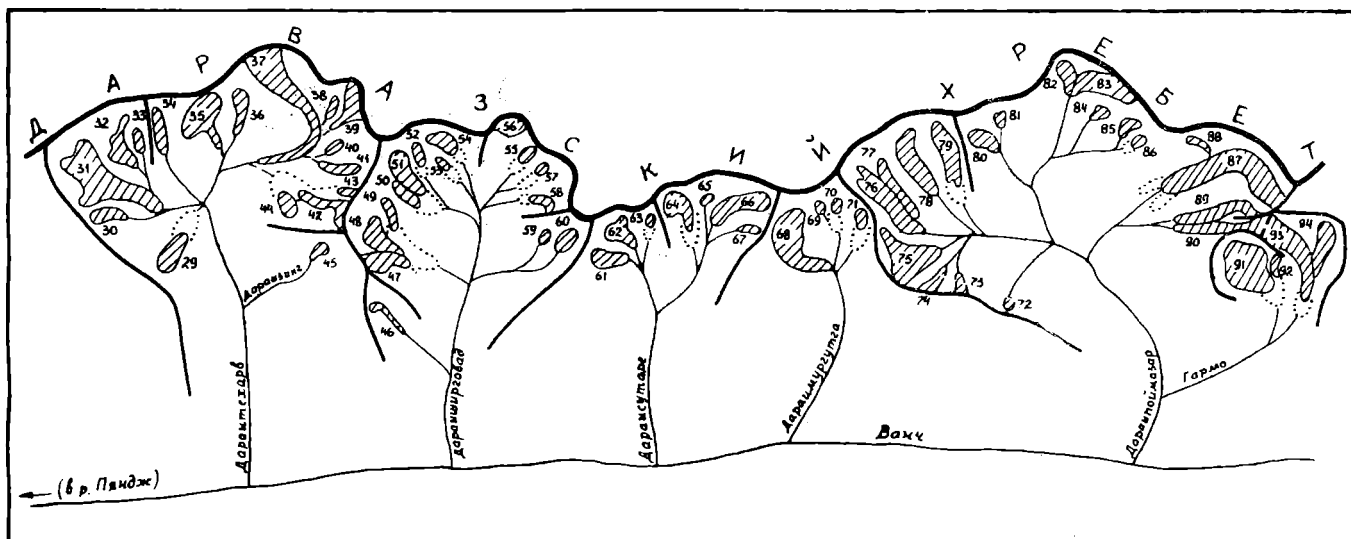


Рис. 22. Схема расположения ледников в бассейнах правых притоков р. Ванча (от р. Дарайтехарв до р. Дараймазар).

Усл. обозначения см. на рис. 21.

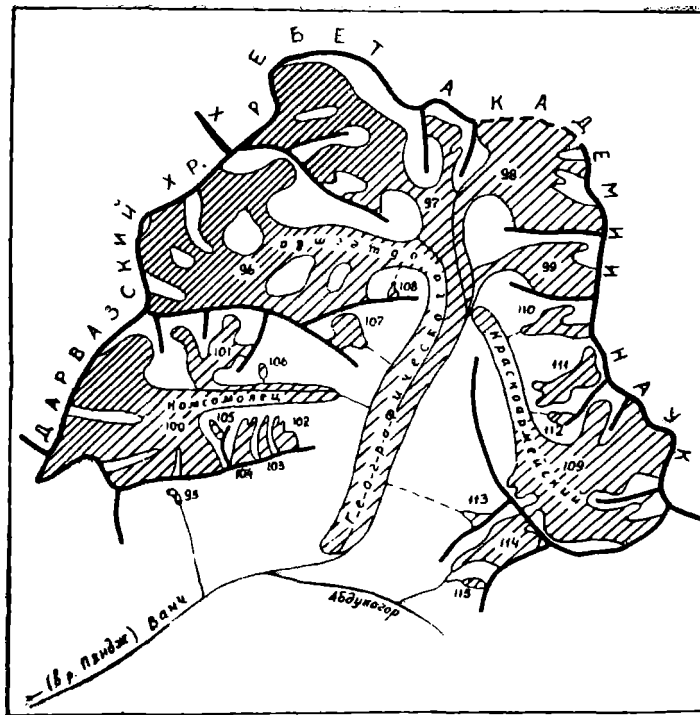


Рис. 23. Схема расположения ледников в бассейне ледника Географического общества и правого безымянного притока р. Абдукагора.

Усл. обозначения см. на рис. 21.

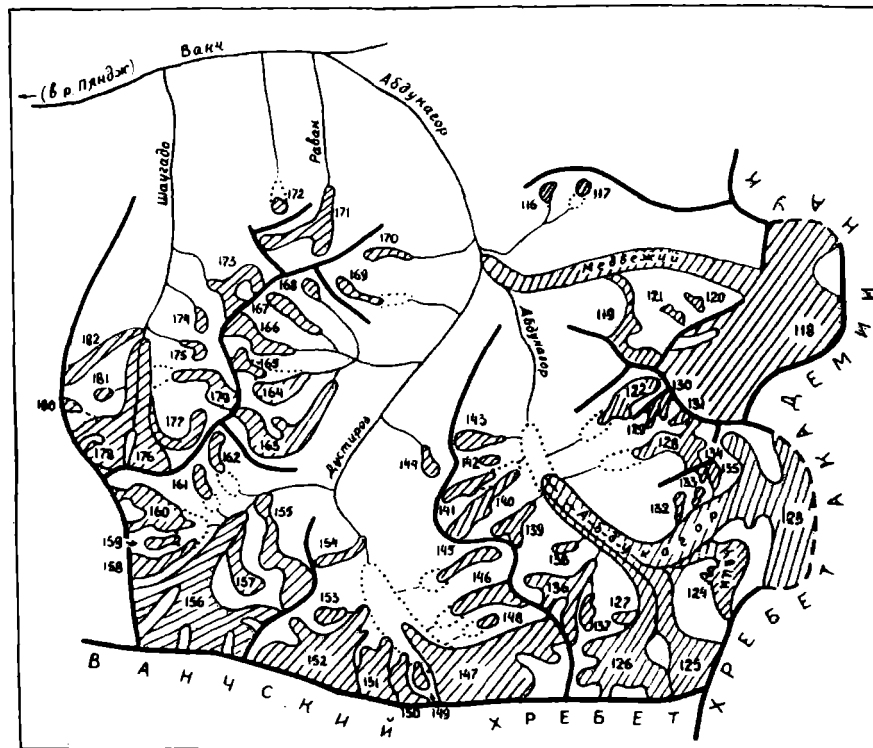


Рис. 24. Схема расположения ледников в бассейнах р. Абдукагора и левых притоков р. Ванча (рек Равак и Шаугадо).

Усл. обозначения см. на рис. 21.

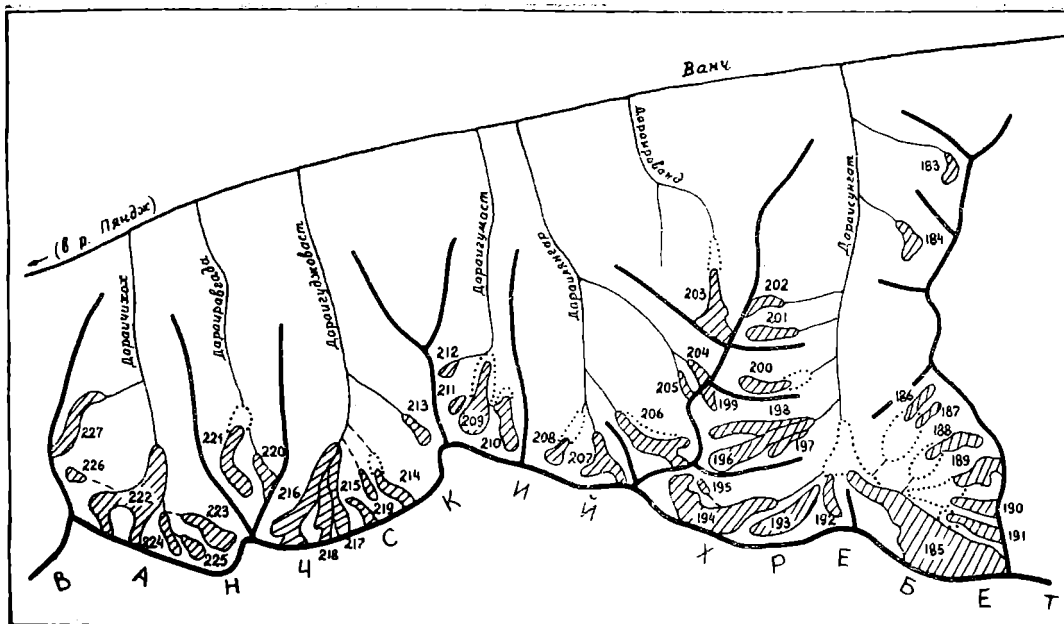


Рис. 25. Схема расположения ледников в бассейне левых притоков р. Ванча (от р. Дарасунгат до р. Дарачихох).
Усл. обозначения см. на рис. 21.

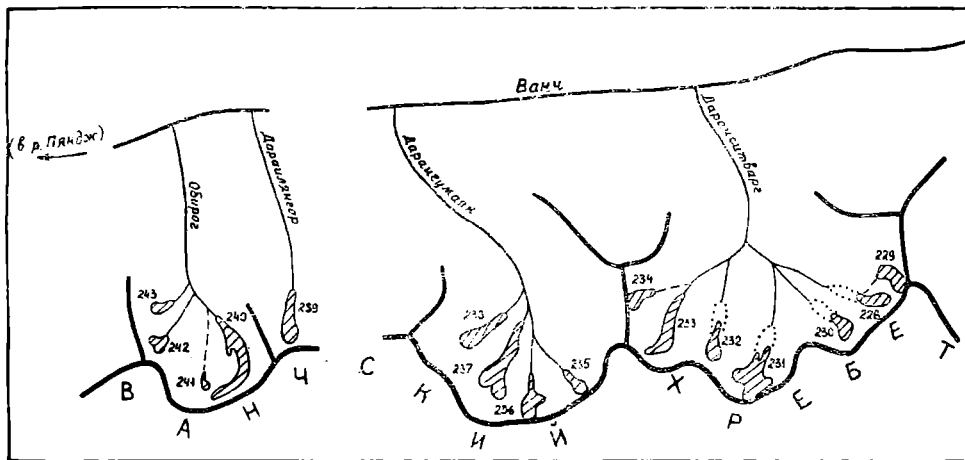


Рис. 26. Схема расположения ледников в бассейнах левых притоков р. Ванча (от р. Дараситварг до р. Обирог).
Усл. обозначения см. на рис. 21.

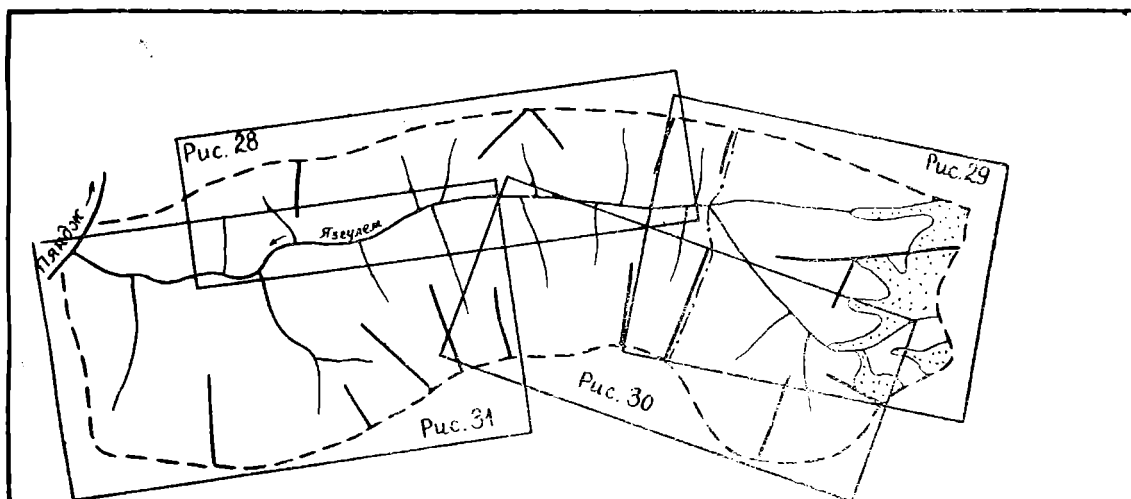


Рис. 27. Схема расположения ледниковых районов в бассейне р. Язгулема.
Усл. обозначения см. на рис. 20.

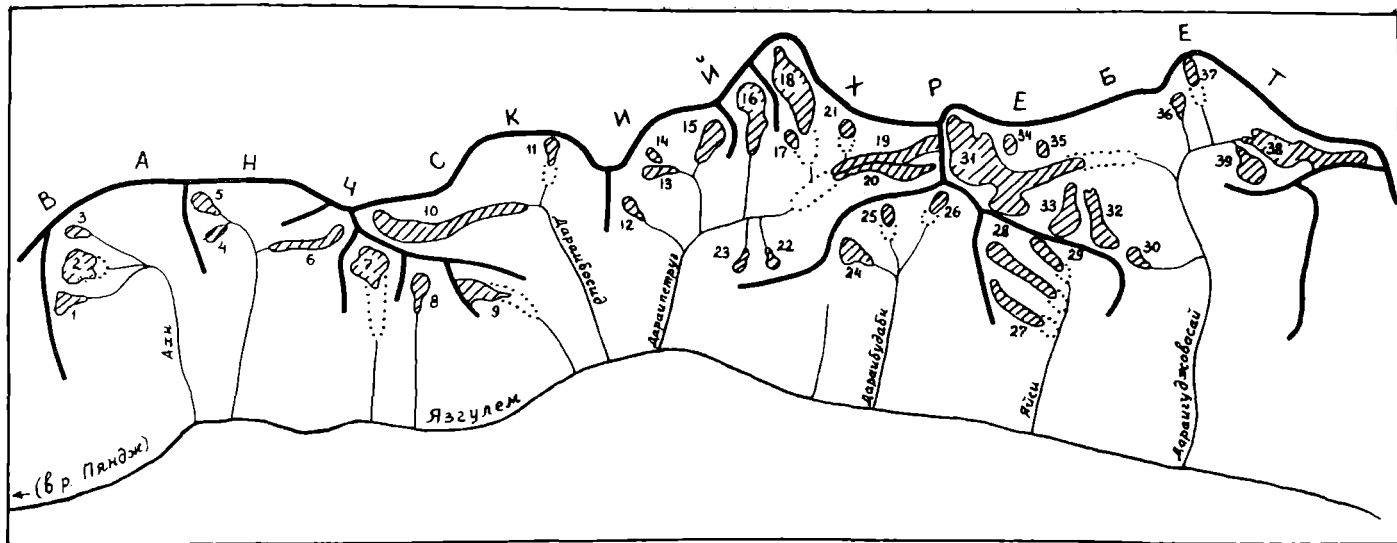


Рис. 28. Схема расположения ледников в бассейне правых притоков р. Язгулем (от р. Ахн до р. Дарангуджовасай).
Усл. обозначения см. на рис. 21.

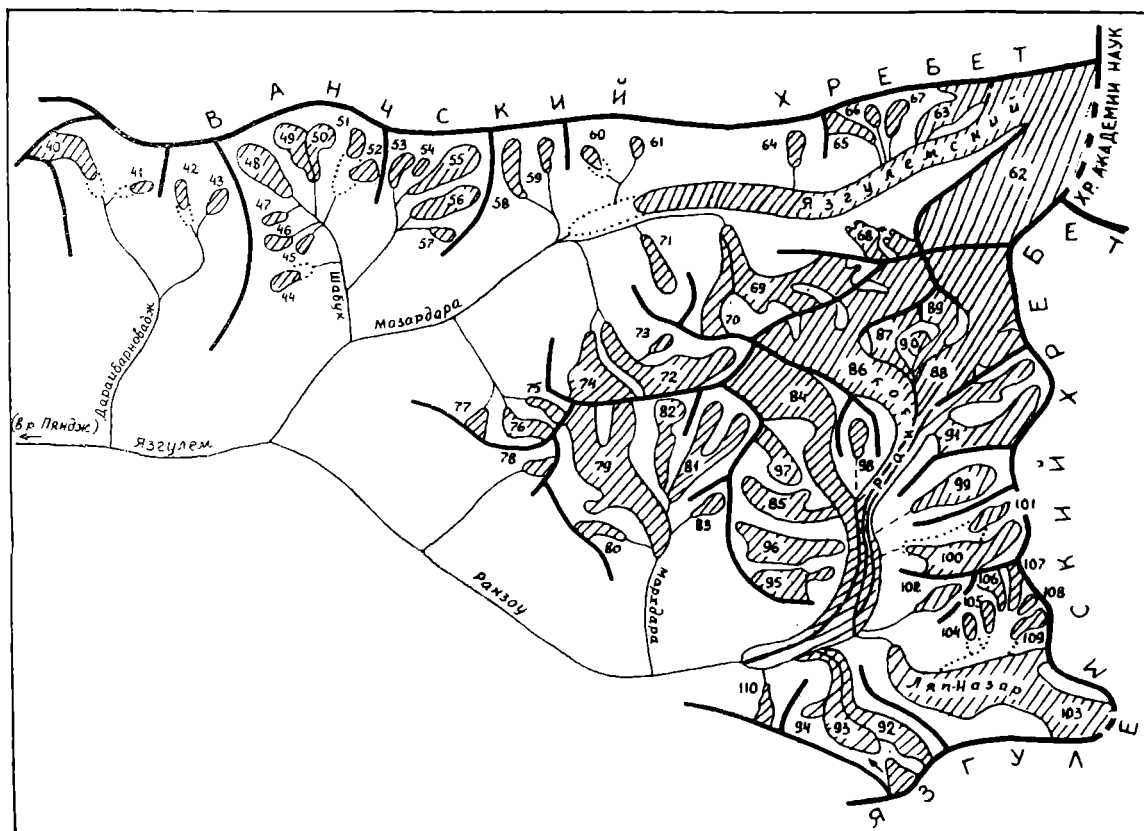


Рис. 29. Схема расположения ледников в бассейнах рек Дарайбарноваджа, Мазардара и Ракзоу.
Усл. обозначения см. на рис. 21.

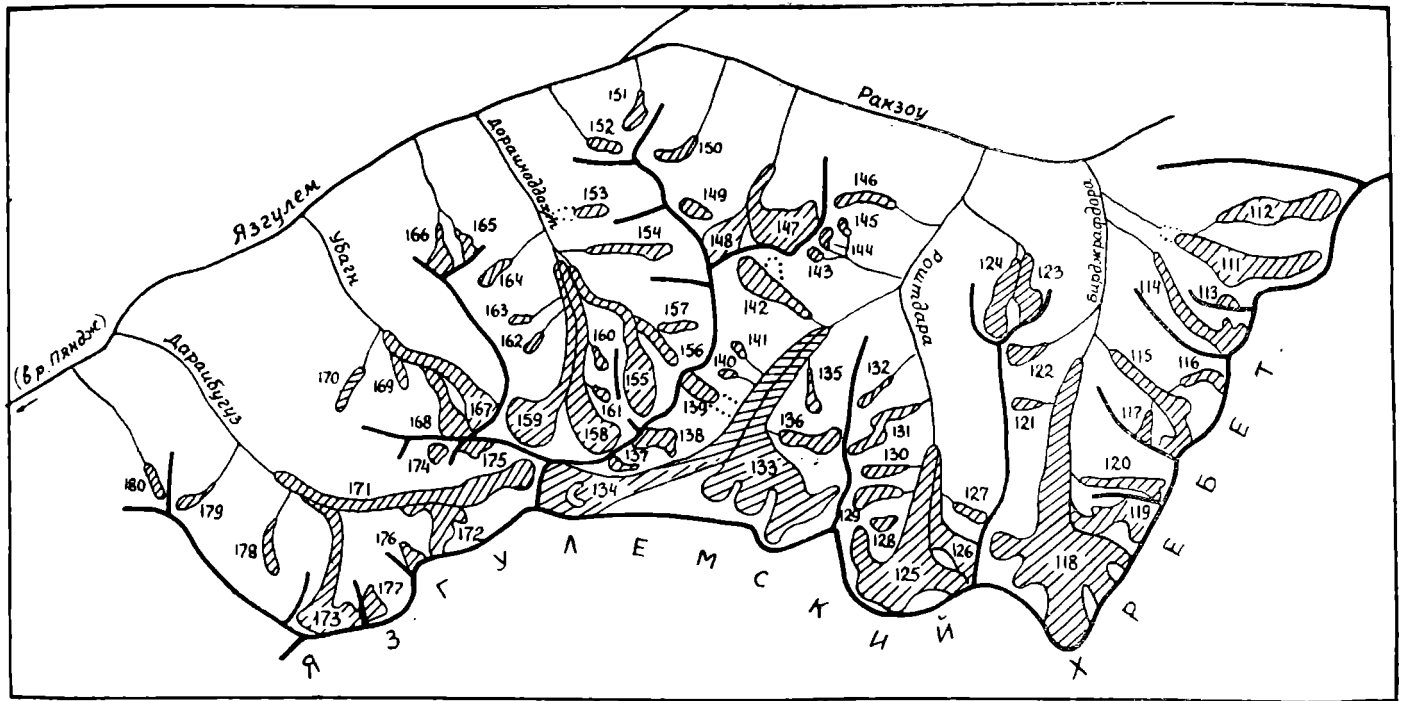


Рис. 30. Схема расположения ледников в бассейнах левых притоков р. Рақзоу и левых притоков р. Язгулема от слияния рек Мазардара и Рақзоу до р. Даранбугуз.
Усл. обозначения см. на рис. 21.

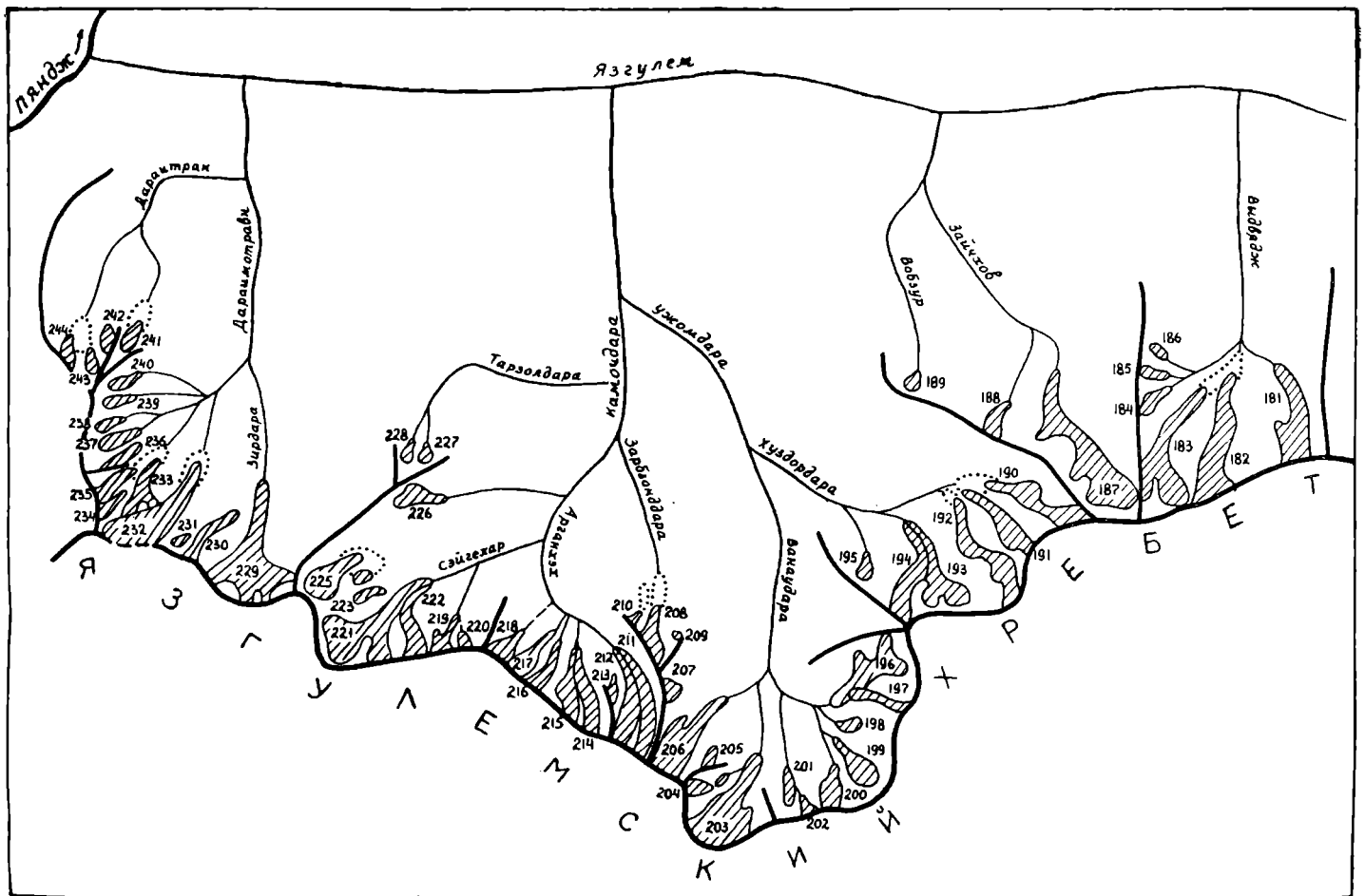


Рис. 31. Схема расположения ледников в бассейнах левых притоков р. Язгулема (от р. Вывдэж до р. Даранмограб).
Усл. обозначения см. на рис. 21.

ОСНОВНЫЕ ТАБЛИЦЫ
КАТАЛОГА ЛЕДНИКОВ

ОСНОВНЫЕ СВЕДЕНИЯ О ЛЕДНИКАХ БАССЕЙНА р. ВАНЧА

№ по схеме	Название	Название реки, вытекающей из ледника	Морфологический тип	Общая экспозиция	Наибольшая длина, км		Площадь, км ²		Высота, м			Фирновая линия		Площадь области абляции, км ²		Объем льда, км ³	Ссылки на последующие таблицы (иллюстрации) № таблиц и иллюстраций порядковые № сведений в таблицах
					всего ледника	в том числе открытой части	всего ледника	в том числе открытой части	нижней точки конца ледника	нижней точки открытой части ледника	высшей точки ледника	высота, м	способ определения и дата	общая	в том числе открытой части		
1	2	3	4	5	6	7	8	9	10	11	12	13	14	15	16	17	18

БАССЕЙНЫ ПРАВЫХ ПРИТОКОВ Р. ВАНЧА

Бассейн р. Дарайбичхарв (реки Ванч, Пяндж, Амударья)

Юго-восточный склон хр. Кухирузан

1*	№ 1 1 ледник	Дарайбичхарв	кар.	ЮВ	2,2	1,4	1,0	0,8	3960	4160	4600	(4400)	АФС 1947 г.	(0,6)	(0,4)	0,0270	
							1,0	0,8						0,6		0,0270	

Бассейн р. Дарайбодауд (реки Ванч, Пяндж, Амударья)

Южные отроги хр. Кухирузан

2*	№ 2 1 ледник	Дарайбодауд	вис. кар.	ЮВ	1,4	1,4	0,4	0,4	3880	3880	4600	4040	АФС 1947 г.	0,1	0,1	0,0068	
							0,4	0,4						0,1		0,0068	

Бассейн р. Гуфуф (реки Ванч, Пяндж, Амударья)

Юго-восточный склон хр. Кухирузан, юго-западный склон хр. Кухибунай

3*	№ 3	пр. р. Чапдара	кар.	СВ	1,4	1,4	0,4	0,4	3280	3280	3800	3600	АФС 1947 г.	0,2	0,2	0,0068	
4*	№ 4	Чапдара	кар.-дол.	В	2,6	2,6	1,1	1,1	3000	3000	4100	3600	АФС 1947 г.	0,4	0,4	0,0311	
5*	№ 5	пр. р. Чапдара	кар.	В	0,8	0,4	0,2	0,2	3700	3800	3900	3800	АФС 1947 г.	—	—	0,0024	
6*	№ 6	пр. р. Чапдара	дол.	В	2,5	2,5	0,6	0,6	3800	3800	5000	4500	АФС 1947 г.	0,3	0,3	0,0125	
7	№ 7	пр. р. Чапдара	кар.-дол.	Ю	1,4	1,2	0,5	0,4	3900	3940	4800	4300	АФС 1947 г.	0,2	0,1	0,0095	
8*	№ 8	пр. р. Гуфуф	дол.	ЮВ	2,6	1,7	1,8	1,5	3800	4040	4800	4400	АФС 1947 г.	0,6	0,3	0,0652	
9*	№ 9	Гуфуф	дол.	ЮВ	5,8	4,0	3,8	3,2	3260	3800	4600	4200	АФС 1947 г.	1,4	0,8	0,2000	
10	№ 10 8 ледников	пр. р. Гуфуф	кар.-дол.	ЮЗ	1,6	1,0	0,5	0,3	3680	3920	4500	4100	АФС 1947 г.	0,3	0,1	0,0095	
							8,9	7,7						3,4		0,3370	

Бассейн р. Дарайбунай (реки Ванч, Пяндж, Амударья)

Южный склон Дарвазского хребта, северо-восточный склон хр. Кухибунай

11*	№ 11	пр. р. Дарайбунай	кар.	СВ	1,6	1,6	0,9	0,9	3800	3800	4400	4000	АФС 1947 г.	0,2	0,2	0,0231	
12*	№ 12	пр. р. Дарайбунай	дол.	СВ	(3,4)	(1,8)	(1,3)	(1,0)	(3240)	(3720)	(4300)	(3850)	АФС 1947 г.	(0,5)	(0,2)	(0,0400)	
13*	№ 13	Бунай	дол.	В	4,4	2,4	2,0	1,3	3100	3600	4700	4050	АФС 1947 г.	1,6	0,9	0,0764	
14*	№ 14	Дарайбунай	вис.	СВ	0,7	0,7	0,3	0,3	4200	4200	4600	—	—	—	—	0,0044	
			(пригребн.)														
15*	№ 15		дол.	ЮВ	4,0	2,5	1,8	1,4	3800	4300	5100	4800	АФС 1947 г.	1,2	0,8	0,0652	
16*	№ 16	пр. р. Дарайбунай	сл. дол.	Ю	4,3	3,4	2,0	1,4	3600	4000	5000	4600	АФС 1947 г.	1,1	0,5	0,0764	
17	№ 17	пр. р. Дарайбунай	дол.	Ю	2,4	1,2	0,6	0,3	4000	4400	5000	4600	АФС 1947 г.	0,5	0,2	0,0125	
18*	№ 18 8 ледников	пр. р. Дарайбунай	дол.	Ю	2,8	2,2	0,6	0,5	3800	4100	5000	4400	АФС 1947 г.	0,3	0,2	0,0125	
							(9,5)							(5,4)		0,3105	

Кроме того, в бассейне р. Дарайбунай имеется 2 ледника размерами менее 0,1 км² каждый, общей площадью 0,13 км²

Итого 10 ледников

(9,6) (7,1)

Бассейн р. Дарайпотов (реки Ванч, Пяндж, Амударья)

Южные отроги Дарвазского хребта

19*	Потов 1 ледник	Дарайпотов	кар.-дол.	ЮВ	1,5	1,0	0,4 0,4	0,2 0,2	4100	4300	4600	4400	АФС 1947 г.	0,2 0,2	—	0,0068 0,0068
-----	-------------------	------------	-----------	----	-----	-----	------------	------------	------	------	------	------	-------------	------------	---	------------------

Бассейн р. Дарайарнавад (реки Ванч, Пяндж, Амударья)

Южный склон Дарвазского хребта, северо-восточный склон его южного отрога

20	№ 20	пр. р. Дарайарна- вад	дол.	СВ	3,6	3,6	1,4	1,4	3360	3360	4700	4300	АФС 1947 г.	0,9	0,9	0,0447
21	№ 21	пр. р. Дарайарна- вад	дол.	СВ	2,8	2,8	1,7	1,7	3600	3600	4600	4300	АФС 1947 г.	1,0	1,0	0,0598
22	№ 22	пр. р. Дарайарна- вад	дол.	В	3,4	2,6	1,4	1,2	3500	3640	4700	4400	АФС 1947 г.	0,8	0,6	0,0447
23	Арнавад	Дарайарнавад	сл.-дол.	Ю	5,5	4,9	1,7	1,5	3660	3760	6080	4700	АФС 1947 г.	0,8	0,6	0,0598
24	№ 24	Дарайарнавад	дол., часть сл. дол.	ЮВ	3,2	1,6	0,3	0,2	3660	4100	4900	4600	АФС 1947 г.	0,2	0,1	0,0044

V/25

Сложный долинный ледник Арнавад (№ 23, 24) имеет наибольшую длину 5,5 км, общую площадь 2,0 км² (в том числе 0,3 км² закрыто мореной) и площадь области абляции 1,0 км²

25*	№ 25	пр. р. Дарайарнавад	вис. кар.	Ю	0,7	0,3	0,1	—	3800	4100	4260	—	—	0,1	—	0,0009
	6 ледников						6,6	6,0						3,8		0,2143

Кроме того, в бассейне р. Дарайарнавад имеется 1 ледник площадью 0,06 км²
Итого 7 ледников

Бассейн р. Дарайседвадг (реки Ванч, Пяндж, Амударья)

Юго-восточный склон южных отрогов Дарвазского хребта

26*	№ 26	Дарайседвадг	дол.	В	1,8	1,8	0,5 0,5	0,5 0,5	3800	3800	4300	4200	АФС 1947 г.	0,4 0,4	0,4	0,0095 0,0095
-----	------	--------------	------	---	-----	-----	------------	------------	------	------	------	------	-------------	------------	-----	------------------

Бассейн р. Дарайсед (реки Ванч, Пяндж, Амударья)

Юго-восточный склон Дарвазского хребта, северо-восточный склон его южного отрога

27*	Сед	Дарайсед	дол.	ЮВ	11,6	6,4	7,2	5,3	2900	3900	5700	4300	АФС 1947 г.	2,7	0,8	0,5216
28	№ 28		вис. кар.	СВ	1,5	1,5	0,3 7,5	0,3 5,6	3900	3900	4200	4100	АФС 1947 г.	0,1 2,8	0,1	0,0044 0,5260

V/25

Кроме того, в бассейне р. Дарайсед имеется 1 ледник площадью 0,06 км²

Итого 3 ледника

Бассейн р. Дарайтехарв (реки Ванч, Пяндж, Амударья)

Юго-восточный и южный склоны Дарвазского хребта, северо-восточный и юго-западный склоны его южных отрогов

29*	№ 29	пр. р. Дарайте- харв	кар.	С	1,6	0,4	0,6	0,2	3660	3900	4100	—	—	0,6	0,2	0,0125
30	№ 30	пр. р. Дарайте- харв	кар.	СВ	1,4	1,1	0,4	0,3	3920	4000	4500	4300	АФС 1947 г.	0,3	0,2	0,0068
31	№ 31	пр. р. Дарайте- харв	дол.	ЮВ, В	4,4	4,0	2,5	2,3	3560	3700	4800	4400	АФС 1947 г.	1,3	1,1	0,1067
32*	№ 32		кар.	ЮВ	2,8	2,8	0,9	0,8	4000	4020	5000	4400	АФС 1947 г.	0,5	0,4	0,0231
33*	№ 33		вис. кар.	ЮВ	1,3	0,3	0,2	0,1	4300	4500	4600	—	—	0,2	0,1	0,0024
34	№ 34	пр. р. Дарайте- харв	кар.-дол.	ЮВ	2,3	2,2	0,5	0,3	3900	3920	4700	4400	АФС 1947 г.	0,3	0,1	0,0095
35	№ 35	пр. р. Дарайте- харв	дол.	ЮВ	2,4	2,4	1,4	1,4	3760	3760	4900	4400	АФС 1947 г.	0,2	0,2	0,0447
36	№ 36	пр. р. Дарайте- харв	дол.	Ю	1,6	1,6	0,5	0,5	3940	3940	4700	4400	АФС 1947 г.	0,2	0,2	0,0095

№ по схеме	Название	Название реки, вытекающей из ледника	Морфологический тип	Общая экспозиция	Наибольшая длина, км		Площадь, км ²		Высота, м			Фирновая линия		Площадь области абляции, км ²		Объем льда, км ³	Ссылки на последующие таблицы (иллюстрации) № таблиц и иллюстраций порядковые № сведений в таблицах
					всего ледника	в том числе открытой части	всего ледника	в том числе открытой части	нижней точки конца ледника	нижней точки открытой части ледника	высшей точки ледника	высота, м	способ определения и дата	общая	в том числе открытой части		
37*	Техарв	Даритехарв	дол.	ЮВ, Ю	7,0	7,0	2,4	2,4	3500	3500	5600	4450	АФС 1947 г.	0,6	0,6	0,1004	
38*	№ 38		кар.	Ю	1,2	1,2	0,2	0,2	4300	4300	4800	4400	АФС 1947 г.	—	—	0,0024	
39*	№ 39		кар.-дол.	ЮЗ	2,0	2,0	0,4	0,4	4260	4260	5000	4450	АФС 1947 г.	0,1	0,1	0,0068	
40*	№ 40		кар.	ЮЗ	0,8	0,2	0,1	—	4120	4350	4400	—	—	0,1	—	0,0009	
41*	№ 41		кар.-дол.	З	2,3	1,6	0,5	0,3	4000	4200	4500	4400	АФС 1947 г.	0,3	0,1	0,0095	
42*	№ 42		дол.	З	2,6	2,6	0,6	0,6	3960	3960	4700	4300	АФС 1947 г.	0,3	0,3	0,0125	
43*	№ 43		кар.	ЮЗ	0,8	0,8	0,2	0,2	4400	4400	4650	4450	АФС 1947 г.	0,1	0,1	0,0024	
44*	№ 44		кар.	СЗ	1,0	0,3	0,4	0,1	3900	4100	4250	—	—	0,4	0,1	0,0068	
45*	№ 45	Даранзинг	кар.	Ю	0,9	0,4	0,2	0,1	4200	4300	4500	—	—	0,2	0,1	0,0024	
17 ледников							12,0	10,2						5,7		0,3593	

Кроме того, в бассейне р. Даритехарв имеется 2 ледника размерами менее 0,1 км² каждый, общей площадью 0,12 км²

Итого 19 ледников

12,1

Бассейн р. Даранширговад (реки Ванч, Пяндж, Амударья)

Южный склон Дарвазского хребта, восточный склон его южного отрога

46*	№ 46	пр. р. Даранширговад	дол.	В	2,0	0,6	0,4	0,1	3600	4100	4200	—	—	0,4	0,1	0,0068	
47*	№ 47	пр. р. Даранширговад	кар.-дол.	СВ, В ЮЗ	1,8	1,5	0,7	0,6	4000	4050	4400	4250	АФС 1947 г.	0,3	0,2	0,0158	
48*	№ 48	пр. р. Даранширговад	дол.	В	2,0	1,8	0,5	0,4	4020	4040	4400	4300	АФС 1947 г.	0,3	0,2	0,0095	
49*	№ 49	пр. р. Даранширговад	дол.	ЮВ	1,7	1,7	0,4	0,4	4160	4160	4600	4350	АФС 1947 г.	0,2	0,2	0,0068	
50*	№ 50	пр. р. Даранширговад	кар.-дол.	СВ	1,0	1,0	0,2	0,2	3900	3900	4300	4100	АФС 1947 г.	0,1	0,1	0,0024	
51*	№ 51	пр. р. Даранширговад	кар.-дол.	ЮВ, В	1,9	1,9	0,6	0,6	3980	3980	4500	4200	АФС 1947 г.	0,2	0,2	0,0125	
52*	№ 52	пр. р. Даранширговад	кар.	ЮВ	1,3	1,3	0,4	0,4	4240	4240	4600	4400	АФС 1947 г.	0,1	0,1	0,0068	
53*	№ 53	пр. р. Даранширговад	кар.	В	0,6	0,6	0,1	0,1	4200	4200	4600	4550	АФС 1947 г.	—	—	0,0009	
54*	№ 54	пр. р. Даранширговад	кар.	В	1,4	1,4	0,6	0,6	4280	4280	4700	4450	АФС 1947 г.	0,2	0,2	0,0125	
55*	№ 55	Даранширговад	кар.	Ю	0,7	0,7	0,2	0,2	4340	4340	4540	4450	АФС 1947 г.	0,1	0,1	0,0024	
56*	№ 56	пр. р. Даранширговад	вис.	ЮВ	0,8	0,8	0,4	0,4	4580	4580	4860	—	—	—	—	0,0068	
57*	№ 57	пр. р. Даранширговад	кар.	Ю	0,6	0,6	0,1	0,1	4400	4400	4600	4500	АФС 1947 г.	—	—	0,0009	
58*	№ 58	пр. р. Даранширговад	кар.-дол.	ЮЗ	1,2	1,2	0,3	0,3	4300	4300	4770	4500	АФС 1947 г.	0,1	0,1	0,0044	
59*	№ 59	пр. р. Даранширговад	кар.	Ю	0,6	0,6	0,1	0,1	4400	4400	4600	4500	АФС 1947 г.	—	—	0,0009	

60	№ 60	пр. р. Дараншир-говад	кар.	Ю	1,0	1,0	0,4	0,4	4300	4300	4600	4500	АФС 1947 г.	0,1	0,1	0,0068
	15 ледников						5,4	4,9						2,1		0,0962

Кроме того, в бассейне р. Даранширговад имеется 1 ледник площадью 0,08 км²

Итого 16 ледников

Бассейн р. Дарансутарг (реки Ванч, Пяндж, Амударья)

Южный склон Дарвазского хребта

61	№ 61	пр. р. Дарансутарг	кар.	СВ	1,2	1,2	0,6	0,6	4080	4080	4400	4300	АФС 1947 г.	0,3	0,3	0,0125
62	№ 62	пр. р. Дарансутарг	кар.	В	1,4	1,2	0,7	0,5	4140	4200	4500	4350	АФС 1947 г.	0,4	0,2	0,0158
63*	№ 63	пр. р. Дарансутарг	кар.	ЮВ	0,5	0,5	0,1	0,1	4300	4300	4380	4350	АФС 1947 г.	—	—	0,0009
64*	№ 64	пр. р. Дарансутарг	кар.-дол.	ЮВ	1,6	1,6	0,8	0,8	4140	4140	4600	4400	АФС 1947 г.	0,3	0,3	0,0193
65*	№ 65	пр. р. Дарансутарг	кар.	ЮВ	0,4	0,4	0,2	0,2	4300	4300	4500	4350	АФС 1947 г.	—	—	0,0024
66*	№ 66	Дарансутарг	дол.	ЮЗ	2,4	2,2	1,1	1,0	4120	4160	4700	4400	АФС 1947 г.	0,7	0,6	0,0311
67*	№ 67	пр. р. Дарансутарг	кар.	З	1,0	1,0	0,1	0,1	4300	4300	4700	4350	АФС 1947 г.	—	—	0,0009
	7 ледников						3,6	3,3						1,7		0,0829

Бассейн р. Даранмургутга (реки Ванч, Пяндж, Амударья)

Юго-восточный склон Дарвазского хребта

68*	№ 68	Даранмургутга	кар.-дол.	В	2,6	1,8	2,0	1,4	3760	3900	4600	4300	АФС 1947 г.	1,3	0,7	0,0764
69*	№ 69	пр. р. Даранмургутга	кар.	В	0,4	0,4	0,1	0,1	4240	4240	4600	4300	АФС 1947 г.	—	—	0,0009
70*	№ 70	пр. р. Даранмургутга	кар.	Ю	0,6	0,6	0,1	0,1	4240	4240	4400	4300	АФС 1947 г.	0,1	0,1	0,0009
71*	№ 71	пр. р. Даранмургутга	кар.	ЮВ	0,9	0,9	0,3	0,3	4200	4200	4400	4300	АФС 1947 г.	0,1	0,1	0,0044
	4 ледника						2,5	1,9						1,5		0,0826

Бассейн р. Даранпоймазар (реки Ванч, Пяндж, Амударья)

Юго-восточный и южный склоны Дарвазского хребта, северо-восточный и северный склоны его южного отрога

72	№ 72	пр. р. Даранпоймазар	кар.	С	0,5	0,5	0,1	0,1	4120	4120	4300	4200	АФС 1947 г.	0,1	0,1	0,0009
73*	№ 73	пр. р. Даранпоймазар	кар.	С	0,7	0,7	0,2	0,2	4120	4120	4300	4200	АФС 1947 г.	0,1	0,1	0,0024
74*	№ 74	пр. р. Даранпоймазар	кар.	С	1,0	1,0	0,3	0,3	4150	4150	4350	4250	АФС 1947 г.	0,2	0,2	0,0044
75*	№ 75	пр. р. Даранпоймазар	кар.-дол.	СВ	2,9	2,5	1,9	1,6	4000	4100	4500	4300	АФС 1947 г.	1,1	0,8	0,0707
76	№ 76	пр. р. Даранпоймазар	асимм. дол.	В	3,4	3,2	2,1	2,0	4100	4180	4850	4450	АФС 1947 г.	1,4	1,3	0,0822
77*	№ 77	пр. р. Даранпоймазар	дол.	ЮВ	2,8	2,0	0,8	0,5	4120	4320	4600	4500	АФС 1947 г.	0,6	0,3	0,0193
78*	№ 78	пр. р. Даранпоймазар	кар.-дол.	ЮВ	2,8	2,4	1,3	1,0	4200	4300	4850	4550	АФС 1947 г.	1,0	0,7	0,0400
79*	№ 79	пр. р. Даранпоймазар	кар.-дол.	ЮВ	3,1	3,1	1,5	1,5	4180	4200	4900	4350	АФС 1947 г.	0,8	0,8	0,0496
80	№ 80	пр. р. Даранпоймазар	кар.-дол.	В	1,6	1,6	0,6	0,6	4140	4140	4600	4300	АФС 1947 г.	0,3	0,3	0,0125
81*	№ 81		кар.	Ю	0,9	0,9	0,1	0,1	4300	4300	4700	4400	АФС 1947 г.	—	—	0,0009
82*	№ 82	пр. р. Даранпоймазар	дол.	ЮВ, Ю	1,0	1,0	0,3	0,3	4500	4500	4800	4600	АФС 1947 г.	0,2	0,2	0,0044

№ по схемс	Название	Название реки, вытекающей из ледника	Морфологический тип	Общая экспозиция	Наибольшая длина, км		Площадь, км ²		Высота, м			Фирновая линия		Площадь области абляции, км ²		Объем льда, км ³	Ссылки на последующие таблицы (иллюстрации)
					всего ледника	в том числе открытой части	всего ледника	в том числе открытой части	нижней точки конца ледника	нижней точки открытой части ледника	высшей точки ледника	высота, м	способ определения и дата	общая	в том числе открытой части		
1	2	3	4	5	6	7	8	9	10	11	12	13	14	15	16	17	18
83*	№ 83	пр. р. Дарайпоймазар	дол.	З, Ю	2,4	2,4	0,7	0,7	4500	4500	5060	4700	АФС 1947 г.	0,3	0,3	0,0158	
84	№ 84	пр. р. Дарайпоймазар	кар.	ЮЗ	0,7	0,7	0,2	0,2	4500	4500	4650	4600	АФС 1947 г.	0,1	0,1	0,0024	
85	№ 85	пр. р. Дарайпоймазар	кар.	Ю	1,1	1,1	0,2	0,2	4660	4660	4900	4750	АФС 1947 г.	0,1	0,1	0,0024	
86*	№ 86	пр. р. Дарайпоймазар	кар.	ЮЗ	0,8	0,8	0,3	0,3	4650	4650	4950	4700	АФС 1947 г.	0,2	0,2	0,0044	
87*	№ 87	Дарайпоймазар	дол.	СЗ, ЮЗ	5,1	5,1	3,5	3,1	3980	3980	5430	4700	АФС 1968 г.	2,7	2,3	0,1768	
88*	№ 88		вис. кар.	В	1,1	1,1	0,2	0,2	4400	4400	4800	4600	АФС 1968 г.	0,1	0,1	0,0024	
89*	№ 89	пр. р. Дарайпоймазар	дол.	З, ЮЗ	3,1	3,0	1,0	0,9	4100	4120	5200	4700	АФС 1968 г.	0,6	0,5	0,0270	
90*	№ 90	пр. р. Дарайпоймазар	дол.	З	3,5	3,4	0,9	0,8	4100	4120	5350	4700	АФС 1968 г.	0,5	0,4	0,0231	
91*	№ 91	пр. р. Гармо	кар.	ЮВ	2,0	1,6	1,7	0,8	4100	4200	6500	4500	АФС 1968 г.	1,5	0,6	0,0598	
92*	№ 92	пр. р. Гармо	кар.	Ю	0,8	0,2	0,2	0,1	4120	4200	6500	4500	АФС 1968 г.	0,1	—	0,0024	
93*	№ 93	Гармо	дол.	ЮВ	3,5	2,9	1,5	1,2	3900	4100	5350	4550	АФС 1968 г.	1,1	0,8	0,0496	
94*	№ 94	пр. р. Гармо	дол.	Ю	2,4	1,0	0,8	0,5	4000	4400	4700	4500	АФС 1968 г.	0,4	0,1	0,0193	
	23 ледника						20,4	17,2						13,5		0,6727	

Кроме того, в бассейне р. Дарайпоймазар имеется 11 ледников размерами менее 0,1 км² каждый, общей площадью 0,83 км²
Итого 34 ледника 21,2

Бассейн правого безымянного притока р. Ванча между устьем р. Дарайпоймазар и языком ледника Географического общества (реки Ванч, Пяндж, Амударья)

Южный склон южного отрога Дарвазского хребта

95*	№ 95	пр. р. Ванча	кар.-дол.	Ю	1,0	0,4	0,1	0,1	4100	4260	4500	—	—	0,1	0,1	0,0009	
	1 ледник						0,1	0,1								0,0009	

Кроме того, в бассейне правого безымянного притока р. Ванча между устьем р. Дарайпоймазар и языком ледника Географического общества имеется 4 ледника размерами менее 0,1 км² каждый, общей площадью 0,3 км²

Итого 5 ледников

0,4

Всего в бассейнах правых притоков р. Ванча от устья до бассейна ледника Географического общества 117 ледников общей площадью 80,4 км², в том числе 95 ледников размером 0,1 км² и более каждый, общей площадью 78,8 км² (из них 12,9 км² закрыто мореной) и 22 ледника размером менее 0,1 км² каждый, общей площадью 1,6 км²

БАССЕЙНЫ ВЕРХОВЬЕВ Р. ВАНЧА И Р. АБДУКАГОРА

Бассейн ледника Географического общества (реки Ванч, Пяндж, Амударья)

Южный склон Дарвазского хребта, юго-восточный склон его южного отрога и западный склон хр. Академии Наук

Дендритовый ледник Географического общества

96*	Географического общества	Ванч	сл. дол., основной поток	В, Ю	23,6	14,4	28,2	22,3	2580	3040	6200	4100—4300	АФС 1968 г.	11,5	5,6	4,0433	IV/3—5, 8, 9, 13, 17, 24, 25; V/7, 13, 21, 22, 23, 25, 31, 38—40, 45, 46, 49, 50—53, 56, 57, 62; рис. 7, 18.
-----	--------------------------	------	--------------------------	------	------	------	------	------	------	------	------	-----------	-------------	------	-----	--------	--

97*	№ 97	Ванч	сл. дол., часть ден- дритов.	ЮВ, 24,2 Ю	13,4	20,1	15,1	2580	3300	6590	4050— 4300	АФС 1968 г.	8,9	3,9	2,4331		
98*	Кашал- Аяк		дол., часть	З	9,2	5,4	11,8	11,1	3270	3500	5200	4350	АФС 1968 г.	6,0	5,3	1,0944	V/1, 25
99	№ 99		сл. дол., часть сл. дол.	СЗ	6,6	4,6	4,3	4,0	3240	3500	5600	4300	АФС 1968 г.	2,0	1,7	0,2408	

Сложный долинный ледник № 97—99, часть дендритового ледника Географического общества, имеет наибольшую длину 24,2 км, общую площадь 36,2 км² (в том числе 6,0 км² закрыто мореной) и площадь области абляции 16,9 км²

Дендритовый ледник Географического общества (№ 96—99) имеет наибольшую длину 24,2 км², общую площадь 64,4 км² (в том числе 11,9 км² закрыто мореной) и площадь области абляции 28,4 км².

100*	Комсомо- лец		сл. дол.	В	12,2	10,8	15,5	14,8	3260	3600	5930	4500— 4700	АФС 1968 г.	7,4	6,7	1,6476
101	№ 101		дол., часть сл. дол.	Ю, В	6,6	1,7	2,4	1,4	3260	4500	5500	4650	АФС 1968 г.	1,6	0,6	0,1004

Сложный долинный ледник Комсомолец (№ 100, 101) имеет наибольшую длину 12,2 км, общую площадь 17,9 км² (в том числе 1,7 км² закрыто мореной) и площадь области абляции 9,0 км²

102*	№ 102		вис. кар.	С	1,6	1,6	0,6	0,6	4040	4040	4460	4300	АФС 1968 г.	0,3	0,3	0,0125	
103*	№ 103		вис. кар.	С	1,4	1,4	0,4	0,4	4040	4040	4600	4350	АФС 1968 г.	0,2	0,2	0,0068	
104*	№ 104		вис. кар.	С	1,6	1,6	0,7	0,7	4080	4080	4670	4400	АФС 1968 г.	0,4	0,4	0,0158	
105*	№ 105		вис. кар.	С	0,9	0,9	0,2	0,2	4160	4160	4600	4500	АФС 1968 г.	0,1	0,1	0,0024	
106*	№ 106		кар.	Ю	0,7	0,5	0,1	0,1	4100	4200	4400	4300	АФС 1968 г.	0,1	0,1	0,0009	
107*	№ 107		вис. кар.	ЮВ	1,5	1,3	1,0	0,9	3800	3900	4500	4250	АФС 1968 г.	0,5	0,4	0,0270	
108*	№ 108		вис. кар.	С	1,0	1,0	0,3	0,3	3700	3700	4100	3900	АФС 1968 г.	0,1	0,1	0,0044	
109*	Красно- армейский		дол.	З, С	11,2	7,8	15,7	13,0	3260	3700	5200	4300	АФС 1968 г.	7,1	4,4	1,6796	IV/13; V/25, 60; рис. 8
110*	№ 110		кар.-дол.	З	2,4	1,9	0,9	0,8	3700	3900	5300	4250	АФС 1968 г.	0,3	0,2	0,0231	
111*	№ 111		кар.-дол.	З	3,8	3,8	2,3	2,3	3700	3700	5100	4550	АФС 1968 г.	1,1	1,1	0,0942	
112*	№ 112		вис. кар.	З	0,9	0,9	0,2	0,2	4100	4100	4650	4400	АФС 1968 г.	0,1	0,1	0,0024	
113*	№ 113	пр. р. Ванча	вис. кар.	З	1,0	1,0	0,2	0,2	3900	3900	4300	4100	АФС 1968 г.	0,1	0,1	0,0024	
18 ледников									104,9	88,4				47,8		17,8701	

Кроме того, в бассейне ледника Географического общества имеется 7 ледников размером менее 0,1 км² каждый, общей площадью 0,6 км²

Итого 25 ледников 105,5

Бассейн р. Абдукагора (реки Ванч, Пяндж, Амударья)

Западный склон хр. Академии Наук, северный и южный склоны его западных отрогов, северный склон Ванчского и восточный склон Миона-Даринского хребтов:

114*	№ 114	пр. р. Абдукагора	кар.-дол.	З	3,0	3,0	2,2	2,2	3580	3580	5000	4200	АФС 1968 г.	0,7	0,7	0,0881	
115	№ 115	пр. р. Абдукагора	вис. кар.	З	1,0	1,0	0,2	0,2	3620	3620	4300	4150	АФС 1968 г.	0,1	0,1	0,0024	
116	№ 116	пр. р. Абдукагора	кар.	Ю	1,2	1,2	0,5	0,5	4000	4000	4500	4300	АФС 1968 г.	0,2	0,2	0,0095	
117*	№ 117	пр. р. Абдукагора	кар.	ЮЗ	1,1	1,1	0,4	0,4	4100	4100	4600	4250	АФС 1968 г.	0,1	0,1	0,0068	
118*	Медве- жий (№ 8)	пр. р. Абдукагора	сл. дол.	З	15,8	14,8	23,3	22,1	2900	3100	4690	(4400)	АФС 1968 г.	4,8	3,6	3,0367	IV/4—6, 9—12, 16, 19; 22, 23; V/1, 6, 7, 10—13;
119*	№ 119		кар.-дол., часть сл. дол.	СЗ	4,4	2,8	2,0	1,7	3500	4000	5400	4300	АФС 1968 г.	0,7	0,4	0,0764	15—20, 22, 23, 25, 31, 38—40, 45, 46, 49—53; 56, 57, 62; рис. 4, 12, 15; 16, 17

Сложный долинный ледник Медвежий (№ 118, 119) имеет наибольшую длину 15,8 км, общую площадь 25,3 км² (в том числе 1,5 км² закрыто мореной) и площадь области абляции 5,5 км²

120*	№ 120		вис.	СВ	0,3	0,3	0,1	0,1	4800	4800	5300	—	—	—	—	0,0009
121*	№ 121		вис.	С	0,5	0,5	0,4	0,4	4600	4600	5500	—	—	—	—	0,0068
122*	№ 122	пр. р. Абдукагора	дол.	ЮЗ	2,8	2,4	1,4	1,3	4250	4300	5000	4800	АФС 1968 г.	1,0	0,9	0,0447

№ по схеме	Название	Название реки, вытекающей из ледника	Морфологический тип	Общая экспозиция	Наибольшая длина, км		Площадь, км ²		Высота, м			Фирновая линия		Площадь области абляции, км ²		Объем льда, км ³	Ссылки на последующие таблицы (иллюстрации)
					всего ледника	в том числе открытой части	всего ледника	в том числе открытой части	нижней точки конца ледника	нижней точки открытой части ледника	высшей точки ледника	высота, м	способ определения и дата	общая	в том числе открытой части		
1	2	3	4	5	6	7	8	9	10	11	12	13	14	15	16	17	18
Дендритовый ледник Абдукагорский																	
123*	Абдукагорский	Абдукагор	сл. дол., основной поток	ЮЗ, СЗ	11,4	10,8	12,9	11,1	3560	3700	6060	4900	АФС 1968 г.	5,1	3,3	1,2510	IV/4, 7, 26; V/23, 25, 28; рис. 9
124*	Клин		дол., часть сл. дол.	С, З	4,0	2,8	2,4	1,9	4340	4480	5440	4800	АФС 1968 г.	0,9	0,4	0,1004	
Сложный долинный ледник № 123, 124, часть дендритового ледника Абдукагорского, имеет наибольшую длину 11,4 км, общую площадь 15,3 км ² (в том числе 2,3 км ² закрыто мореной) и площадь области абляции 6,0 км ²																	
125*	Каскадный	Абдукагор	дол., часть сл. дол.	СЗ, З	9,5	3,0	4,6	2,6	3560	4500	5620	4650	АФС 1968 г.	2,4	0,4	0,2664	
126*	Обвалов	Абдукагор	дол., часть сл. дол.	С, СЗ	9,8	3,2	5,5	3,4	3560	4480	5660	4600	АФС 1968 г.	2,8	0,7	0,3483	
127	№ 127		кар.-дол., часть сл. дол.	В	1,4	1,0	0,6	0,4	4420	4500	4750	4600	АФС 1968 г.	0,5	0,3	0,0125	
Сложный долинный ледник № 125—127, часть дендритового ледника Абдукагорского, имеет наибольшую длину 9,8 км, общую площадь 10,7 км ² (в том числе 3,7 км ² закрыто мореной) и площадь области абляции 5,1 км ²																	
Дендритовый ледник Абдукагорский (№ 123—127) имеет наибольшую длину 11,4 км, общую площадь 26,0 км ² (в том числе 6,0 км ² закрыто мореной) и площадь области абляции 11,1 км ²																	
128*	Шумный		дол.	ЮЗ	2,8	2,6	1,6	1,2	4260	4300	5500	4800	АФС 1968 г.	1,2	0,8	0,0546	
129*	№ 129		кар.	Ю	1,4	1,2	0,4	0,3	4680	4720	5250	4900	АФС 1968 г.	0,2	0,1	0,0068	
130*	№ 130		кар.-вис.	Ю	1,0	1,0	0,2	0,2	4700	4700	5300	4900	АФС 1968 г.	0,1	0,1	0,0024	
131*	№ 131		кар.-вис.	ЮЗ	1,1	1,1	0,3	0,3	4700	4700	5440	4900	АФС 1968 г.	0,1	0,1	0,0044	
132*	№ 132		кар.-дол.	Ю	1,1	0,5	0,2	0,1	4620	4800	5000	4900	АФС 1968 г.	0,2	0,1	0,0024	
133*	№ 133		кар.	Ю	0,6	0,3	0,1	0,1	4720	4880	4880	—	—	—	—	0,0009	
134*	№ 134		кар.-вис.	Ю	0,9	0,6	0,2	0,2	4900	4900	5400	5100	АФС 1968 г.	0,1	0,1	0,0024	
135*	№ 135		кар.-вис.	Ю	1,0	1,0	0,4	0,4	4900	4900	5500	5100	АФС 1968 г.	—	—	0,0068	
136*	Скрытый		сл.-дол.	С	3,6	2,4	2,7	1,8	4040	4400	5200	4600	АФС 1968 г.	1,8	0,9	0,1198	
137*	№ 137		кар.-дол.	С	1,5	1,5	0,4	0,4	4240	4240	4900	4400	АФС 1968 г.	0,2	0,2	0,0068	
138*	№ 138		кар.-дол.	СВ	1,3	0,3	0,4	0,1	3920	4080	4120	—	—	0,4	0,1	0,0068	
139	№ 139	пр. р. Абдукагора	кар.-дол.	С	2,3	0,4	1,2	0,9	3700	4000	5000	4100	АФС 1968 г.	0,4	0,1	0,0355	рис. 10
140*	Мраморный	пр. р. Абдукагора	дол.	С	3,3	2,4	1,3	0,6	3500	4250	5200	4400	АФС 1968 г.	0,9	0,2	0,0400	
141*	№ 141	пр. р. Абдукагора	дол.	СВ	2,2	1,1	0,8	0,4	4000	4300	5100	4500	АФС 1968 г.	0,5	0,1	0,0193	
142*	№ 142	пр. р. Абдукагора	дол.	В	0,7	—	0,2	—	4200	—	4600	—	—	0,2	—	0,0024	
143	Висячий	пр. р. Абдукагора	вис. кар.	СВ, В	1,6	1,6	0,7	0,7	4000	4000	5000	4500	АФС 1968 г.	0,4	0,4	0,0158	
30 ледников							67,6	56,0			26,0			7,4570			

Кроме того, в бассейне р. Абдукагора имеется 3 ледника размерами менее 0,1 км² каждый, общей площадью 0,22 км²

Итого 33 ледника

67,8

Бассейн р. Дустироза (реки Абдукагор, Ванч, Пянд, Амударья)

Северный склон Ванчского хребта, западный склон Миона-Даринского хребта, восточный склон северного отрога Ванчского хребта

144*	№ 144	пр. р. Дустироза	внс. кар.	СЗ	1,7	1,2	0,6	0,4	4200	4400	5210	4850	АФС 1968 г.	0,4	0,2	0,0125
145*	Должен-ко	пр. р. Правого Дустироза	дол.	З, ЮЗ	3,2	3,0	1,2	1,1	4240	4240	5180	4850	АФС 1968 г.	0,7	0,6	0,0355
146*	№ 146	пр. р. Правого Дустироза	дол.	СЗ, ЮЗ	2,9	2,9	1,3	1,3	4560	4560	5250	4800	АФС 1968 г.	0,9	0,9	0,0400
147*	Правый Дустироз	Правый Дустироз	асим. дол.	СЗ	6,4	5,0	7,5	6,8	4060	4300	5600	4600— 4800	АФС 1968 г.	4,6	3,9	0,5546
148*	№ 148		кар.	ЮЗ	1,0	1,0	0,2	0,2	4600	4600	5000	4700	АФС 1968 г.	0,1	0,1	0,0024
149*	№ 149	пр. р. Правого Дустироза	вис. жар.	С	1,1	0,9	0,4	0,3	4170	4200	5550	4450	АФС 1968 г.	0,2	0,1	0,0068
150*	№ 150	пр. р. Правого Дустироза	кар.-дол.	С	2,7	2,7	1,0	1,0	4140	4140	5010	4500	АФС 1968 г.	0,5	0,5	0,0270
151*	№ 151	пр. р. Правого Дустироза	кар.-дол.	С	2,4	2,4	2,0	2,0	4060	4060	4930	4500	АФС 1968 г.	1,0	1,0	0,0764
152*	№ 152	пр. р. Правого Дустироза	дол.	СВ	4,5	3,2	4,5	4,0	3940	4100	4930	4500	АФС 1968 г.	2,9	2,4	0,2577
153*	№ 153		кар.	В	1,2	0,8	0,5	0,4	4400	4450	4660	4600	АФС 1968 г.	0,2	0,1	0,0095
154*	№ 154	пр. р. Правого Дустироза	дол.	СВ	2,2	0,2	0,5	0,1	3740	4200	4300	—	—	0,5	0,1	0,0095
155*	№ 155	пр. р. Левого Дустироза	дол.	СЗ	4,0	3,2	1,8	1,3	3780	3980	5410	4900	АФС 1968 г.	0,9	0,4	0,0652
156*	Левый Дустироз	Левый Дустироз	сл. дол.	С	5,9	5,2	9,4	8,8	3880	3950	5350	4700— 4800	АФС 1968 г.	5,9	5,3	0,7781
157	№ 157	Левый Дустироз	дол., часть сл. дол.	СЗ	3,1	1,0	0,8	0,4	3880	4280	5000	4500	АФС 1968 г.	0,6	0,2	0,0193

Сложный долинный ледник Левый Дустироз (№ 156, 157) имеет наибольшую длину 5,9 км, общую площадь 10,2 км² (в том числе 1,0 км² закрыто мореной) и площадь области абляции 6,5 км².

158*	№ 158		дол.	СВ	2,8	2,8	1,1	1,1	4100	4100	5150	4600	АФС 1968 г.	0,6	0,6	0,0311
159*	№ 159		кар.-дол.	СВ	1,3	1,3	0,5	0,5	4240	4240	4800	4500	АФС 1968 г.	0,2	0,2	0,0095
160*	№ 160		дол.	В	3,8	3,0	2,2	1,6	4140	4200	5580	4600	АФС 1968 г.	1,5	0,9	0,0881
161*	№ 161		кар.-дол.	ЮВ	2,3	1,8	0,9	0,7	4000	4140	4800	4600	АФС 1968 г.	0,5	0,3	0,0231
162*	№ 162	пр. р. Левого Дустироза	дол.	Ю	2,0	2,0	0,6	0,6	4300	4300	4800	4700	АФС 1968 г.	0,5	0,5	0,0125
163*	Южный	пр. р. Джанголь-дара	сл. дол.	СВ	5,1	3,7	2,4	2,0	3820	4100	5000	4400	АФС 1968 г.	1,4	1,0	0,0942
164*	Северный	пр. р. Джанголь-дара	асим. дол.	СВ	1,6	1,2	0,8	0,6	4160	4200	4700	4500	АФС 1968 г.	0,5	0,3	0,0193
165*	№ 165	пр. р. Джанголь-дара	дол.	В	1,6	1,6	0,4	0,4	4420	4420	4700	4500	АФС 1968 г.	0,3	0,3	0,0068
166	№ 166	Джанголь-дара	дол.	В	2,6	2,1	0,8	0,7	4200	4300	5070	4700	АФС 1968 г.	0,4	0,3	0,0193
167*	№ 167	пр. р. Джанголь-дара	дол.	В	2,4	2,2	0,5	0,5	4000	4020	4900	4750	АФС 1968 г.	0,3	0,3	0,0095
168	№ 168	пр. р. Джанголь-дара	кар.-дол.	ЮВ	1,0	1,0	0,2	0,2	4400	4400	4900	4750	АФС 1968 г.	0,1	0,1	0,0024
169*	№ 169	пр. р. Дустироза	дол.	ЮВ	2,2	0,7	0,6	0,2	3760	4450	4900	4500	АФС 1968 г.	0,4	—	0,0125
26 ледников													26,1		—	2,3050

Кроме того, в бассейне р. Дустироза имеется 4 ледника размерами менее 0,1 км² каждый, общей площадью 0,28 км²

Итого 30 ледников

43,0

№ по схеме	Название	Название реки, вытекающей из ледника	Морфологический тип	Общая экспозиция	Наибольшая длина, км		Площадь, км ²		Высота, м			Фирновая линия		Площадь области абляции, км ²		Объем льда, км ³	Ссылки на последующие таблицы (иллюстрации) № таблиц и иллюстраций порядковые № сведений в таблицах
					всего ледника	в том числе открытой части	всего ледника	в том числе открытой части	нижней точки конца ледника	нижней точки ледника	высшая точка ледника	высота, м	способ определения и дата	общая	в том числе открытой части		
1	2	3	4	5	6	7	8	9	10	11	12	13	14	15	16	17	18

Бассейн левого безымянного притока р. Абдукагора ниже устья р. Дустироза (реки Абдукагор, Ванч, Пяндж, Амударья)

Восточный и северный склоны северного отрога Ванчского хребта

170	№ 170 1 ледник	пр. р. Абдукагора	кар.-дол.	В	2,3	2,0	0,6	0,5	3800	3900	4900	4500	АФС 1968 г.	0,5	0,4	0,0125	
							0,6	0,5						0,5		0,0125	

Всего в бассейне верховьев р. Ванча имеется 89 ледников общей площадью 216,9 км², в том числе 75 ледников размерами 0,1 км² и более каждый, общей площадью 215,8 км² (из них 33,6 км² закрыто мореной) и 14 ледников размерами менее 0,1 км² каждый, общей площадью 1,1 км²

БАССЕЙНЫ ЛЕВЫХ ПРИТОКОВ Р. ВАНЧА

Бассейн р. Равак (реки Ванч, Пяндж, Амударья)

Северный склон северного отрога Ванчского хребта

171*	Равак 1 ледник	Равак	кар.-дол.	СВ, С	4,1	2,1	1,9	1,2	3500	3900	5130	4400	АФС 1968 г.	1,3	0,6	0,0707	V/13; рис. 19
							1,9	1,2						1,3		0,0707	

Бассейн левого безымянного притока р. Ванча между устьями рек Равак и Шаугадо (реки Ванч, Пяндж, Амударья)

Северный склон северного отрога Ванчского хребта

172*	№ 172 1 ледник	пр. р. Ванча	кар.	СЗ	0,8	0,8	0,3	0,3	4100	4100	4500	4400	АФС 1968 г.	0,3	0,3	0,0044	
							0,3	0,3						0,3		0,0044	

Бассейн р. Шаугадо (реки Ванч, Пяндж, Амударья)

Северный склон Ванчского хребта, восточный и западный склоны его северных отрогов

173*	№ 173	пр. р. Шаугадо	дол.	З	2,4	1,8	1,2	0,8	4400	4700	5430	4800	АФС 1968 г.	0,8	0,4	0,0355	
174	№ 174	пр. р. Шаугадо	кар.	СЗ	0,6	0,6	0,2	0,2	4200	4200	4800	4500	АФС 1968 г.	0,1	0,1	0,0024	
175	№ 175	пр. р. Шаугадо	вис. кар.	СЗ	1,0	0,8	0,2	0,2	4550	4700	5000	4800	АФС 1968 г.	0,1	0,1	0,0024	
176*	Шаугадо	Шаугадо	дол., часть	С	4,9	3,2	2,6	1,9	3800	4000	5100	4550	АФС 1968 г.	1,8	1,1	0,1132	рис. 14
177	№ 177		сл. дол., часть	СЗ	3,8	2,5	1,4	1,1	4000	4300	5200	4500	АФС 1968 г.	0,7	0,4	0,0447	
178*	Шаугадо	Шаугадо	сл. дол., часть	С	5,0	3,5	3,5	3,0	3800	3940	5000	4500	АФС 1968 г.	1,8	1,3	0,1768	

Сложный долинный ледник Шаугадо (№ 176—178) имеет наибольшую длину 5,0 км, общую площадь 7,5 км² (в том числе 1,5 км² закрыто мореной) и площадь области абляции 4,3 км²

179*	№ 179		дол.	З	1,9	1,9	0,8	0,8	4500	4500	5180	4700	АФС 1968 г.	0,2	0,2	0,0193	
180*	№ 180		кар.	В	0,6	0,6	0,1	0,1	4580	4580	4900	4700	АФС 1968 г.	0,1	0,1	0,0009	
181*	№ 181		кар.	В	0,5	0,5	0,1	0,1	4250	4250	4600	4500	АФС 1968 г.	0,1	0,1	0,0009	
182	№ 182	пр. р. Шаугадо	дол.	СВ	3,8	2,4	1,2	0,6	3780	4200	5100	4500	АФС 1968 г.	0,8	0,2	0,0355	
	10 ледников								11,3	8,8				6,5		0,6515	

Бассейн р. Дарасунгат (реки Ванч, Пяндж, Амударья)

Северный склон Ванчского хребта, западный склон его северного отрога, восточный склон хр. Сунгат

184	№ 184	пр. р. Дарасунгат	кар.-дол.	СЗ	1,2	0,6	0,3	0,2	3800	4000	4500	4400	АФС 1968 г.	0,2	0,1	0,0044
185*	Сунгат	пр. р. Дарасунгат	вис. кар.	СЗ	1,4	0,8	0,6	0,3	3650	4050	4400	4350	АФС 1968 г.	0,5	0,2	0,0125
186*	правый № 186	Дарасунгат	асим. дол.	СЗ	6,6	4,8	6,0	4,2	3800	4100	5030	4600	АФС 1968 г.	4,3	2,5	0,3968
183	№ 183		кар.-дол.	Ю	1,5	0,6	0,3	0,1	4620	4740	5000	4800	АФС 1968 г.	0,3	0,1	0,0044
187*	№ 187		кар.-дол.	Ю	1,1	0,4	0,2	0,1	4660	4900	5000	—	—	0,2	0,1	0,0024
188*	№ 188		кар.-дол.	ЮЗ	1,8	1,8	0,5	0,4	4300	4300	4700	4600	АФС 1968 г.	0,3	0,2	0,0095
189*	№ 189		кар.-дол.	ЮЗ	1,9	1,9	0,8	0,8	4500	4500	5100	4750	АФС 1968 г.	0,5	0,5	0,0193
190*	№ 190		кар.-дол.	З	1,6	1,6	0,6	0,6	4460	4460	4900	4650	АФС 1968 г.	0,4	0,4	0,0125
191*	№ 191		кар.-дол.	З	2,2	2,2	0,7	0,7	4460	4460	5150	4700	АФС 1968 г.	0,4	0,4	0,0158
192*	№ 192	пр. р. Дарасунгат	кар.-дол.	СЗ	1,5	0,6	0,3	0,1	3870	4200	4400	—	—	0,3	0,1	0,0044
193*	№ 193	пр. р. Дарасунгат	кар.-дол.	С	3,3	1,2	1,6	0,5	3920	4500	4700	4600	АФС 1968 г.	1,4	0,3	0,0546
194*	Сунгат левый № 195	пр. р. Дарасунгат	асим. дол.	СВ	4,6	3,2	2,6	2,0	4220	4500	5100	4700	АФС 1947 г.	1,2	0,6	0,1132
195*	№ 195		вис. кар.	ЮВ	0,7	0,7	0,2	0,2	4780	4780	5000	4900	АФС 1947 г.	0,1	0,1	0,0024
196	№ 196	пр. р. Дарасунгат	дол., часть	СВ	3,4	3,4	1,3	0,9	3780	3780	4800	4600	АФС 1947 г.	1,0	0,6	0,0400
197*	№ 197	пр. р. Дарасунгат	сл. дол. кар.-дол., часть	СВ	1,4	0,4	0,2	0,1	3780	4120	4240	—	—	0,2	0,1	0,0024
198*	№ 198	пр. р. Дарасунгат	сл. дол. дол., часть	СВ	2,2	0,8	0,7	0,4	3900	4260	4500	—	—	0,7	0,4	0,0158

Сложный долинный ледник № 196—198 имеет наибольшую длину 3,4 км, общую площадь 2,2 км² (в том числе 0,8 км² закрыто мореной) и площадь области абляции 1,9 км²

199	№ 199		вис. кар.	ЮВ	0,7	0,7	0,2	0,2	4500	4500	5100	4900	АФС 1947 г.	0,1	0,1	0,0024	
200*	№ 200	пр. р. Дарасунгат	дол.	СВ	1,7	1,1	0,5	0,2	4040	4100	4500	—	—	0,4	0,1	0,0095	
201*	№ 201	пр. р. Дарасунгат	дол.	В	1,8	0,4	0,5	0,1	3800	4500	4650	—	—	0,5	0,1	0,0095	
202*	№ 202	пр. р. Дарасунгат	кар.	В	0,6	—	0,1	—	4200	—	4400	—	—	0,1	—	0,0009	
		20 ледников															
															18,2	12,1	13,1
																	0,4056

Кроме того, в бассейне р. Дарасунгат имеется 6 ледников размерами менее 0,1 км² каждый, общей площадью 0,40 км²

Итого 26 ледников

18,6

Бассейн р. Дарайрованд (реки Ванч, Пяндж, Амударья)

Западный склон хр. Сунгат, восточный склон его западного отрога

203*	№ 203	Дарайрованд	дол.	С	2,4	1,2	1,0	0,6	3960	4200	5300	4400	АФС 1947 г.	0,7	0,3	0,0270		
	1 ледник																	
																		0,0270

Бассейн р. Дарайлянгар (реки Ванч, Пяндж, Амударья)

Северный склон Ванчского хребта, западный склон хр. Сунгат

204	№ 204	пр. р. Дарайлянгар	вис.	СЗ	1,3	1,3	0,3	0,3	4300	4300	4700	4400	АФС 1947 г.	0,1	0,1	0,0044
205	№ 205	пр. р. Дарайлянгар	вис.	СЗ	1,2	1,2	0,3	0,3	4400	4400	4800	4500	АФС 1947 г.	0,1	0,1	0,0044

№ по схеме	Название	Название реки, вытекающей из ледника	Морфологический тип	Общая экспозиция	Наибольшая длина, км		Площадь, км ²		Высота, м			Фирновая линия		Площадь области абляции, км ²		Объем льда, км ³	Ссылки на последующие таблицы (иллюстрации) № таблиц и иллюстраций порядковые № сведений в таблицах
					всего ледника	в том числе открытой части	всего ледника	в том числе открытой части	нижней точки конца ледника	нижней точки открытой части ледника	высшей точки ледника	высота, м	способ определения и дата	общая	в том числе открытой части		
1	2	3	4	5	6	7	8	9	10	11	12	13	14	15	16	17	18

206*	№ 206	пр. р. Дарайлянггар	дол.	СЗ	3,5	0,8	1,3	0,2	3620	4300	5000	4400	АФС 1947 г.	1,2	0,1	0,0400	
207	№ 207	пр. р. Дарайлянггар	дол.	СЗ	2,3	1,8	0,9	0,6	3840	3940	5000	4450	АФС 1947 г.	0,6	0,3	0,0231	
208*	Лянгар 5 ледников	Дарайлянггар	кар.	С	0,7	0,7	0,2	0,2	4100	4350	4500	4400	АФС 1947 г.	0,1	0,1	0,0024	
							3,0	1,6						2,1		0,0743	

Кроме того, в бассейне р. Дарайлянггар имеется 2 ледника размерами менее 0,1 км² каждый, общей площадью 0,10 км²
Итого 7 ледников 3,1

Бассейн р. Дарайгумаст (реки Ванч, Пяндж, Амударья)

Северный склон Ванчского хребта, западный склон его северного отрога, восточный склон хр. Гуджоваст

209*	Гумаст	Дарайгумаст	дол.	С	2,3	0,6	0,8	0,4	3920	4220	4500	4300	АФС 1947 г.	0,6	0,2	0,0193	
210*	№ 210		кар.-дол.	СЗ	1,6	1,6	0,7	0,7	4140	4140	4500	4350	АФС 1947 г.	0,3	0,3	0,0158	
211	№ 211		кар.	СВ	0,8	0,4	0,2	0,1	4120	4300	4400	4350	АФС 1947 г.	0,2	0,1	0,0024	
212*	№ 212	пр. р. Дарайгумаст	кар.	СВ	0,9	—	0,3	—	4140	—	4360	—	—	0,3	—	0,0044	
	4 ледника						2,0	1,2						1,4		0,0419	

Бассейн р. Дарайгуджоваст (реки Ванч, Пяндж, Амударья)

Северный склон Ванчского хребта, восточный склон его северного отрога, западный склон хр. Гуджоваст

213	№ 213	пр. р. Дарайгуджоваст	дол.	СЗ	1,2	0,4	0,4	0,1	4260	4600	4800	4700	АФС 1947 г.	0,3	—	0,0068	
214*	№ 214	пр. р. Дарайгуджоваст	кар.-дол.	СЗ	1,2	0,6	0,3	0,2	4060	4220	4650	4300	АФС 1947 г.	0,2	0,1	0,0044	
215*	№ 215	пр. р. Дарайгуджоваст	кар.-дол.	СЗ	1,0	0,5	0,2	0,1	3940	4160	4240	—	—	0,2	0,1	0,0024	
216	Гуджоваст	Дарайгуджоваст	сл. дол.	С	3,9	1,3	1,8	0,8	3700	4340	4600	4450	АФС 1947 г.	1,3	0,3	0,0652	
217	№ 217	Дарайгуджоваст	дол., часть сл. дол.	СЗ	2,8	1,2	0,5	0,2	3700	4320	4900	4500	АФС 1947 г.	0,4	0,1	0,0095	
218	№ 218		дол., часть сл. дол.	С	2,2	1,1	0,7	0,5	4040	4320	4900	4450	АФС 1947 г.	0,5	0,3	0,0158	

Сложный долинный ледник Гуджоваст (№ 216—218) имеет наибольшую длину 3,9 км, общую площадь 3,0 км² (в том числе 1,5 км² закрыто мореной) и площадь области абляции 2,2 км²

219*	№ 219 7 ледников		кар.-дол.	СЗ	1,1	0,5	0,3	0,2	4200	4380	4700	4500	АФС 1947 г.	0,2	0,1	0,0044	
							4,2	2,1						3,1		0,1085	

Бассейн р. Дарайравгада (реки Ванч, Пяндж, Амударья)

Восточный и западный склоны северных отрогов Ванчского хребта

220	№ 220	пр. р. Дарайравгада	кар.	СЗ	1,6	0,7	0,7	0,3	4100	4300	4750	4600	АФС 1947 г.	0,5	0,1	0,0158	
221*	Равгада 2 ледника	Дарайравгада	дол.	С	2,8	0,5	0,9	0,2	3900	4250	4600	—	—	0,9	0,2	0,0231	
							1,6	0,5						1,4		0,0389	

Бассейн р. Даранчихох (реки Ванч, Пяндж, Амударья)

Северный склон Ванчского хребта, западный склон его северного отрога, восточный склон хр. Чихох

222*	Чихох	Даранчихох	сл. дол.	С	4,4	1,2	2,2	0,9	3400	4100	5000	4450	АФС 1947 г.	1,7	0,4	0,0881
223*	№ 223		дол.	СЗ	2,4	0,8	0,8	0,3	3800	4200	4600	4400	АФС 1947 г.	0,7	0,2	0,0193
224*	№ 224		дол.	СЗ	2,6	1,5	1,1	0,6	4000	4300	4700	4450	АФС 1947 г.	0,7	0,2	0,0311
225*	№ 225		кар.	З	1,1	0,8	0,4	0,2	4220	4280	4600	4450	АФС 1947 г.	0,2	—	0,0068
226*	№ 226		кар.	В	0,8	0,6	0,2	0,2	4500	4500	4800	4550	АФС 1947 г.	0,1	0,1	0,0024
227	№ 227	пр. р. Даранчихох	дол.	СВ	3,1	2,2	0,8	0,5	3400	3900	5090	4600	АФС 1947 г.	0,6	0,3	0,0193
6 ледников							5,5	2,7						4,0		0,1670

Бассейн р. Дараситварг (реки Ванч, Пяндж, Амударья)

Северный склон Ванчского хребта, западный и восточный склоны его северных отрогов

228*	№ 228	пр. р. Дараситварг	кар.	ЮЗ	1,2	1,2	0,4	0,4	4000	4000	4400	4200	АФС 1947 г.	0,2	0,2	0,0068
229*	№ 229		вис.	ЮЗ	0,7	0,7	0,2	0,2	4600	4600	5000	4700	АФС 1947 г.	—	—	0,0024
230*	№ 230	пр. р. Дараситварг	кар.	З	0,8	0,8	0,3	0,3	4250	4250	4500	4400	АФС 1947 г.	0,1	0,1	0,0044
231*	Ситварг	Дараситварг	кар.-дол.	С	1,9	1,9	0,8	0,8	3940	3940	4800	4200	АФС 1947 г.	0,4	0,4	0,0193
232*	№ 232	пр. р. Дараситварг	кар.	СЗ	1,4	1,4	0,3	0,3	3800	3800	4600	4300	АФС 1947 г.	0,2	0,2	0,0044
233	№ 233	пр. р. Дараситварг	кар.-дол.	СЗ	2,4	1,1	0,6	0,3	3600	4200	4800	4300	АФС 1947 г.	0,4	0,1	0,0125
234	№ 234	пр. р. Дараситварг	вис. кар.	СВ	1,2	1,2	0,3	0,3	3970	3970	4700	4300	АФС 1947 г.	0,1	0,1	0,0044
7 ледников							2,9	2,6						1,4		0,0542

Кроме того, в бассейне р. Дараситварг имеется 1 ледник площадью 0,06 км²

Итого 8 ледников 3,0

Бассейн р. Дарангумаяк (реки Ванч, Пяндж, Амударья)

Северный склон Ванчского хребта

235	№ 235	пр. р. Дарангумаяк	кар.	З	1,2	0,8	0,2	0,1	4200	4300	4600	4500	АФС 1947 г.	0,2	0,1	0,0024
236	№ 236	пр. р. Дарангумаяк	вис. кар.	СЗ	1,5	1,1	0,3	0,2	3500	3850	5000	4400	АФС 1947 г.	0,2	0,1	0,0044
237*	№ 237	Дарангумаяк	дол.	С	3,3	1,7	1,1	0,7	3120	3380	4300	3800	АФС 1947 г.	0,5	0,1	0,0311
238*	№ 238	пр. р. Дарангумаяк	кар.-дол.	СВ	2,0	0,4	0,4	0,2	(3040)	3450	3700	—	—	0,4	0,2	0,0068
4 ледника							2,0	1,2						1,3		0,0447

Кроме того, в бассейне р. Дарангумаяк имеется 3 ледника размерами менее 0,1 км² каждый, общей площадью 0,20 км²

Итого 7 ледников 2,2

Бассейн р. Даранлянггар (реки Ванч, Пяндж, Амударья)

Северный склон Ванчского хребта

239*	№ 239	Даранлянггар	дол.	СЗ	(1,7)	(0,2)	(0,4)	(0,1)	(3300)	(3700)	(4200)	(4150)	АФС 1947 г.	(0,3)	—	(0,0068)
1 ледник							(0,4)	(0,1)						(0,3)		(0,0068)

№ по схеме	Название	Название реки, вытекающей из ледника	Морфологический тип	Общая экспозиция	Наибольшая длина, км		Площадь, км ²		Высота, м			Фирновая линия		Площадь области абляции, км ²			Ссылки на последующие таблицы (иллюстрации) № таблиц и иллюстраций порядковые № сведений в таблицах
					всего ледника	в том числе открытой части	всего ледника	в том числе открытой части	нижней точки конца ледника	нижней точки открытой части ледника	высшей точки ледника	высота, м	способ определения и дата	общая	в том числе открытой части	Объем льда, км ³	
1	2	3	4	5	6	7	8	9	10	11	12	13	14	15	16	17	18

Бассейн р. Обирог (реки Ванч, Пяндж, Амударья)

Северный склон Ванчского хребта

240*	№ 240	Обирог	дол.	СЗ	(3,6)	(3,6)	(0,9)	(0,9)	(3500)	(3500)	(4800)	(4000)	АФС 1947 г.	(0,5)	(0,5)	(0,0231)	
241*	№ 241	пр. р. Обирог	вис.	СЗ	(1,0)	(1,0)	(0,2)	(0,2)	(3770)	(3770)	(4700)	(3850)	АФС 1947 г.	(0,1)	(0,1)	(0,0024)	
242*	№ 242	пр. р. Обирог	вис.	С	(0,7)	(0,7)	(0,2)	(0,2)	(3900)	(3900)	(4740)	—	—	—	—	(0,0024)	
243*	№ 243	пр. р. Обирог	кар.	С	(0,7)	(0,3)	(0,2)	(0,1)	(3400)	(3600)	(3800)	(3750)	АФС 1947 г.	(0,1)	—	(0,0024)	
	4 ледника						(1,5)	(1,4)						(0,7)		(0,0303)	

Всего в бассейнах левых притоков р. Ванча от устья р. Абдукагора до впадения его в р. Пяндж имеется 85 ледников общей площадью 56,6 км²; в том числе 73 ледника размером 0,1 км² и более каждый, общей площадью 55,8 км² (из них 19,4 км² закрыто мореной) и 12 ледников размером менее 0,1 км² каждый, общей площадью 0,8 км²; объем льда 1,8330 км³.

Всего в бассейне р. Ванча 291 ледник общей площадью 353,9 км²; в том числе 243 ледника размером 0,1 км² и более каждый, общей площадью 350,4 км² (из них 65,9 км² закрыто мореной) и 49 ледников размером менее 0,1 км² каждый, общей площадью 3,5 км²; объем льда 23,3365 км³.

Пояснения к таблице I

№ ледника по таблице	Название	№ графы	Пояснение	№ ледника по таблице	Название	№ графы	Пояснение
1	2	3	4	1	2	3	4
1	№ 1	4, 13	На сильно загрязненной поверхности языка следы лавин и отдельные пятна чистого льда. Фирновая линия определена приближенно. Ниже конца языка до высоты 3850 м погребенный лед площадью 0,3 км ²				один — на юго-восточном склоне Дарвазского хребта, на склоне г. Арнавад, второй — плоское плато между тремя вершинами. Сток из этого резервуара осуществляется на север и восток в ледники, расположенные на северном склоне Дарвазского хребта. Линия ледораздела проведена условно. Из этого плато через пропил в гребне хребта крутым ледопадом спускается узкий и длинный язык
2—4	№ 2—4	13	Указана средняя высота границы лавинного питания				Ледник «туркестанского типа». Фирновая область отсутствует, питание лавинное. Ниже конца ледника до высоты 3480 м спускается участок погребенного льда площадью 0,5 км ²
5	№ 5	4, 13 15	Ниже конца ледника участок погребенного льда площадью 0,1 км ² , спускающийся до высоты 3280 м. Указана средняя высота границы лавинного питания. Площадь области абляции менее 0,1 км ²	29	№ 29	4, 15, 16	Расположен в бассейне ледника № 31
6	№ 6	4	Конец ледника до высоты 3640 м окаймлен участком погребенного льда площадью 0,3 км ²	32	№ 32	3	Ледник «туркестанского типа». Фирновая область отсутствует, питание лавинное. Язык находится в стадии омертвления, сильно засыпан мореной, расположен в бассейне ледника № 31
8	№ 8	4	Фирновая область ледника расположена в широком каре, из которого через крутой ледопад спускается узкий ледник и еще два небольших языка, оканчивающиеся на разных высотах	33	№ 33	3, 4, 15, 16	Ледник расположен в длинной узкой долине, меняющей направление с юго-востока на юг и затем на юго-запад
9	№ 9	4	Фирновая область занимает два кара, расположенные один над другим и разделенные крутым уступом. Широкий с круто обрывающимся лбом язык ледника отделен от фирновой области ледопадом	37	Техарв	4, 5	Расположен в бассейне ледника Техарв (№ 37), примыкает к нему, но отделен мореной. Площадь области абляции менее 0,1 км ²
11	№ 11	4	Ниже современного конца языка до высоты 3600 м протягивается участок погребенного льда площадью 0,2 км ²	38	№ 38	3, 15	Ледники расположены в общем каре, прежде сливались, а сейчас ниже концов имеют общий участок погребенного льда площадью 0,6 км ² , спускающийся до высоты 3700 м
12	№ 12	4	На карте показаны два ледника, текущие параллельно друг другу в разных долинах. В действительности это один ледник с двухкамерной областью питания	39—44	№ 39—44	3	Фирновая область отсутствует, питание лавинное
13	Бунай	4	Ледник имеет двухкамерную область питания	42—44	№ 42—44	4	Ледник целиком расположен в области абляции, питание лавинное
14	№ 14	3, 4	Фирновое поле, расположенное в пригребневом понижении в бассейне ледника № 13	44, 45	№ 44, 45	4, 13, 15	Ледники прежде сливались, в настоящее время имеют общий участок погребенного льда площадью 0,5 км ² , спускающийся до высоты 3800 м
15	№ 15	3	Расположен в бассейне ледника № 13	46	№ 46	4, 13, 15	Ледники соприкасаются боковыми частями, ниже концов имеют общую массу погребенного льда площадью 0,3 км ² , спускающаяся до высоты 3850 м
16	№ 16	4	Образован в результате слияния двух долинных ледников примерно равной площади. Питание преимущественно лавинное. Лавинные конусы прослеживаются вдоль всего ледникового языка	47—49	№ 47—49	4	Ниже конца ледника расположен участок погребенного льда площадью 0,1 км ² , спускающийся до высоты 4100 м
18	№ 18	4	Очень узкий и длинный язык и узкая область питания	50, 51	№ 50, 51	4	Площадь области абляции менее 0,1 км ² . Ниже конца ледника расположен участок погребенного льда площадью 0,1 км ² , спускающийся до высоты 3900 м
19	Потов	4	Ниже языка до высоты 3800 м находится участок погребенного льда площадью 0,1 км ²	51	№ 51	4	Ниже конца ледника имеется участок погребенного льда площадью 0,1 км ² , спускающийся до высоты 4100 м
25	№ 25	13	Покрытый мореной ледник полностью расположен в области абляции	52	№ 52	4	Ниже конца ледника имеется участок погребенного льда площадью 0,2 км ² , спускающийся до высоты 4180 м
26	№ 26	4	Питание асимметричное, лавинами со склона северо-восточной экспозиции. Ниже конца ледника до высоты 3500 м расположен участок погребенного льда площадью 0,2 км ² , еще ниже, до высоты около 3000 м, имеется древняя морена. И мертвый лед, и морена на карте показаны ледником	53	№ 53	4, 15, 16	
27	Сед	4	Область питания ледника располагается в двух резервуарах:	54	№ 54	4	
				55	№ 55	4	

Пояснения к таблице 1

№ ледника по таблице	Название	№ графы	Пояснение	№ ледника по таблице	Название	№ графы	Пояснение
1	2	3	4	1	2	3	4
56	№ 56	4, 15	Фирновое поле с отдельными пятнами льда	88	№ 88	3	Расположен в бассейне ледника № 87
57	№ 57	4, 15	Площадь области абляции менее 0,1 км ² . Ниже конца языка расположен участок погребенного льда площадью 0,1 км ² , спускающийся до высоты 4280 м	89, 90, 93	№ 89, 90, 93	4	Ледники № 89 и 90 соприкасаются нижними частями языков. Ледник № 90 имеет общий фирновый бассейн с ледником № 93, расположенным на склоне горы с отметкой 5430 м
58	№ 58	4	Ниже конца языка расположен участок погребенного льда площадью 0,1 км ² , спускающийся до высоты 4200 м	91, 92	№ 91, 92	4	Ниже концов ледников расположен участок погребенного льда площадью 0,5 км ² , спускающийся до высоты 3900 м
59	№ 59	15, 16	Площадь области абляции менее 0,1 км ²	93	№ 93	4	Ниже конца ледника имеется участок погребенного льда площадью 0,1 км ² , спускающийся до высоты 3700 м
63	№ 63	4, 15, 16	Ниже конца языка расположен участок погребенного льда площадью 0,1 км ² , спускающийся до высоты 4150 м. Площадь области абляции менее 0,1 км ²	94	№ 94	3, 4	Ледник расположен в бассейне ледника № 93, его язык примыкает к леднику № 93, но не сливается с ним
64	№ 64	4	По краям и ниже языка расположен участок погребенного льда площадью 0,3 км ² , спускающийся до высоты 3980 м	95	№ 95	4, 15, 16	Ледник полностью расположен в области абляции. В бассейне ледника находится участок погребенного льда площадью 0,3 км ² , спускающийся до высоты 4100 м
65	№ 65	15, 16	Площадь области абляции менее 0,1 км ²	96, 97	Географического общества	4, 13	Два крупных потока, формирующих основной ствол дендритового ледника Географического общества, имеют многокамерные области питания, расположенные в обширных фирновых мульдах у основания пиков Гармо и Ком. Академии. Высота фирновой линии колеблется от 4050—4100 м на склонах северной и северо-восточной экспозиций до 4300 м на склонах южной экспозиции. Нижняя часть языка ледника полностью закрыта мореной, и лишь в 6 км от его конца появляется узкая полоска чистого льда
65—67	№ 65—67	4	На карте эти ледники и их общая древняя морена показаны одним сложным долинным ледником				Фирновая область ледника Кашал-Аяк плавно переходит в фирновую область ледника Федченко, имея перевальную седловину на высоте 4330 м
67	№ 67	15, 16	Площадь области абляции менее 0,1 км ²	100	Комсомолец	3, 4, 13	Имеет четырехкамерную область питания. Фирновая линия повышается от 4500 м на склонах северо-восточной экспозиции до 4700 м на склонах восточной и юго-восточной экспозиции. Расположен в бассейне ледника № 96
68—71	№ 68—71	13	Указана средняя высота границы лавинного питания	102—105	№ 102—105	3	Расположены в бассейне ледника № 100
69	№ 69	15, 16	Площадь области абляции менее 0,1 км ²	106	№ 106	3	Расположен в бассейне ледника № 101
69, 70	№ 69, 70	4	Ледники расположены в одном каре. Ниже ледника № 70 имеется участок погребенного льда площадью 0,2 км ² , спускающийся до высоты 4000 м	107, 108	№ 107, 108	3, 13	Расположены в бассейне ледника № 96. Указаны средние высоты границы лавинного питания
71	№ 71	4	Ниже конца ледника расположен участок погребенного льда площадью 0,2 км ² , спускающийся до высоты 4000 м	109	Красноармейский	3, 4	Ледник имеет двухкамерную область питания и пологий сильно заморенный язык. Расположен в бассейне ледника № 97 и в настоящее время с ним не соединяется
73, 74	№ 73, 74	4, 13	Ледники занимают вторичные кары в одном большом цирке, прежде полностью заполненном льдом. Питание преимущественно лавинное со склона северной экспозиции	110—112	№ 110—112	3	Ледники расположены в бассейне ледника № 109
75	№ 75	13	В питании значительна роль лавин со склонов северной и северо-восточной экспозиций	111	№ 111	4	Очень крутой, разбитый трещинами ледниковый язык в концевой части раздваивается
77	№ 77	4	Язык ледника примыкает к леднику № 76, но не сливается с ним, а отделен боковой мореной	112	№ 112	4	Конец ледника раздваивается
78	№ 78	4	Питание ледника асимметричное со склона северной экспозиции, и лишь небольшой участок фирна расположен на склоне юго-восточной экспозиции	113	№ 113	3	Расположен в бассейне ледника № 97
79	№ 79	4	Ниже ледника до высоты 4100 м спускается участок погребенного льда площадью 0,2 км ²				
81	№ 81	15, 16	Площадь области абляции менее 0,1 км ²				
82, 83	№ 82, 83	4	Языки ледников соприкасаются боковыми частями				
86	№ 86	4	Ниже конца языка расположен участок погребенного льда площадью 0,1 км ² , спускающийся до высоты 3960 м				
87	№ 87	4	По краям и ниже языка имеются участки погребенного льда площадью 0,3 км ² , спускающиеся до высоты 3900 м				

Пояснения к таблице I

№ ледника по таблице	Название	№ графы	Пояснение	№ ледника по таблице	Название	№ графы	Пояснение
1	2	3	4	1	2	3	4
114	№ 114	4	Питание ледника асимметричное со склона северной экспозиции	140, 141	Мраморный, № 141	4	Ниже концов ледников расположен участок погребенного льда площадью 0,3 км ² , спускающийся до высоты 3490 м
117	№ 117	4	Ниже ледника до высоты 3900 м спускается участок погребенного льда площадью 0,4 км ²	142	№ 142	4, 10, 11	Ледник «туркестанского типа», питание лавинное, язык засыпан мореной
118	Медвежий (№ 8)	4, 10	Ледник относится к пласту пульсирующих ледников (см. текст). В 1968 г. его конец находился на высоте 2900 м, к 1972 г. нижние 1,4 км ² были отрезаны р. Абдукагором и превратились в участок погребенного льда. При продвижении 1973 г. активный язык спустился до высоты 2880 м	144	№ 144	4	Плоский заморенный язык окружен высокими боковыми и конечной моренами
119	№ 119	4	Область питания ледника — фирновые поля, висящие на крутых склонах цирка, частично соединяющиеся с языком ледника, а частично питающие его обвалами	145	Долженко	4	Ниже конца языка расположен участок погребенного льда площадью 0,5 км ² , спускающийся до высоты 4100 м
120, 121, 122	№ 120, 121, 122	3, 13—16, 4	Крупные фирновые поля, расположены в бассейне ледника № 118	146	№ 146	4	Ниже конца языка расположен участок погребенного льда площадью 0,5 км ² , спускающийся до высоты 4220 м
123, 125, 126	Абдукагорский, Каскадный, Обвалов	4, 6—9, 15, 16	Правый поток дендритового ледника Абдукагорского (№ 123) имеет многокамерную область питания и в верховьях перевал в фирновую область ледника Федченко на высоте 5072 м. Эта ветвь ледника сравнительно чистая, в то время как левая ветвь, образующаяся от слияния двух ледников — Каскадного (№ 125) и Обвалов (№ 126), грязная почти на всем протяжении языка. Ниже конца языка расположены участки погребенного льда площадью 1,0 км ² , спускающиеся до 3350 м	147	Правый Дустироз	3, 4, 13	Ледник долинный, близкий к котловинному, с асимметричным питанием со склона северной экспозиции. Высота границы питания повышается с запада на восток с 4600 до 4800 м. Ниже конца ледника расположены участки погребенного льда площадью 2,1 км ² , спускающиеся до высоты 3820 м
				148	№ 148	3, 4	Расположен в бассейне ледника № 147, ниже конца языка имеется участок погребенного льда площадью 0,3 км ² , спускающийся до высоты 4300 м
				149—152	№ 149—152	3	Вливаются в погребенный лед, окаймляющий язык ледника № 147
				153	№ 153	3	Расположен в бассейне ледника № 152
				154	№ 154	4, 10, 11	Ледник «туркестанского типа» с лавинным питанием и сильно загрязненным языком, который выползает в долину р. Правого Дустироза и частично перегораживает ее
124	Клин	4	Фирновая область ледника расположена в каре, из которого широкий язык спускается до ледника № 123 и, не сливаясь с ним, течет параллельно, резко отличаться языком, закрытым толстым слоем морены. Из того же фирнового поля вытекают два небольших языка, которые оканчиваются на разных высотах	155	№ 155	4	Из фирновой области ледник спускается крутым ледопадом, и узкая полоска чистого льда доходит почти до конца широкого грязного языка, который большой лопастью выходит в долину р. Левого Дустироза. У левого края имеет боковой кар, дающий дополнительное питание
128	Шумный	3, 4	Ледник имеет двухкамерную область питания. Ниже конца расположен участок погребенного льда площадью 0,3 км ² , спускающийся до высоты 4000 м. Расположен в бассейне ледника № 123	156	Левый Дустироз	4	Область питания ледника состоит из пяти камер
129—131	№ 129—131	3	Расположены в бассейне ледника № 128	158—160	№ 158—160	3, 4	Расположены в бассейне ледника № 156. Ниже концов ледников находится участок погребенного льда площадью 0,6 км ² , спускающийся до высоты 4000 м
132—135	№ 132—135	3	Расположены в бассейне ледника № 123	161	№ 161	3, 4	Расположен в бассейне ледника № 156, ниже языка имеется участок погребенного льда площадью 0,2 км ² , спускающийся до высоты 4000 м
133	№ 133	13—16	Ледник полностью расположен в области аккумуляции	162	№ 162	4	Ниже конца языка расположен участок погребенного льда площадью 0,5 км ² , спускающийся до высоты 3950 м
134	№ 134	3	Ледник расположен в бассейне ледника № 133, питает его обвалами льда и фирна	163	Южный	4	Ледник имеет с левого борта приток площадью менее 0,1 км ²
135	№ 135	15, 16	Площадь области абляции менее 0,1 км ²	164, 165	Северный, № 165	4	Ниже концов ледников расположен участок погребенного льда площадью 0,5 км ² , спускающийся до высоты 4160 м
136	Скрытый	3, 4	Расположен в бассейне ледника № 126, образуется в результате слияния двух потоков				
137	№ 137	3	Расположен в бассейне ледника № 136				
138	№ 138	4, 10, 11	Ледник «туркестанского типа», питание лавинное, язык сильно засыпан мореной				

Пояснения к таблице 1

№ ледника по таблице	Название	№ графы	Пояснение	№ ледника по таблице	Название	№ графы	Пояснение
1	2	3	4	1	2	3	4
167	№ 167	4	На снимках 1968 г. язык ледника чистый, сильно разбит трещинами, спускается на 100 м дальше, чем на снимке 1947 г., где он ровный и грязный. Возможно, за период между съемками произошло наступание ледника	195	№ 195	3	нии ледника принадлежит лавинам со склона северной экспозиции
169	№ 169	4	Питание преимущественно лавинное со склона северной экспозиции. Ниже конца ледника расположен участок погребенного льда площадью 0,4 км ² , спускающийся до высоты 3400 м	197, 198, 200—202	№ 197, № 198, 200—202	4, 15, 16	Расположен в бассейне ледника № 194
171	Равак	4	Происходят периодические отрывы конца языка и выбросы массы льда в долину р. Ванча. Последний выброс имел место в 1967 г., когда масса снега, льда и камней объемом около 5 млн. м ³ перегородила долину р. Ванча, на несколько часов запрудив реку	200	№ 200	4	Ледники «туркестанского типа» без фирновых бассейнов с лавинным питанием и засыпанными мореной языками
172	№ 172	4	Питание преимущественно лавинное. Ниже конца ледника лежит участок погребенного льда площадью 0,3 км ² , спускающийся до высоты 3900 м	203	№ 203	4, 8	Ниже конца языка расположен участок погребенного льда площадью 0,5 км ² , спускающийся до высоты 3800 м
173	№ 173	4	Ледник имеет двухкамерную область питания	206	№ 206	4	Питание ледника происходит со склонов цирка, на которых располагается несколько участков фирна. Их площадь включена в площадь ледника. Ниже длинного грязного языка расположен участок погребенного льда площадью 0,2 км ² , спускающийся до высоты 3720 м
176, 178	Шаугадо	4, 6	На карте ледник показан на 4 км длиннее, чем на аэрофотоснимках 1968 г. Погребенного льда ниже конца языка нет. Видимо, это ошибка составления, так как на аэрофотоснимке 1947 г., по которому составлялась карта, он оканчивается там же, где и в 1968 г.	208	Лянгар	4	Большую роль в питании ледника играют лавины со склона северной экспозиции. Вдоль правого борта тянется участок погребенного льда площадью 0,2 км ²
179	№ 179	3, 4	Ледник расположен в бассейне ледника № 176, ниже его конца имеется участок погребенного льда площадью 0,3 км ² , спускающийся до ледника № 176	209	Гумаст	4	Ниже современного конца ледника имеется участок погребенного льда площадью 0,3 км ² , спускающийся до высоты 3700 м
180, 181	№ 180, 181	3	Расположены в бассейне ледника № 178	210	№ 210	4	Конец языка окаймлен участками погребенного льда площадью 0,4 км ² , спускающимися до высоты 3880 м
185	Сунгат правый	2, 10, 11	Условно назван Сунгат правый. Питание асимметричное со склона северной экспозиции. С левого борта к леднику примыкают два язычка ледника площадью менее 0,1 км ² каждый, с которых происходят обвалы льда на поверхность ледникового языка, покрытую мореной. Их площадь включена в общую площадь ледника. Ниже конца языка находится участок погребенного льда площадью 1,2 км ² , спускающийся до высоты 3670 м	212	№ 212	4, 9	Ниже конца ледника расположен участок погребенного льда площадью 0,1 км ² , спускающийся до высоты 4160 м
186—191	№ 186—191	3, 4	Расположены в бассейне ледника № 185. Ниже концов ледников до высот 4100—4400 м имеются участки погребенного льда и морен общей площадью 3,3 км ²	214	№ 214	4	Ледник «туркестанского типа» с лавинным питанием и засыпанным мореной языком
187	№ 187	13	Полностью расположен в области абляции	215	№ 215	13	Ниже конца языка расположен участок погребенного льда площадью 0,2 км ² , спускающийся до высоты 3800 м
185, 192—194	Сунгат правый, № 192—194	4	На карте эти ледники показаны одним сложным долинным ледником Сунгат. На снимках 1947 и 1968 гг. все ледники самостоятельны	219	№ 219	3, 4, 8	Полностью расположен в области абляции
192	№ 192	13	Полностью расположен в области абляции	221	Равгада	4, 13	Расположен в бассейне ледника № 217. На склоне северо-западной экспозиции находится фирновое поле, не соединяющееся с ледником, но питающее его обвалами. Его площадь включена в общую площадь ледника
194	Сунгат левый	2, 4	Условно назван ледником Сунгат левый. Большая роль в питании	222	Чихох	2	Ледник «туркестанского типа», питание лавинное, язык сильно заморенен, ниже его конца расположен участок погребенного льда площадью 0,3 км ² , спускающийся до высоты 3600 м
				223, 224, 225	№ 223—225	4	На карте название ледника Чихох принадлежит леднику № 223. На самом деле ледником Чихох следует считать ледник № 222, который имеет большую площадь и ниже кончается. Из него вытекает р. Дарачихох
				226	№ 226	3	Ледники в прошлом сливались, образуя один сложный долинный ледник
				225	№ 225	3	Расположены в бассейне ледника № 222
							Расположен в бассейне ледника № 224

Пояснения к таблице I

№ ледника по таблице	Название	№ графы	Пояснение	№ ледника по таблице	Название	№ графы	Пояснение
1	2	3	4	1	2	3	4
228, 230, 231	№ 228, 230, Ситварг	4	Ледники имеют ниже своих концов участки погребенного льда, площадью 0,4 км ² у ледника № 228, 0,3 км ² у ледника № 230 и 0,3 км ² у ледника № 231, спускающиеся до высоты 3600 м. Ниже этих участков до высоты 2800 м спускается древняя морена. Эти ледники с участками погребенных льдов и древней морены на карте показаны сложным долинным ледником Ситварг	237	№ 237	13	площадью 0,2 км ² , спускающийся до высоты 3900 м
				238	№ 238	4, 15	Указана средняя высота границы лавинного питания
				239—243	№ 239—243	4	Питание лавинное, фирновая область отсутствует. Конец языка, возможно, омертвел, но определить, где кончается живой язык, не представляется возможным
229	№ 229	3, 15		Расположен в бассейне ледника № 228, площадь области абляции менее 0,1 км ²			
232	№ 232	4	Ниже конца ледника расположен участок погребенного льда	242	№ 242	15	Целиком расположен в области аккумуляции

ОСНОВНЫЕ СВЕДЕНИЯ О ЛЕДНИКАХ БАСЕЙНА Р. ЯЗГУЛЕМА

№ по схеме	Название	Название реки, вытекающей из ледника	Морфологический тип	Общая экспозиция	Наибольшая длина, км		Площадь, км ²		Высота, м			Фирновая линия		Площадь области абляции, км ²		Объем льда, км ³	Ссылки на последующие таблицы (иллюстрации) № таблиц и иллюстраций порядковые № сведений в таблицах
					всего ледника	в том числе открытой части	всего ледника	в том числе открытой части	нижней точки конца ледника	нижней точки открытой части ледника	высшей точки ледника	высота, м	способ определения и дата	общая	в том числе открытой части		
1	2	3	4	5	6	7	8	9	10	11	12	13	14	15	16	17	18

БАСЕЙНЫ ПРАВЫХ ПРИТОКОВ Р. ЯЗГУЛЕМА

Бассейн р. Ахи (реки Язгулем, Пяндж, Амударья)

Южный склон Ванчского хребта, северо-восточный склон его южного отрога

1	№ 1	пр. р. Ахи	вис. кар.	СВ, С	1,5	1,5	0,5	0,5	4000	4000	4750	4100	АФС 1958 г.	0,1	0,1	0,0095
2*	№ 2	Ахи	кар.	СВ	1,3	1,0	1,0	0,9	3820	3940	4400	4050	АФС 1958 г.	0,3	0,2	0,0270
3*	№ 3	пр. р. Ахи	кар.-дол.	В	0,9	0,6	0,2	0,2	3890	3980	4300	4050	АФС 1958 г.	0,1	0,1	0,0024
3 ледника							1,7	1,6						0,5		0,0389

БАСЕЙНЫ ПРАВЫХ БЕЗЫМЯННЫХ ПРИТОКОВ Р. ЯЗГУЛЕМА МЕЖДУ УСТЬЯМИ РЕК АХИ И ДАРАИБОСИД

(реки Язгулем, Пяндж, Амударья)

Южный склон Ванчского хребта и его южного отрога

4	№ 4	пр. р. Язгулема	кар.	СВ	0,9	0,9	0,2	0,2	3900	3900	4500	4100	АФС 1958 г.	0,1	0,1	0,0024
5	№ 5	пр. р. Язгулема	кар.	В	1,0	0,5	0,5	0,2	4000	4200	4500	4200	АФС 1958 г.	0,3	—	0,0095
6*	№ 6	пр. р. Язгулема	дол.	З	2,4	0,6	0,6	0,2	3400	4200	4400	4200	АФС 1958 г.	0,4	—	0,0125
7*	№ 7	пр. р. Язгулема	вис. кар.	ЮВ	1,2	0,6	0,7	0,4	3900	4100	4600	4200	АФС 1958 г.	0,4	0,1	0,0158
8	№ 8	пр. р. Язгулема	вис. кар.	ЮВ	1,0	0,4	0,4	0,1	3500	4000	4100	4000	АФС 1958 г.	0,3	—	0,0068
9*	№ 9	пр. р. Язгулема	кар.-дол.	В	1,8	1,8	1,0	0,7	3800	3800	4400	3900— 4000	АФС 1958 г.	0,5	0,2	0,0270
6 ледников							3,4	1,8						2,0		0,0740

Бассейн р. Дарайбосид (реки Язгулем, Пяндж, Амударья)

Южный склон Ванчского хребта

10	№ 10	Дарайбосид	дол.	СВ	4,6	3,2	2,1	1,6	3260	3740	4900	4000	АФС 1947 г.	0,8	0,3	0,0822
11*	№ 11	пр. р. Дарайбосид	кар.-дол.	Ю	1,0	1,0	0,3	0,2	3940	3940	4500	4200	АФС 1947 г.	0,2	0,1	0,0044
2 ледника							2,4	1,8						0,1		0,0866

Кроме того, в бассейне р. Дарайбосид имеется 3 ледника размером менее 0,1 км² каждый, общей площадью 0,22 км²

Итого 5 ледников

2,6

Бассейн р. Дарайпетруз (реки Язгулем, Пяндж, Амударья)

Юго-восточный склон Ванчского хребта, северо-западный склон его южного отрога

12	№ 12	пр. р. Дарайпетруз	вис. кар.	В	1,2	0,7	0,2	0,2	3900	4100	4550	4300	АФС 1947 г.	0,1	0,1	0,0024
13	№ 13	пр. р. Дарайпетруз	вис. дол.	СВ	1,4	1,0	0,4	0,3	4000	4100	4700	4300	АФС 1947 г.	0,2	0,1	0,0068
14	№ 14		вис. кар.	В	0,6	0,6	0,1	0,1	4300	4300	4600	4400	АФС 1947 г.	—	—	0,0009
15*	№ 15	пр. р. Дарайпетруз	кар.-дол.	Ю	1,4	0,3	0,7	0,2	3920	4400	4600	4400	АФС 1947 г.	0,5	—	0,0158
16*	№ 16	пр. р. Дарайпетруз	кар.	ЮВ, Ю	2,2	2,2	1,4	1,4	4200	4200	4600	4400	АФС 1947 г.	0,4	0,4	0,0147
17*	№ 17	пр. р. Дарайпетруз	кар.	В	0,4	0,4	0,2	0,2	4100	4100	4400	4200	АФС 1947 г.	0,1	0,1	0,0024

18*	№ 18	пр. р. Дарайпет- руз	кар.-дол.	ЮВ	2,6	2,6	1,4	1,4	4060	4060	4800	4250	АФС 1947 г.	0,6	0,6	0,0447
19*	Петруз	Дарайпетруз	дол.	ЮЗ	3,6	2,0	0,8	0,5	3860	4080	5100	4200	АФС 1947 г.	0,4	0,1	0,0193
20*	№ 20	Дарайпетруз	дол.	ЮЗ	2,9	2,3	0,6	0,5	3880	3960	4600	4200	АФС 1947 г.	0,3	0,2	0,0125
21*	№ 21		кар.	Ю	0,4	0,4	0,1	0,1	4260	4260	4550	4300	АФС 1947 г.	—	—	0,0009
22	№ 22	пр. р. Дарайпет- руз	вис.	СЗ	0,8	0,6	0,2	0,1	3900	4000	4300	4100	АФС 1947 г.	0,1	—	0,0024
23	№ 23	пр. р. Дарайпет- руз	вис. кар.	С	0,6	0,6	0,2	0,1	3760	3800	3950	3900	АФС 1947 г.	0,1	—	0,0024
12 ледников					6,3				5,1				2,8		0,1552	

Кроме того, в бассейне р. Дарайпетруз имеется 2 ледника размером менее 0,1 км² каждый, общей площадью 0,12 км²

Итого 14 ледников 6,4

В бассейне правого безымянного притока р. Язгулема между устьями рек Дарайпетруз и Дарайбудабн имеется 1 ледник площадью 0,08 км²

Итого 1 ледник 0,1

Бассейн р. Дарайбудабн (реки Язгулем, Пяндж, Амударья)

Южные склоны южных отрогов Ванчского хребта

24*	№ 24	пр. р. Дарайбу- дабн	кар.-дол.	В	1,2	0,8	0,3	0,2	3800	3950	4300	4100	АФС 1947 г.	0,2	0,1	0,0044
25*	№ 25	пр. р. Дарайбу- дабн	кар.	ЮВ	0,9	0,9	0,2	0,1	4300	4400	4600	4500	АФС 1947 г.	0,1	—	0,0024
26*	№ 26	Дарайбудабн	кар.	Ю	0,7	0,2	0,3	0,1	4300	4540	4700	4540	АФС 1947 г.	0,2	—	0,0044
3 ледника					0,8								0,5		0,0112	

Кроме того, в бассейне р. Дарайбудабн имеется 1 ледник площадью 0,07 км²

Итого 4 ледника 0,9

Бассейн р. Яйси (реки Язгулем, Пяндж, Амударья)

Южные склоны южных отрогов Ванчского хребта

27*	№ 27	пр. р. Яйси	асим. дол.	В	(2,4)	(1,6)	(0,8)	(0,3)	(3800)	(3900)	(4500)	(3900— 4000)	АФС 1947 г.	(0,5)	—	(0,0193)
28*	№ 28	пр. р. Яйси	асим. дол.	В	(2,8)	(2,4)	(0,9)	(0,7)	(4000)	(4080)	(4700)	(4200— 4350)	АФС 1947 г.	(0,4)	(0,2)	(0,0231)
29*	№ 29	Яйси	кар.-дол.	ЮВ	(1,4)	(1,0)	(0,4)	(0,3)	(4220)	(4340)	(4700)	(4380— 4440)	АФС 1947 г.	(0,2)	(0,1)	(0,0068)
3 ледника					(2,1)				(1,3)				(1,1)		(0,0492)	

Кроме того, в бассейне р. Яйси имеется 2 ледника размером менее 0,1 км² каждый, общей площадью 0,17 км²

Итого 5 ледников 2,3

Бассейн р. Дарайгуджовасай (реки Язгулем, Пяндж, Амударья)

Юго-Восточный склон Ванчского хребта, западный склон хр. Гуджоваси

30*	№ 30	пр. р. Дарайгуд- жовасай	вис.	ЮВ	0,8	0,8	0,2	0,2	4300	4300	4700	4400	АФС 1947 г.	—	—	0,0193
31*	№ 31	пр. р. Дарайгуд- жовасай	дол.	В, СВ	5,1	4,2	4,5	3,2	3800	4020	5000	4350	АФС 1947 г.	1,9	0,6	0,2577
32*	№ 32		вис. дол.	СЗ	2,1	1,9	0,8	0,7	3860	3900	4840	4100	АФС 1947 г.	0,2	0,1	0,0193
33*	№ 33		дол.	СЗ	2,2	1,6	0,9	0,7	3840	4000	4930	4400	АФС 1947 г.	0,4	0,2	0,0231
34*	№ 34		кар.	Ю	0,8	0,4	0,3	0,3	4280	4450	4650	4450	АФС 1947 г.	0,1	0,1	0,0044
35*	№ 35		кар.	ЮВ	0,7	0,4	0,2	0,1	4300	4450	4800	4450	АФС 1947 г.	0,1	—	0,0024
36	№ 36	пр. р. Дарайгуд- жовасай	кар.	ЮВ	1,0	0,6	0,2	0,1	4100	4200	4500	4300	АФС 1947 г.	0,1	—	0,0024
37*	№ 37	пр. р. Дарайгуд- жовасай	кар.	ЮВ	1,4	0,3	0,4	0,3	4250	4300	4700	4300— 4400	АФС 1947 г.	0,2	0,1	0,0068

№ по схеме	Название	Название реки, вытекающей из ледника	Морфологический тип	Общая экспозиция	Наибольшая длина, км		Площадь, км ²		Высота, м			Фирновая линия		Площадь области абляции, км ²		Объем льда, км ³	Ссылки на последующие таблицы (иллюстрации) № таблиц и иллюстраций порядковые № сведений в таблицах
					всего ледника	в том числе открытой части	всего ледника	в том числе открытой части	нижней точки конца ледника	нижней точки открытой части ледника	высшей точки ледника	высота, м	способ определения и дата	общая	в том числе открытой части		
1	2	3	4	5	6	7	8	9	10	11	12	13	14	15	16	17	18

38*	Гуджоваси	Дарангуджовасай	дол.	З	3,8	3,8	1,3	1,3	4250	4250	5000	4400— 4600	АФС 1947 г.	0,4	0,4	0,0400	
39*	№ 39	пр. р. Дарангуджовасай	кар.-дол.	СЗ	1,4	1,4	0,8	0,8	4200	4200	4910	4400	АФС 1947 г.	0,2	0,2	0,0193	
	10 ледников						9,6	7,7						3,6		0,3947	

Кроме того, в бассейне р. Дарангуджовасай имеется 2 ледника размером менее 0,1 км² каждый, общей площадью 0,15 км²

Итого 12 ледников 9,8

Бассейн р. Даранбарнонадж (реки Язгулем, Пяндж, Амударья)

Южный склон Ванчского хребта

40*	№ 40	Даранбарнонадж	дол.	СВ, ЮВ	3,1	3,1	1,3	1,2	4100	4100	5000	4500	АФС 1947 г.	0,5	0,4	0,0400	
41*	№ 41	пр. р. Даранбарнонадж	кар.	З	0,7	0,7	0,2	0,2	4150	4150	4400	4250	АФС 1947 г.	0,1	0,1	0,0024	
42*	№ 42	пр. р. Даранбарнонадж	дол.	Ю	1,2	0,2	0,4	0,1	4300	4500	4600	4500	АФС 1947 г.	0,3	—	0,0068	
43*	№ 43	пр. р. Даранбарнонадж	дол.	Ю	1,3	0,2	0,5	0,1	4200	4400	4500	4400	АФС 1947 г.	0,4	—	0,0095	
	4 ледника						2,4	1,6						1,3		0,0587	

Кроме того, в бассейне р. Даранбарнонадж имеется 2 ледника размером менее 0,1 км² каждый, общей площадью 0,17 км²

Итого 6 ледников 2,6

Всего в бассейнах правых притоков р. Язгулема имеется 56 ледников общей площадью 29,8 км², в том числе 43 ледника размером 0,1 км² и более каждый, общей площадью 28,7 км² (из них 7,4 км² закрыто мореной) и 13 ледников размером менее 0,1 км² каждый, общей площадью 1,1 км².

БАССЕЙНЫ РЕК МАЗАРДАРА И РАКЗООУ

Бассейн р. Шабук (реки Мазардара, Язгулем, Пяндж, Амударья)

Южный склон Ванчского хребта, северо-восточный склон его южного отрога

44*	№ 44	пр. р. Шабук	вис. кар.	СВ	1,2	0,7	0,2	0,1	3840	4100	4500	4150	АФС 1968 г.	0,1	—	0,0094	
45	№ 45	пр. р. Шабук	кар.	СВ	0,6	0,2	0,1	—	3900	4100	4200	4150	АФС 1968 г.	0,1	—	0,0009	
46	№ 46	пр. р. Шабук	кар.	СВ	0,9	0,9	0,3	0,3	4040	4040	4790	4600	АФС 1968 г.	0,2	0,2	0,0044	
47*	№ 47	пр. р. Шабук	вис.	С	0,3	0,3	0,1	0,1	4100	4100	4300	—	—	0,1	0,1	0,0009	
48*	№ 48	пр. р. Шабук	дол.	ЮВ	2,3	2,0	1,3	1,2	3880	4000	4900	4500— 4600	АФС 1968 г.	0,7	0,6	0,0400	
49*	№ 49	Шабук	сл. дол.	ЮВ	2,2	2,0	1,0	1,0	4000	4100	4650	4450	АФС 1968 г.	0,5	0,5	0,0270	
50*	№ 50	Шабук	дол., часть сл. дол.	ЮЗ, ЮВ	2,0	1,3	0,5	0,5	4100	4200	4600	4400	АФС 1968 г.	0,2	0,2	0,0095	

Сложный долинный ледник № 49, 50 имеет наибольшую длину 2,2 км, общую площадь 1,5 км² (в том числе 0,1 км² закрыто мореной) и площадь области абляции 0,7 км²

51*	№ 51	пр. р. Шабук	кар.	Ю	1,2	0,8	0,5	0,3	4400	4600	4900	4750	АФС 1968 г.	0,3	0,1	0,0095	
52*	№ 52	пр. р. Шабук	кар.-дол.	З, ЮЗ	1,4	1,0	0,5	0,4	4200	4300	4700	4450	АФС 1968 г.	0,2	0,1	0,0095	

53	№ 53	пр. р. Шабук	вис. кар.	ЮЗ, Ю	1,2	1,2	0,4	0,4	4500	4500	4700	4650	АФС 1968 г.	0,2	0,2	0,0068
54	№ 54	пр. р. Шабук	кар.	ЮЗ	0,7	0,2	0,1	0,1	4500	4600	4650	4600	АФС 1968 г.	0,1	0,1	0,0009
55	№ 55	пр. р. Шабук	дол.	ЮЗ	2,6	2,6	1,1	1,1	4400	4400	5000	4700	АФС 1968 г.	0,6	0,6	0,0311
56	№ 56	пр. р. Шабук	дол.	З	2,5	2,3	0,9	0,9	4520	4560	5100	4700	АФС 1968 г.	0,4	0,4	0,0231
57	№ 57	пр. р. Шабук	кар.-дол.	З	0,8	0,6	0,2	0,2	4500	4540	4880	4650	АФС 1968 г.	0,1	0,1	0,0024
14 ледников							7,2	6,6						3,8		0,1684

Бассейн верховьев р. Мазардара (реки Язгулем, Пяндж, Амударья)

Южный склон Ванчского хребта, западные склоны хр. Академии наук и Язгулемского хребта, северо-западный склон западного отрога Язгулемского хребта

58	№ 58	пр. р. Мазардара	дол.	Ю	2,2	2,0	0,7	0,7	4000	4100	4900	4600	АФС 1968 г.	0,3	0,3	0,0158
59	№ 59	пр. р. Мазардара	кар.-дол.	Ю	1,4	1,4	0,5	0,5	4200	4200	4900	4550	АФС 1968 г.	0,2	0,2	0,0095
60*	№ 60	пр. р. Мазардара	кар.	ЮВ	1,0	0,5	0,4	0,3	4300	4500	4750	4600	АФС 1968 г.	0,3	0,2	0,0068
61	№ 61	пр. р. Мазардара	кар.	Ю	0,9	0,7	0,3	0,2	4200	4350	4750	4600	АФС 1968 г.	0,2	0,1	0,0044
62*	Язгулемский	Мазардара	сл. дол.	СЗ З	19,5	17,5	24,3	19,7	3600	3700	6250	4600	АФС 1968 г.	9,3	4,7	3,2342
63*	№ 63		дол., часть сл. дол.	ЮЗ	2,5	1,8	1,2	1,0	4300	4400	5670	4550	АФС 1968 г.	0,6	0,4	0,0355

Сложный долинный ледник Язгулемский (№ 62, 63) имеет наибольшую длину 19,5 км, общую площадь 25,5 км² (в том числе 4,8 км² закрыто мореной) и площадь области абляции 9,9 км²

64*	№ 64		кар.-дол.	Ю	1,4	1,4	0,5	0,5	4100	4100	4900	4600	АФС 1968 г.	0,2	0,2	0,0095
65*	№ 65		кар.-дол.	ЮВ	1,6	1,6	0,4	0,4	4200	4300	5100	4500	АФС 1968 г.	0,1	0,1	0,0068
66*	№ 66		вис. кар.	Ю	0,6	0,6	0,2	0,2	4500	4500	4850	4600	АФС 1968 г.	0,1	0,1	0,0024
67*	№ 67		кар.-дол.	Ю	1,1	0,7	0,4	0,3	4220	4350	4800	4600	АФС 1968 г.	0,2	0,1	0,0068
68*	№ 68		вис. дол.	З	2,6	2,6	1,2	1,2	3950	3950	6250	4300	АФС 1968 г.	0,3	0,3	0,0355
69*	Захарченко	пр. р. Мазардара	сл. дол.	З, С	6,0	4,0	4,4	3,7	3780	4100	5200	4500	АФС 1968 г.	2,2	1,5	0,2492
70*	№ 70		дол., часть сл. дол.	С	3,2	1,1	1,3	0,8	3900	4200	5100	4400	АФС 1968 г.	0,7	0,2	0,0400

Рис. 13

Сложный долинный ледник Захарченко (№ 69, 70) имеет наибольшую длину 6,0 км, общую площадь 5,7 км² (в том числе 1,2 км² закрыто мореной) и площадь области абляции 2,9 км²

71*	№ 71	пр. р. Мазардара	дол.	СЗ	2,3	0,3	0,9	0,1	3600	4300	4400	—	—	0,9	0,1	0,0231
72*	№ 72	Дасты-Чап	дол.	СЗ, З	5,4	4,0	3,4	2,6	4000	4200	4950	4650	АФС 1968 г.	2,0	1,2	0,1693
73*	№ 73		кар.	ЮЗ	1,1	1,1	0,3	0,3	4400	4400	4750	4550	АФС 1968 г.	0,2	0,2	0,0044
74*	№ 74	пр. р. Дасты-Чап	кар.-дол.	С	2,8	2,2	1,8	1,3	4040	4100	5000	4400	АФС 1968 г.	1,2	0,7	0,0652
75	№ 75	пр. р. Мазардара	дол.	З	1,8	1,8	0,5	0,5	4240	4240	5200	4600	АФС 1968 г.	0,2	0,2	0,0095
76	№ 76	пр. р. Мазардара	кар.-дол.	СЗ	2,5	2,1	1,0	0,9	4000	4260	5200	4800	АФС 1968 г.	0,7	0,6	0,0270
77	№ 77	пр. р. Мазардара	вис.	С	0,8	0,8	0,3	0,3	4300	4300	5000	4600	АФС 1968 г.	0,1	0,1	0,0044
20 ледников							44,0	35,5						20,0		3,9593

Кроме того, в бассейне верховьев р. Мазардара имеется 4 ледника размерами менее 0,1 км² каждый общей площадью 0,24 км²

Итого 24 ледника

44,2

Бассейн правого безымянного притока р. Ракзоу (реки Ракзоу, Язгулем, Пяндж, Амударья)

Южный склон западного отрога Язгулемского хребта

78	№ 78	пр. р. Ракзоу	вис.	З	1,1	1,1	0,4	0,4	4700	4700	5300	4900	АФС 1968 г.	0,1	0,1	0,0068
1 ледник							0,4	0,4						0,1		0,0068

Бассейн р. Мархдара (реки Ракзоу, Язгулем, Пяндж, Амударья)

Южный склон западного отрога Язгулемского хребта

79*	№ 79	Мархдара	сл. дол.	ЮВ	5,6	2,9	5,2	3,5	3690	4300	4950	4600	АФС 1966 г.	3,1	1,4	0,3202
80*	№ 80		кар.-дол.	В	1,3	1,3	0,3	0,3	4380	4600	4900	4600	АФС 1966 г.	0,1	0,1	0,0044
81*	№ 81		сл. дол.	ЮЗ	3,2	4,0	2,3	2,1	4100	4400	5650	4650	АФС 1966 г.	0,7	0,5	0,0942
82*	№ 82		дол.	Ю	3,0	3,0	1,4	1,4	4300	4300	5400	4700	АФС 1966 г.	0,6	0,6	0,0447
83*	№ 83		кар.	ЮЗ	1,1	0,5	0,4	0,2	4250	4500	4640	4500	АФС 1966 г.	0,2	—	0,0068
5 ледников							9,6	7,5						4,7		0,4703

№ по схеме	Название	Название реки, вытекающей из ледника	Морфологический тип	Общая экспозиция	Наибольшая длина, км		Площадь, км ²		Высота, м			Фирновая линия		Площадь области абляции, км ²		Объем льда, км ³	Ссылки на последующие таблицы (иллюстрации) № таблиц и иллюстраций порядковые № сведений в таблицах
					всего ледника	в том числе открытой части	всего ледника	в том числе открытой части	нижней точки конца ледника	нижней точки открытой части ледника	вышей точки ледника	высота, м	способ определения и дата	общая	в том числе открытой части		
1	2	3	4	5	6	7	8	9	10	11	12	13	14	15	16	17	18

Бассейн верховьев р. Ракзоу (реки Язгулем, Пяндж, Амударья)

Западный и северо-западный склоны Язгулемского хребта, южный, восточный и северный склоны его западных отрогов
Дендритовый ледник Ракзоу

84*	Ракзоу	Ракзоу	сл. дол.	ЮВ, Ю	13,5	6,9	8,2	6,7	3420	4060	5720	4800	АФС 1966 г.	3,2	1,7	0,6340	IV/1, 2, 4, 5; V/9, 22, 25, 34; рис. 11
85*	№ 85		кар.-дол., часть сл. дол.	В	2,8	2,8	2,5	2,5	4080	4080	5000	4700	АФС 1966 г.	1,1	1,1	0,1004	
Сложный долинный ледник № 84, 85, часть дендритового ледника Ракзоу, имеет наибольшую длину 13,5 км, общую площадь 10,7 км ² (в том числе 1,5 км ² закрыто мореной) и площадь области абляции 4,3 км ²																	
86*	Ракзоу	Ракзоу	сл. дол, основной поток	ЮВ, Ю, ЮЗ	17,4	10,0	13,8	11,7	3420	4000	6250	4900	АФС 1966 г.	7,5	5,4	1,3841	
87*	№ 87		дол., часть сл. дол.	ЮЗ, Ю	3,4	3,4	1,0	1,0	4560	4560	5600	4900	АФС 1966 г.	0,5	0,5	0,0270	
Сложный долинный ледник № 86, 87, часть дендритового ледника Ракзоу, имеет наибольшую длину 17,4 км, общую площадь 14,8 км ² (в том числе 2,1 км ² закрыто мореной) и площадь области абляции 8,0 км ²																	
88*	Ракзоу	Ракзоу	сл. дол.	Ю	14,6	14,0	8,2	8,1	3600	3660	6250	4850	АФС 1966 г.	2,2	2,1	0,6340	
89*	№ 89		дол., часть сл. дол.	ЮВ, Ю	3,8	3,0	1,7	1,7	4560	4700	6000	4850	АФС 1966 г.	0,4	0,4	0,0598	
90*	№ 90		кар., часть сл. дол.	В	0,8	0,8	0,4	0,4	4600	4600	5070	4800	АФС 1966 г.	0,1	0,1	0,0068	
Сложный долинный ледник № 88—90, часть дендритового ледника Ракзоу, имеет наибольшую длину 14,6 км, общую площадь 10,3 км ² (в том числе 0,1 км ² закрыто мореной) и площадь области абляции 2,7 км ²																	
91*	Ракзоу	Ракзоу	сл. дол.	ЮЗ	12,2	7,0	6,3	5,3	3640	4260	5100	4700	АФС 1966 г.	2,1	1,1	0,4269	
92*	№ 92		дол., часть сл. дол.	СЗ, С, С	5,4	2,4	2,3	1,7	3560	4340	5700	4500	АФС 1966 г.	1,4	0,8	0,0942	
93*	№ 93		дол., часть сл. дол.	СЗ, С	5,0	1,4	2,5	1,4	3540	4260	4600	4450	АФС 1966 г.	1,8	0,7	0,1067	
94*	№ 94		кар.-дол., часть сл. дол.	СВ	1,6	1,0	0,3	0,2	4080	4200	4700	4400	АФС 1966 г.	0,2	0,1	0,0044	
Сложный долинный ледник № 92—94, часть дендритового ледника Ракзоу, имеет наибольшую длину 5,4 км, общую площадь 5,1 км ² (в том числе 1,8 км ² закрыто мореной) и площадь области абляции 3,4 км ²																	
Дендритовый ледник Ракзоу (№ 84—94) имеет наибольшую длину 17,4 км, общую площадь 47,2 км ² (в том числе 6,5 км ² закрыто мореной) и площадь области абляции 20,5 км ²																	
95*	№ 95		кар.-дол.	В	2,7	2,3	1,7	1,5	3900	4300	5100	4600	АФС 1966 г.	0,3	0,1	0,0598	
96	№ 96		кар.-дол.	В	3,5	3,4	2,5	2,3	4000	4060	4900	4600	АФС 1966 г.	0,8	0,6	0,1067	
97	№ 97		кар.-дол.	ЮВ, В	2,0	2,0	1,1	1,1	4600	4600	5700	4800	АФС 1966 г.	0,4	0,4	0,0311	
98*	№ 98		вис. кар.	Ю	1,6	1,6	0,7	0,7	4400	4400	5000	4500	АФС 1966 г.	0,1	0,1	0,0158	
99	№ 99		кар.-дол.	ЮЗ	3,8	2,0	2,4	1,4	4100	4460	5300	4500	АФС 1966 г.	1,0	—	0,1004	
100*	№ 100		асим. дол.	З	4,4	4,0	3,0	2,4	4120	4160	5100	4500— 4700	АФС 1966 г.	1,3	0,6	0,1403	

101*	№ 101	кар.	ЮЗ	1,7	1,7	0,7	0,7	4500	4500	5100	4600	АФС 1966 г.	0,1	0,1	0,0158
102*	№ 102	вис. кар.	ЮЗ	1,4	0,4	0,4	0,1	4400	4600	4900	4600— 4800	АФС 1966 г.	0,3	—	0,0068
103*	Ляп-Назар	дол.	З	8,0	6,0	9,5	6,7	3800	4200	5800	4600	АФС 1966 г.	6,2	3,5	0,9186
104*	№ 104	кар.	Ю	0,8	0,5	0,2	0,1	4420	4500	4800	4500	АФС 1966 г.	0,1	—	0,0024
105*	№ 105	кар.	Ю	1,3	1,3	0,4	0,4	4460	4460	4800	4600	АФС 1966 г.	0,1	0,1	0,0068
106*	№ 106	кар.	Ю	1,4	1,4	0,5	0,5	4600	4600	5300	4650	АФС 1966 г.	0,1	0,1	0,0095
107*	№ 107	кар.	Ю	1,4	1,4	0,4	0,4	4600	4600	5500	4650	АФС 1966 г.	—	—	0,0068
108*	№ 108	кар.	Ю	1,0	1,0	0,3	0,2	4600	4600	5000	4700	АФС 1966 г.	0,1	—	0,0044
109*	№ 109	кар.	ЮЗ	1,8	1,4	0,6	0,4	4400	4500	5100	4600	АФС 1966 г.	0,2	—	0,0125
110*	№ 110	вис. кар.	С	1,4	1,4	0,6	0,6	3800	3800	5000	4000	АФС 1966 г.	0,1	0,1	0,0125
27 ледников						72,2	60,2						31,7		4,9285

Бассейн р. Бирджрафдара (реки Ракзоу, Язгулем, Пяндж, Амударья)

Северо-западный и северный склоны Язгулемского хребта, восточный склон его северного отрога

111*	№ 111	пр. р. Бирджраф- дара	дол.	СЗ	4,9	2,4	3,6	2,1	3500	4040	5530	4300— 4500	АФС 1966 г.	1,8	0,3	0,1844
112*	№ 112		дол.	З	3,8	2,6	1,9	1,2	3800	4100	5200	4500	АФС 1966 г.	1,2	0,5	0,0707
113*	№ 113		вис.	С	0,8	0,8	0,4	0,4	4700	4700	5530	—	—	—	—	0,0068
114*	№ 114	пр. р. Бирджраф- дара	дол.	С	4,8	3,8	2,2	1,8	3500	3700	5440	4500	АФС 1947 г.	1,1	0,7	0,0881
115*	№ 115	пр. р. Бирджраф- дара	дол.	С,СЗ	4,4	1,5	2,5	1,0	3650	4180	5420	4300	АФС 1947 г.	1,8	0,3	0,1067
116*	№ 116		вис.	З	1,6	1,6	0,3	0,3	4340	4340	5300	4500	АФС 1947 г.	0,1	0,1	0,0044
117*	№ 117		вис.	СВ	1,0	1,0	0,4	0,4	4100	4100	5120	4500	АФС 1947 г.	—	—	0,0068
118*	Бирджраф- дара	Бирджрафдара	дол., часть	С	9,0	7,4	9,4	7,3	3600	3820	5250	4300— 4400	АФС 1947 г.	5,5	3,4	0,7781
119*	№ 119		дол., часть сл. дол.	З	3,0	2,6	1,9	1,7	4160	4200	5530	4600	АФС 1947 г.	0,6	0,4	0,0707

Сложный долинный ледник Бирджрафдара (№ 118, 119) имеет наибольшую длину 9,0 км, общую площадь 11,3 км² (в том числе 2,3 км² закрыто мореной) и площадь области абляции 6,1 км²

120*	№ 120		дол.	З	2,7	1,8	0,8	0,6	4120	4300	5400	4600	АФС 1947 г.	0,4	0,2	0,0193
121*	№ 121		кар.-вис.	В	1,0	0,7	0,3	0,2	4000	4100	4500	4200	АФС 1947 г.	0,1	—	0,0044
122	№ 122	пр. р. Бирджраф- дара	кар.-вис.	В	1,2	1,0	0,4	0,4	4100	4200	5000	4300	АФС 1947 г.	0,1	0,1	0,0068
12 ледников						24,1								12,7		1,3472

] Кроме того, в бассейне р. Бирджрафдара имеется 1 ледник размером менее 0,1 км² площадью 0,09 км²

Итого 13 ледников 24,2

Бассейн р. Роштдара (реки Ракзоу, Пяндж, Амударья)

Северный склон Язгулемского хребта, восточный и западный склоны его северных отрогов

123*	№ 123	пр. р. Роштдара	кар.-дол.	С	1,9	1,4	0,7	0,6	4200	4300	4500	4400	АФС 1947 г.	0,5	0,4	0,0158
124*	№ 124	пр. р. Роштдара	кар.-дол.	С	2,4	2,0	0,8	0,7	4200	4300	4800	4500	АФС 1947 г.	0,7	0,6	0,0193
125*	№ 125	Роштдара	дол., часть	С	5,2	4,4	5,6	5,1	3860	3960	5440	4500	АФС 1947 г.	2,1	1,6	0,3578
126	№ 126		сл. дол. дол., часть сл. дол.	СЗ,С	4,4	3,4	1,7	1,6	3860	3960	5420	4550	АФС 1947 г.	0,7	0,6	0,0598

Сложный долинный ледник № 125, 126 имеет наибольшую длину 5,2 км, общую площадь 7,3 км² (в том числе 0,6 км² закрыто мореной) и площадь области абляции 2,8 км²

127*	№ 127		кар.-дол.	СЗ	1,6	1,0	0,3	0,1	4120	4300	4600	4300— 4500	АФС 1947 г.	0,2	—	0,0044
128*	№ 128		вис. кар.	В	0,9	0,9	0,2	0,2	4300	4300	4650	4400	АФС 1947 г.	0,1	0,1	0,0024

№ по схеме	Название	Название реки, вытекающей из ледника	Морфологический тип	Общая экспозиция	Наибольшая длина, км		Площадь, км ²		Высота, м			Фирновая линия		Площадь области абляции, км ²		Объем льда, км ³	Ссылки на последующие таблицы (иллюстрации) № таблиц и иллюстраций порядковые № сведений в таблицах
					всего ледника	в том числе в открытой части	всего ледника	в том числе в открытой части	нижней точки конца ледника	низшей точки открытой части ледника	высшей точки ледника	высота, м	способ определения и дата	общая	в том числе в открытой части		
1	2	3	4	5	6	7	8	9	10	11	12	13	14	15	16	17	18
129	№ 129		дол.	В	2,4	2,4	0,7	0,7	4140	4140	5200	4700	АФС 1947 г.	0,3	0,3	0,0158	
130*	№ 130		дол.	В	1,8	1,0	0,5	0,3	4200	4450	4700	4450— 4600	АФС 1947 г.	0,3	0,1	0,0095	
131*	№ 131	пр. р. Роштдара	дол.	В	3,1	1,3	1,1	0,6	3800	4100	4900	4400	АФС 1947 г.	0,7	0,2	0,0311	
132*	№ 132	пр. р. Роштдара	дол.	СВ	1,4	1,1	0,3	0,2	3900	4050	5100	4500	АФС 1947 г.	0,1	—	0,0044	
133*	№ 133	пр. р. Роштдара	дол., часть сл. дол.	С,СВ	8,1	2,8	8,9	4,0	3580	4100	5160	4600	АФС 1947 г.	7,2	2,3	0,7169	
134*	№ 134	пр. р. Роштдара	дол., часть сл. дол.	В,СВ	10,6	7,2	6,4	4,6	3600	4020	5640	4300— 4500	АФС 1947 г.	3,1	1,3	0,4372	
Сложный долинный ледник № 133, 134 имеет наибольшую длину 10,6 км, общую площадь 15,3 км ² (в том числе 6,7 км ² закрыто мореной) и площадь области абляции 10,3 км ²																	
135*	№ 135		дол.	С	1,0	0,7	0,4	0,2	3760	4000	4900	4200	АФС 1947 г.	0,3	0,1	0,0068	
136*	№ 136		кар.-дол.	СЗ	2,2	1,0	1,3	0,6	4100	4500	5000	4600	АФС 1947 г.	0,9	0,2	0,0400	
137*	№ 137		кар.-дол.	ЮВ	1,6	1,2	0,4	0,3	4380	4400	4900	4600	АФС 1947 г.	0,2	0,1	0,0068	
138*	№ 138		кар.-дол.	В, Ю	1,8	1,6	0,7	0,6	4240	4340	5000	4500	АФС 1966 г.	0,3	0,2	0,0158	
139*	№ 139		вис. кар.	ЮВ	1,7	1,3	0,6	0,5	4120	4200	4600	4300	АФС 1966 г.	0,2	0,1	0,0125	
140*	№ 140		кар.	ЮВ	0,7	0,5	0,1	0,1	4200	4300	4550	4450	АФС 1966 г.	—	—	0,0009	
141*	№ 141		вис. кар.	ЮВ	0,7	0,7	0,2	0,2	4200	4200	4500	4300	АФС 1966 г.	—	—	0,0024	
142*	№ 142	пр. р. Роштдара	дол.	ЮВ	3,6	1,8	2,0	0,7	3700	4100	4800	4200— 4600	АФС 1966 г.	1,6	0,3	0,0764	
143	№ 143	пр. р. Роштдара	кар.	ЮВ	0,6	0,6	0,2	0,2	4400	4400	4750	4550	АФС 1966 г.	0,1	0,1	0,0024	
144	№ 144	пр. р. Роштдара	вис. кар.	Ю	0,8	0,8	0,2	0,2	4500	4500	4900	4600	АФС 1966 г.	0,1	0,1	0,0024	
145*	№ 145	пр. р. Роштдара	вис. кар.	Ю	0,8	0,8	0,2	0,2	4620	4620	5100	4800	АФС 1966 г.	—	—	0,0024	
146	№ 146	пр. р. Роштдара	дол.	В	2,0	2,0	0,5	0,5	3800	3800	5200	4450	АФС 1966 г.	0,3	0,3	0,0095	
	24 ледника						34,0	23,0						20,0		1,8527	
Бассейн р. Сипонджара (реки Ракзоу, Язгулем, Пяндж, Амударья)																	
Северный и западный склоны северных отрогов Язгулемского хребта																	
147*	№ 147	Сипонджара	дол., часть сл. дол.	С	4,0	1,8	2,7	2,2	3600	4250	5100	4450	АФС 1966 г.	1,0	0,5	0,1198	
148*	№ 148		кар.-дол., часть сл. дол.	СВ	1,8	1,5	1,0	0,8	4250	4350	5100	4450	АФС 1966 г.	0,4	0,2	0,0270	
Сложный долинный ледник № 147, 148 имеет наибольшую длину 4,0 км, общую площадь 3,7 км ² (в том числе 0,7 км ² закрыто мореной) и площадь области абляции 1,4 км ²																	
149	№ 149	пр. р. Сипонджара	кар.-дол.	ЮВ	1,5	0,2	0,6	0,2	4400	4900	5100	—	—	0,4	—	0,0125	
	3 ледника						4,3	3,2						1,8		0,1593	
Бассейны левых безымянных притоков р. Ракзоу (реки Ракзоу, Язгулем, Пяндж, Амударья)																	
Северные склоны северных отрогов Язгулемского хребта																	
150*	№ 150	пр. р. Ракзоу	дол.	В	1,7	1,2	0,5	0,4	4100	4300	5100	4400	АФС 1947 г.	0,2	0,1	0,0095	
151	№ 151	пр. р. Ракзоу	дол.	СВ	1,4	1,4	0,2	0,2	3800	3800	5180	4300	АФС 1947 г.	0,1	0,1	0,0024	
	2 ледника						0,7	0,6						0,3		0,0119	

Кроме того, в бассейнах левых притоков р. Ракзоу ниже устья р. Сипонджара имеется 2 ледника размерами менее 0,1 км² каждый, общей площадью 0,15 км²

Итого 4 ледника 0,9

Всего в бассейнах рек Мазардара и Ракзоу имеется 115 ледников общей площадью 197,0 км², в том числе 108 ледников размерами 0,1 км² и более каждый, общей площадью 196,5 км² (из них 42,1 км² закрыто мореной) и 7 ледников размерами менее 0,1 км² каждый, общей площадью 0,5 км²

БАССЕЙНЫ ЛЕВЫХ ПРИТОКОВ Р. ЯЗГУЛЕМА

Бассейн левого притока р. Язгулема выше р. Дарайкаддахт (реки Язгулем, Пяндж, Амударья)

Северные склоны северных отрогов Язгулемского хребта

152	№ 152 1 ледник	пр. р. Язгулем	вис. кар.	СЗ	1,0	1,0	0,3 0,3	0,3	4150	4150	5100	4400	АФС 1947 г.	0,1 0,1	0,1	0,0044 0,0044
-----	-------------------	----------------	-----------	----	-----	-----	------------	-----	------	------	------	------	-------------	------------	-----	------------------

Бассейн р. Дарайкаддахт (реки Язгулем, Пяндж, Амударья)

Северные, западные и восточные склоны северных отрогов Язгулемского хребта

153*	№ 153	пр. р. Дарайкаддахт	кар.-дол.	З	1,1	—	0,3	—	3700	—	4500	—	—	0,3	—	0,0044
154*	№ 154	пр. р. Дарайкаддахт	дол.	З	3,4	1,2	1,2	0,7	3450	4400	4900	4600	АФС 1966 г.	0,6	0,1	0,0355
155*	№ 155	пр. р. Дарайкаддахт	сл. дол.	С	6,0	3,0	2,9	1,5	3300	4030	5000	4200	АФС 1966 г.	1,7	0,3	0,1333
156*	№ 156		дол., часть сл. дол.	СЗ	2,2	0,8	0,5	0,3	4040	4080	4600	4200	АФС 1966 г.	0,3	0,1	0,0095

Сложный долинный ледник № 155, 156 имеет наибольшую длину 6,0 км, общую площадь 3,4 км² (в том числе 1,6 км² закрыто мореной) и площадь области абляции 2,0 км²

157*	№ 157		дол.	З	1,6	0,4	0,4	0,1	4100	4700	4900	4700	АФС 1966 г.	0,4	0,1	0,0068
158	Каддахт	Дарайкаддахт	дол., часть сл. дол.	С	6,3	2,2	3,1	2,1	3260	4050	5000	4200	АФС 1966 г.	1,4	0,4	0,1476
159	Каддахт	Дарайкаддахт	дол., часть сл. дол.	СВ	5,8	1,6	2,4	1,5	3260	4100	4900	4250	АФС 1966 г.	1,4	0,5	0,1004

Сложный долинный ледник Каддахт (№ 158, 159) имеет наибольшую длину 6,3 км, общую площадь 5,5 км² (в том числе 1,9 км² закрыто мореной) и площадь области абляции 2,8 км²

160*	№ 160		вис. кар.	С	0,8	0,4	0,3	0,2	3800	4000	4400	4300	АФС 1966 г.	0,2	0,1	0,0044
161*	№ 161		вис. кар.	СЗ	0,6	0,6	0,2	0,2	4200	4200	4600	4300	АФС 1966 г.	0,1	0,1	0,0024
162*	№ 162		кар.	СВ	0,9	0,1	0,2	—	3700	3900	4000	—	—	0,2	—	0,0024
163*	№ 163		кар.	В	1,0	0,1	0,2	—	3680	3950	4040	—	—	0,2	—	0,0024
164*	№ 164	пр. р. Дарайкаддахт	кар.-дол.	В	1,3	0,2	0,4	0,1	3500	4000	4120	—	—	0,4	0,1	0,0068
	12 ледников						12,1	6,7						7,2		0,4559

Бассейн р. Даравицдахт (реки Язгулем, Пяндж, Амударья)

Северные склоны северных отрогов Язгулемского хребта

165	№ 165	пр. р. Даравицдахт	кар.	С	1,3	0,6	0,3	0,2	4000	4300	4800	4500	АФС 1966 г.	0,2	0,1	0,0044
166	№ 166	пр. р. Даравицдахт	кар.-дол.	С	1,6	0,7	0,6	0,6	3800	4300	5000	4550	АФС 1966 г.	0,2	0,2	0,0125
	2 ледника						0,9	0,8						0,4		0,0169

Бассейн р. Убагн (реки Язгулем, Пяндж, Амударья)

Северные склоны северных отрогов Язгулемского хребта

167	№ 167	Убагн	сл. дол.	С,СЗ	4,9	1,6	2,1	1,1	3380	4100	5640	4300	АФС 1966 г.	1,2	0,2	0,0822
168*	№ 168		дол., часть сл. дол.	С	2,2	1,9	0,7	0,6	3800	3900	5640	4200	АФС 1966 г.	0,3	0,2	0,0158

№ по схеме	Название	Название реки, вытекающей из ледника	Морфологический тип	Общая экспозиция	Наибольшая длина, км		Площадь, км ²		Высота, м			Фирновая линия		Площадь области абляции, км ²			Ссылки на последующие таблицы (иллюстрации)
					всего ледника	в том числе открытой части	всего ледника	в том числе открытой части	нижней точки конца ледника	нижней точки открытой части ледника	высшей точки ледника	высота, м	способ определения и дата	общая	в том числе открытой части	Объем льда, км ³	
1	2	3	4	5	6	7	8	9	10	11	12	13	14	15	16	17	18
169*	№ 169		дол., часть сл. дол.	С	2,0	—	0,4	—	3380	—	3840	—	—	0,4	—	0,0068	
Сложный долинный ледник № 167—169 имеет наибольшую длину 4,9 км, общую площадь 3,2 км ² (в том числе 1,5 км ² закрыто мореной) и площадь области абляции 1,9 км ²																	
170*	№ 170 4 ледника	пр. р. Убагн	дол.	СВ	1,9	—	0,5	—	3740	—	4500	—	—	0,5	—	0,0095	
							3,7	1,7						2,4	0,1143		
Бассейн р. Дарабугуз (реки Язгулем, Пяндж, Амударья)																	
Северный склон Язгулемского хребта, западный и восточный склоны его северных отрогов																	
171*	Дара-Бугуз	Дарабугуз	сл. дол.	З	8,8	2,4	3,6	1,4	3100	4620	5300	4600— 4750	АФС 1966 г.	2,5	0,3	0,1844	
172	№ 172		дол., часть сл. дол.	С	2,8	1,8	0,9	0,7	4200	4400	5400	4600	АФС 1966 г.	0,4	0,2	0,0231	
173	№ 173		дол., часть сл. дол.	С	5,2	3,8	2,4	2,1	3300	3700	5400	4600	АФС 1966 г.	0,8	0,5	0,1004	
Сложный долинный ледник Дара-Бугуз (№ 171—173) имеет наибольшую длину 8,8 км, общую площадь 6,9 км ² (в том числе 2,7 км ² закрыто мореной) и площадь области абляции 3,7 км ²																	
174*	№ 174		вис.	Ю	0,8	0,8	0,3	0,3	4900	4900	5300	—	—	—	—	0,0044	
175*	№ 175		вис.	Ю	0,7	0,7	0,4	0,4	5100	5100	5640	—	—	—	—	0,0068	
176*	№ 176		вис.	СЗ	1,4	1,4	0,4	0,4	4700	4700	5320	—	—	—	—	0,0068	
177*	№ 177		вис.	С	1,8	1,8	1,0	1,0	4550	4550	5400	—	—	—	—	0,0270	
178*	№ 178		дол.	С	2,2	—	0,6	—	3700	—	4100	—	—	0,6	—	0,0125	
179	№ 179	пр. р. Дарабугуз	кар.-дол.	СВ	1,6	1,6	0,4	0,4	4100	4100	4830	4450	АФС 1966 г.	0,1	0,1	0,0068	
							10,4	6,7						4,4	0,3722		
Бассейн левого безымянного притока р. Язгулема (реки Язгулем, Пяндж, Амударья)																	
Северо-западный и северо-восточный склоны северного отрога Язгулемского хребта																	
180*	№ 180	пр. р. Язгулем	дол.	С	1,4	—	0,3	—	3700	—	4450	—	—	0,3	—	0,0044	
							0,3							0,3	0,0044		
Бассейн р. Выдвядж (реки Язгулем, Пяндж, Амударья)																	
Северо-западный склон Язгулемского хребта, северо-восточный склон его северо-западного отрога																	
181*	№ 181	пр. р. Выдвядж	дол.	СЗ	3,6	3,2	2,0	1,2	3620	3800	5800	4450	АФС 1966 г.	1,2	0,4	0,0764	
182*	№ 182	Выдвядж	дол.	С	4,8	3,2	2,7	2,3	3640	4140	6130	4500	АФС 1966 г.	1,1	0,7	0,1198	
183*	№ 183	пр. р. Выдвядж	дол.	СЗ,С	5,3	2,6	2,9	1,9	3700	4400	6130	4600	АФС 1966 г.	1,4	0,4	0,1333	
184*	№ 184	пр. р. Выдвядж	вис. кар.	С	1,4	0,9	0,4	0,3	4340	4500	4700	4550	АФС 1966 г.	0,2	0,1	0,0068	
185	№ 185	пр. р. Выдвядж	кар.	В	1,2	0,4	0,2	0,1	4100	4400	4600	4450	АФС 1966 г.	0,1	—	0,0024	
186*	№ 186	пр. р. Выдвядж	вис. кар.	В	0,8	0,8	0,1	0,1	4200	4200	4600	4550	АФС 1966 г.	—	—	0,0009	
							8,3	5,9						4,0	0,3396		

Бассейн р. Зайчхов (реки Язгулем, Пяндж, Амударья)

Северо-западный склон Язгулемского хребта, северный склон его западного отрога																
187*	№ 187	Зайчхов	сл. дол.	СЗ	5,1	0,5	3,8	1,3	3420	4600	5100	4700	АФС 1947 г.	2,5	—	0,2000
188	№ 188	пр. р. Зайчхов	вис.	С	1,6	1,6	0,4	0,4	3900	3900	5100	4300	АФС 1947 г.	0,1	0,1	0,0068
189	№ 189	Вобзур	кар.	С	0,6	0,3	0,3	0,2	4100	4200	4400	4300	АФС 1947 г.	0,2	0,1	0,0044
3 ледника							4,5	1,9					2,8	0,2112		

Бассейн р. Хуздордара (реки Ужомдара, Камочдара, Язгулем, Пяндж, Амударья)

Северо-западный склон Язгулемского хребта, северный склон его западного отрога																
190*	№ 190	Хуздордара	дол.	ЮЗ	3,6	3,0	1,6	1,3	4160	4300	5490	4500	АФС 1966 г.	0,6	0,3	0,0546
191*	№ 191	пр. р. Хуздордара	дол.	З	3,2	3,2	1,3	1,3	4000	4000	5500	4600	АФС 1966 г.	0,6	0,6	0,0400
192*	№ 192	пр. р. Хуздордара	дол.	СЗ	4,0	3,2	1,6	1,3	4100	4300	5100	4500— 4600	АФС 1966 г.	0,6	0,3	0,0546
193*	№ 193	пр. р. Хуздордара	дол., часть	СЗ, З	3,6	1,6	1,6	1,2	3400	4300	5100	4500	АФС 1966 г.	0,7	0,3	0,0546
194	№ 194	пр. р. Хуздордара	сл. дол., дол., часть сл. дол.	С, З	4,4	4,0	1,2	1,1	3400	3600	5600	4500	АФС 1966 г.	0,5	0,4	0,0355

Сложный долинный ледник № 193, 194 имеет наибольшую длину 4,4 км, общую площадь 2,8 км² (в том числе 0,5 км² закрыто мореной) и площадь области абляции 1,2 км²

195*	№ 195	пр. р. Хуздордара	вис.	СЗ	0,9	0,9	0,3	0,3	4150	4150	4600	4550	АФС 1966 г.	—	—	0,0044
6 ледников							7,6	6,5					3,0	0,2437		

Кроме того, в бассейне р. Хуздордара имеется 1 ледник размером менее 0,1 км² площадью 0,08 км²

Итого 7 ледников 7,7

Бассейн р. Ванаудара (реки Ужомдара, Камочдара, Язгулем, Пяндж, Амударья)

Западный и северный склоны Язгулемского хребта																
196*	№ 196	пр. р. Ванаудара	сл. дол.	Ю	3,3	1,2	1,4	0,7	4100	4210	5300	4800	АФС 1966 г.	0,9	0,2	0,0447
197*	№ 197		дол., часть сл. дол.	З	2,0	2,0	0,5	0,5	4160	4160	5200	4800	АФС 1966 г.	0,3	0,3	0,0095

Сложный долинный ледник № 196, 197 имеет наибольшую длину 3,3 км, общую площадь 1,9 км² (в том числе 0,7 км² закрыто мореной) и площадь области абляции 1,2 км²

198*	№ 198	пр. р. Ванаудара	кар.-дол.	ЮЗ	1,2	0,4	0,3	0,2	4100	4400	4600	4500	АФС 1958 г.	0,2	0,1	0,0044
199*	№ 199	пр. р. Ванаудара	дол.	З	2,2	0,4	1,1	0,2	4100	4600	4800	4600	АФС 1958 г.	0,9	—	0,0311
200*	№ 200	пр. р. Ванаудара	кар.-дол.	СЗ	1,5	1,5	0,6	0,6	4300	4300	4700	4500	АФС 1958 г.	0,3	0,3	0,0125
201*	№ 201	пр. р. Ванаудара	кар.	СЗ	1,3	0,7	0,4	0,2	4200	4400	4700	4600	АФС 1958 г.	0,3	0,1	0,0068
202*	№ 202		вис.	СЗ	1,1	1,1	0,3	0,3	4400	4400	5050	4650	АФС 1958 г.	0,1	0,1	0,0044
203*	№ 203	Ванаудара	дол.	С	4,1	3,3	3,3	3,0	3760	3870	5000	4400	АФС 1958 г.	1,1	0,8	0,1619
204*	№ 204		дол.	СВ, С	2,4	2,0	0,6	0,4	4000	4100	5410	4550	АФС 1958 г.	0,3	0,1	0,0125
205*	№ 205	пр. р. Ванаудара	кар.	С	0,7	0,7	0,2	0,2	4300	4300	4650	4550	АФС 1958 г.	0,1	0,1	0,0024
206*	№ 206	пр. р. Ванаудара	дол.	С	3,3	3,0	2,2	2,1	3760	3800	5410	4400	АФС 1958 г.	1,0	0,9	0,0881
207	№ 207	пр. р. Ванаудара	вис.	СВ	0,5	0,5	0,3	0,3	4500	4500	4700	4550	АФС 1958 г.	0,1	0,1	0,0044
12 ледников							11,2	8,7					5,6	0,3827		

Кроме того, в бассейне р. Ванаудара имеется 1 ледник размером менее 0,1 км² площадью 0,07 км²

Итого 13 ледников 11,3

№ по схеме	Название	Название реки, вытекающей из ледника	Морфологический тип	Общая экспозиция	Наибольшая длина, км		Площадь, км ²		Высота, м			Фирновая линия		Площадь области абляции, км ²			Ссылки на последующие таблицы (иллюстрации) № таблиц и иллюстраций порядковые № сведений в таблицах
					всего ледника	в том числе открытой части	всего ледника	в том числе открытой части	низшей точки конца ледника	низшей точки открытой части ледника	высшей точки ледника	высота, м	способ определения и дата	общая	в том числе открытой части	Объем льда, км ³	

Бассейн р. Зарбзондара (реки Камочдара, Язгулем, Пяндж, Амударья)

Северный склон северного отрога Язгулемского хребта

208*	№ 208	Зарбзондара	дол.	СЗ	2,2	1,6	0,9	0,6	4240	4400	4800	4550	АФС 1958 г.	0,4	0,1	0,0231
209*	№ 209		кар. вис.	З	0,6	0,6	0,1	0,1	4600	4600	4900	4650	АФС 1958 г.	—	—	0,0009
210*	№ 210	пр. р. Зарбзондара	вис. кар	С	0,6	0,6	0,2	0,2	4500	4500	4800	4600	АФС 1958 г.	0,1	0,1	0,0024
3 ледника							1,2	0,9							0,5	0,0264

Бассейн р. Арганхэх (реки Камочдара, Язгулем, Пяндж, Амударья)

Северный склон Язгулемского хребта

211*	№ 211	пр. р. Арганхэх	дол.	С, З	3,4	3,4	1,2	1,2	4240	4240	4850	4500	АФС 1958 г.	0,5	0,5	0,0355
212*	№ 212	пр. р. Арганхэх	дол.	С, З	3,0	3,0	1,3	1,3	4220	4220	5000	4500	АФС 1958 г.	0,5	0,5	0,0400
213	№ 213	пр. р. Арганхэх	кар.-дол.	СЗ	1,5	1,5	0,5	0,5	4340	4340	4800	4500	АФС 1958 г.	0,1	0,1	0,0095
214	№ 214	пр. р. Арганхэх	дол.	СЗ	2,4	2,0	0,8	0,6	4100	4300	4900	4450	АФС 1958 г.	0,4	0,2	0,0193
215	№ 215	пр. р. Арганхэх	дол.	СЗ	2,4	2,4	0,9	0,9	4100	4100	4900	4450	АФС 1958 г.	0,4	0,4	0,0231
216	№ 216	пр. р. Арганхэх	кар.-дол.	С	1,8	1,8	0,7	0,7	3800	3800	4900	4300	АФС 1958 г.	0,1	0,1	0,0158
217	№ 217	пр. р. Арганхэх	кар.-дол.	С	1,9	1,3	0,6	0,5	4100	4200	4900	4300	АФС 1958 г.	0,2	0,1	0,0125
218	№ 218	пр. р. Арганхэх	кар.	С	1,4	1,4	0,6	0,6	4100	4100	5200	4350	АФС 1958 г.	0,1	0,1	0,0125
8 ледников							6,6	6,3							2,3	0,1682

Кроме того, в бассейне р. Арганхэх имеется 1 ледник размером менее 0,1 км² площадью 0,05 км²

Итого 9 ледников

6,7

Бассейн р. Сэйгехар (реки Камочдара, Язгулем, Пяндж, Амударья)

Северный и восточный склоны Язгулемского хребта

219*	№ 219	пр. р. Сэйгехар	кар.-дол.	С	2,0	2,0	0,5	0,5	3700	3700	4900	4450	АФС 1958 г.	0,2	0,2	0,0095
220*	№ 220		вис. кар.	СЗ	0,7	0,7	0,2	0,2	4400	4400	5000	4600	АФС 1958 г.	—	—	0,0024
221*	№ 221	Сэйгехар	сл. дол.	С	4,2	3,8	3,5	3,3	3580	3800	4900	4500	АФС 1958 г.	1,2	1,0	0,1768
222	№ 222	Сэйгехар	дол., часть сл. дол.	СЗ	2,9	2,0	1,0	0,7	3580	3900	4800	4200	АФС 1958 г.	0,4	0,1	0,0270

Сложный долинный ледник № 221, 222 имеет наибольшую длину 4,2 км, общую площадь 4,5 км² (в том числе 0,5 км² закрыто мореной) и площадь области абляции 1,6 км²

223	№ 223	пр. р. Сэйгехар	дол.	СВ	1,3	0,8	0,3	0,2	3900	4100	4500	4300	АФС 1958 г.	0,2	0,1	0,0044
224*	№ 224	пр. р. Сэйгехар	кар.	С	0,4	0,4	0,1	0,1	4360	4400	4500	4400	АФС 1958 г.	—	—	0,0009
225*	№ 225	пр. р. Сэйгехар	кар.-дол.	С	2,0	1,8	1,3	1,0	4360	4400	4950	4500	АФС 1958 г.	0,5	0,2	0,0400
7 ледников							6,9	6,0							2,5	0,2610

Кроме того, в бассейне р. Сэйгехар имеется 1 ледник размером менее 0,1 км² площадью 0,08 км²

Итого 8 ледников

7,0

Бассейны левых притоков р. Камочдара (реки Камочдара, Язгулем, Пяндж, Амударья)

Восточный склон Язгулемского хребта

226	№ 226	пр. р. Камочдара	вис. кар.	СВ	1,3	1,2	0,5	0,5	4420	4500	4900	4600	АФС 1958 г.	0,1	0,1	0,0095
227*	№ 227	Тарзолдара	вис. кар.	С	0,5	0,3	0,1	0,1	4400	4600	4900	4600	АФС 1958 г.	—	—	0,0009
228*	№ 228	Тарзолдара	вис. кар.	С	0,6	0,4	0,1	0,1	4500	4600	4800	4700	АФС 1958 г.	—	—	0,0009
3 ледника							0,7	0,7					0,1		0,0113	

Бассейн р. Зирдара (реки Дараимотравн, Язгулем, Пяндж, Амударья)

Северный склон Язгулемского хребта

229*	№ 229	Зирдара	дол.	С	4,4	1,1	3,2	1,1	3500	3960	5090	4100— 4400	АФС 1958 г.	2,2	0,1	0,1546
230*	№ 230		дол.	С	2,4	1,2	0,7	0,4	3720	4000	4700	4200	АФС 1958 г.	0,4	0,1	0,0158
231*	№ 231		вис. кар.	СВ	0,5	0,5	0,1	0,1	4400	4400	4700	4500	АФС 1958 г.	—	—	0,0009
3 ледника							4,0	1,6					2,6		0,1713	

Бассейн левого безымянного притока р. Дараимотравн (реки Дараимотравн, Язгулем, Пяндж, Амударья)

Северный и восточный склоны Язгулемского хребта

232*	Одуды	пр. р. Дараимот- травн	дол.	СВ,С	4,2	4,2	2,4	2,4	4000	4000	4700	4250— 4300	АФС 1958 г.	0,6	0,6	0,1004
233*	№ 233	пр. р. Дараимот- травн	дол.	С	2,1	2,1	0,9	0,9	3930	3930	4700	4200	АФС 1958 г.	0,3	0,3	0,0231
234*	№ 234		вис.	СВ	1,3	1,3	0,3	0,3	4500	4500	4700	4550	АФС 1958 г.	—	—	0,0044
235*	№ 235	пр. р. Дараимот- травн	дол.	С	1,9	1,9	0,6	0,6	4100	4100	4750	4300	АФС 1958 г.	0,1	0,1	0,0125
236*	№ 236	пр. р. Дараимот- травн	вис. кар.	С	1,3	0,8	0,3	0,2	4000	4200	4600	4300	АФС 1958 г.	0,2	0,1	0,0044
237*	№ 237	пр. р. Дараимот- травн	вис. кар.	С	1,7	1,4	0,7	0,5	3800	4000	4600	4150	АФС 1958 г.	0,3	0,1	0,0158
238*	№ 238	пр. р. Дараимот- травн	вис. кар.	СВ	1,2	1,2	0,4	0,4	4000	4000	4600	4150	АФС 1958 г.	—	—	0,0068
239*	№ 239	пр. р. Дараимот- травн	кар.-дол.	СВ	1,2	1,2	0,3	0,3	3850	4150	4500	4200	АФС 1958 г.	0,2	0,2	0,0044
240*	№ 240	пр. р. Дараимот- травн	кар.-дол.	СВ,С	1,5	1,5	0,4	0,4	3800	3900	4700	4150	АФС 1958 г.	0,1	0,1	0,0068
9 ледников							6,3	6,0					1,8		0,1786	

Бассейн р. Дараитрак (реки Дараимотравн, Язгулем, Пяндж, Амударья)

Северо-восточный склон северо-западного отрога Язгулемского хребта

241*	№ 241	Дараитрак	кар.-дол.	С	1,3	1,3	0,4	0,4	3600	3600	4000	3800	АФС 1958 г.	0,2	0,2	0,0068
242*	№ 242	пр. р. Дараитрак	вис. кар.	С	0,9	0,9	0,3	0,3	3500	3700	4200	3900	АФС 1958 г.	0,1	0,1	0,0044
243*	№ 243	пр. р. Дараитрак	кар.	СЗ	0,8	0,8	0,2	0,2	3900	3900	4600	4200	АФС 1958 г.	0,1	0,1	0,0024
244*	№ 244	пр. р. Дараитрак	кар.	С	0,9	0,9	0,2	0,2	3900	3900	4600	4200	АФС 1958 г.	0,1	0,1	0,0024
4 ледника							1,1	1,1					0,5		0,0160	

Кроме того, в бассейне р. Дараитрак имеется 1 ледник размером менее 0,1 км² площадью 0,09 км²

Итого 5 ледников

1,2

Всего в бассейнах левых притоков р. Язгулема имеется 98 ледников общей площадью 86,2 км², в том числе 93 ледника с площадью 0,1 км² и более каждый, общей площадью 85,7 км² (из них 23,9 км² закрыто мореной) и 5 ледников с площадью менее 0,1 км² каждый, общей площадью 0,5 км²

Всего в бассейне р. Язгулема имеется 269 ледников общей площадью 313,0 км², в том числе 244 ледника с площадью 0,1 км² и более каждый, общей площадью 310,9 км² (из них 73,4 км² закрыто мореной) и 25 ледников с площадью менее 0,1 км² каждый, общей площадью 2,1 км²

Пояснения к таблице 1

№ ледника по таблице	Название	№ графы	Пояснение	№ ледника по таблице	Название	№ графы	Пояснение
1	2	3	4	1	2	3	4
2	№ 2	4	Ниже конца языка имеется участок погребенного льда площадью 0,3 км ² , спускающийся до высоты 3740 м	27—29	№ 27—29	4	Бенного льда площадью 0,1 км ² , спускающийся до высоты 3700 м
3	№ 3	9, 16	Площадь льда, закрытого мореной, менее 0,1 км ²				На карте показан сложный долинный ледник, занимающий почти всю долину реки. На самом деле покрытая растительностью древняя морена спускается до высоты 2900 м, а ледники расположены в боковых ущельях и до основного русла не доходят. Все три ледника имеют резко выраженное асимметричное питание лавинами со склонов северной экспозиции. Ниже конца каждого ледника имеются участки погребенного льда площадью 0,1 км ²
6	№ 6	4, 13	Ледник «туркестанского типа», питается лавинами. Нижняя часть языка, возможно, омертвела. Средняя высота границы питания 4200 м				
7	№ 7	4	Ниже конца языка имеется участок погребенного льда площадью 0,3 км ² , спускающийся до высоты 3300 м				
9	№ 9	4	Ниже конца языка имеется участок погребенного льда площадью 0,2 км ² , спускающийся до высоты 3450 м	30	№ 30	15, 16	Площадь области абляции менее 0,1 км ²
11	№ 11	4	Ниже конца языка имеется участок погребенного льда площадью 0,1 км ² , спускающийся до высоты 3600 м	31	№ 31	4	Язык ледника малоактивный, постепенно переходит в погребенный лед. Площадь последнего 0,9 км ² , он спускается до высоты 3600 м
15	№ 15	4	В средней части очень грязного широкого языка имеется нунатак	32—35	№ 32—35	3	Расположены в бассейне ледника № 31
16	№ 16	4	Ледник занимает два хорошо выраженных кара, расположенных один над другим	32	№ 32	4	Ледник у своего конца разделяется на два языка, оканчивающиеся на разных высотах
17, 18	№ 17, 18	4	Ниже концов ледников имеется общий участок погребенного льда площадью 0,4 км ² , спускающийся до высоты 3900 м	34	№ 34	8	Ледник получает дополнительное питание с фирнового поля, расположенного в тыловой части кара. Его площадь включена в общую площадь ледника
19, 20	Петруз, № 20	2, 4	Узкие длинные языки соприкасаются боковыми частями почти на всем протяжении. На карте оба ледника показаны сложным долинным ледником Петруз. Ниже их концов имеется участок погребенного льда площадью 0,5 км ² , спускающийся до высоты 3760 м	37	№ 37	4	Большая роль в питании ледника принадлежит лавинам. Ниже конца ледника расположен участок погребенного льда площадью 0,2 км ² , спускающийся до высоты 4100 м
21	№ 21	3, 4, 15, 16	Ледник расположен в бассейне ледника № 19, ниже его конца имеется участок погребенного льда площадью 0,1 км ² , спускающийся до высоты 4100 м. Площадь области абляции ледника менее 0,1 км ²	38, 39	Гуджоваси, № 39	4	На карте ледники № 38, 39 показаны сложным долинным ледником Гуджоваси. В настоящее время эти ледники не соединяются. До высоты 3600 м спускается древняя морена
24	№ 24	13	Указана средняя высота границы лавинного питания.	40	№ 40	4	Ниже конца языка расположен участок погребенного льда площадью 0,2 км ² , спускающийся до высоты 4020 м
25	№ 25	4, 16	Область абляции ледника, свободная от моренного покрова, имеет площадь менее 0,1 км ² . Ниже языка до высоты 4100 м находится участок погребенного льда площадью 0,1 км ²	41	№ 41	4	Ниже конца ледника расположен участок погребенного льда площадью 0,2 км ² , спускающийся до высоты 4000 м
26	№ 26	4	Ниже конца языка находится участок погребенного льда площадью 0,3 км ²	42	№ 42	4	Очень сильно заморенный язык переходит в погребенный лед площадью около 0,3 км ²

Пояснения к таблице 1

№ ледника по таблице	Название	№ графы	Пояснение	№ ледника по таблице	Название	№ графы	Пояснение
1	2	3	4	1	2	3	4
			спускающийся до высоты 4050 м	69, 70	Захарченко	3, 4	Сложный долинный ледник, образующийся слиянием двух ветвей. Область питания правой ветви (№ 69) — стенки и чаша обширного кара, разделенного нунатаками на несколько камер. Дополнительное питание получает с участка фирна, расположенного на склоне северной экспозиции. Река, вытекающая из-под ледника Захарченко, течет между склоном и левой боковой мореной Язгулемского ледника
43	№ 43	4	Ледник «туркестанского типа», питающийся лавинами				
44	№ 44	4	Ледник расположен в узком каре с отвесными стенками, питается лавинами со склонов. Ниже конца языка расположен участок погребенного льда площадью 0,2 км ² , спускающийся до высоты 3600 м				
47	№ 47	13	Полностью расположен в области абляции, питание лавинное				
48	№ 48	4	Вблизи конца язык ледника раздваивается	71	№ 71	4	Ледник «туркестанского типа», закрыт мореной, питание лавинное
49, 50	№ 49, 50	9, 15	Площади участков льда, закрытых мореной, у каждого из ледников менее 0,1 км ² , но для всего сложного долинного ледника она равна 0,1 км ²	72	№ 72	4	Питание преимущественно лавинное со склона северной экспозиции
51, 52	№ 51, 52	4	Ниже концов языков расположен общий участок погребенного льда площадью 0,3 км ² , спускающийся до 3900 м	73	№ 73	3	Расположен в бассейне ледника № 72
60	№ 60	4	Ниже конца языка расположен участок погребенного льда площадью 0,3 км ² , широким языком спускающийся до высоты 4000 м	74	№ 74	4	Большую роль в питании играют лавины и обвалы фирновых полей со склона северной экспозиции
62, 63	Язгулемский, № 63	4	Сложный долинный ледник Язгулемский имеет небольшой приток с правого борта, ледник № 63. Фирновая область первого от языка отделена ледопадом, имеет перевальные седловины с ледниками Федченко и Язгулемдара. Ледник получает дополнительное питание лавинами с крутого левого борта долины почти на всем протяжении языка. Ниже современного языка расположены участки погребенного льда площадью 1,9 км ² , спускающиеся до высоты 3300 м	79	№ 79	4	Сложный долинный ледник, образованный слиянием двух потоков и имеющий справа небольшой приток северо-восточной экспозиции. Язык ледника сильно засыпан мореной, мало активный, а самый конец, возможно, омертвел
64—68	№ 64—68	3	Расположены в бассейне ледника № 62	80, 81, 83	№ 80, 81, 83	3	Ледники расположены в бассейне ледника № 79
65	№ 65	16	Небольшая часть языка площадью менее 0,1 км ² закрыта мореной	81	№ 81	4	Сложный долинный ледник, образованный слиянием двух примерно равных потоков. Прежде был притоком ледника № 79
68	№ 68	4, 8	В области аккумуляции ледника находится фирновое поле, питающее ледник обвалами фирна, но не соединяющееся с ним. Его площадь включена в общую площадь ледника. Ледник разделяется на несколько языков, с которых происходят обвалы льда на поверхность Язгулемского ледника	82	№ 82	3, 4	Расположен в бассейне ледника № 81. Широкий чистый язык окаймлен участками погребенного льда площадью 0,3 км ² , спускающимися до высоты 4280 м
				84—94	Ракзоу	4	Дендритовый ледник, основной ствол которого образуется слиянием нескольких ветвей — ледников № 84, 86 и 88, 91, имеющих обширные многокамерные области питания, которые в свою очередь являются сложными долинными ледниками. Основным потоком ледника Ракзоу следует считать ледник № 86, который имеет наибольшую площадь и длину. Долина ледника Ракзоу слабо разработана, представляет чередование

Пояснения к таблице I

№ ледника по таблице	Название	№ графы	Пояснение	№ ледника по таблице	Название	№ графы	Пояснение
1	2	3	4	1	2	3	4
			озерообразных расширений до 1000 м в поперечнике с узкими скалистыми ущельями. Поверхность языка сильно заморена	104	№ 104	4	Ниже конца языка расположен участок погребенного льда площадью 0,1 км ² , спускающийся до высоты 4300 м
95	№ 95	4	Фирновая область ледника, занимающая обширный кар, отделена скалистым уступом от ледникового языка, представляющего возрожденный ледник	105—109	№ 105—109	3, 4	Ледники располагаются в бассейне ледника № 103 во вторичных карах большого цирка южной экспозиции. Ниже концов этих ледников имеется общий участок погребенного льда площадью 0,8 км ² — омертвевший язык долинного ледника, бывшего притока ледника № 103.
98	№ 98	4	Очень короткий язык продуцирует обвалы льда на поверхность ледника Ракзоу				Погребенный лед тянется вдоль правого борта этого ледника и оканчивается на высоте 4200 м
100, 101	№ 100, 101	3, 13	Ледник № 101 расположен в бассейне ледника № 100. Ниже конца ледника № 101 и вдоль правого борта ледника № 100 находится участок погребенного льда площадью 0,3 км ² , спускающийся до высоты 4040 м. Питание ледника № 100 асимметричное лавинами со склона северной экспозиции, следы лавин видны почти на всем протяжении языка. Высота границы питания понижается вдоль склона северной экспозиции с 4700 до 4500 м	107	№ 107	15, 16	Площадь области абляции менее 0,1 км ²
				110	№ 110	13	Указана средняя высота границы лавинного питания
				111	№ 111	4	Сильно загрязненный язык, на котором следы лавин со склона северной экспозиции. Ниже конца языка расположен участок погребенного льда площадью 0,2 км ² , спускающийся до высоты 3400 м
102	№ 102	4, 13	Ледник имеет асимметричное питание лавинами со склона северной экспозиции. Высота границы питания понижается вдоль склона северной экспозиции с 4800 до 4600 м	112	№ 112	3	Находится в бассейне ледника № 111
				113	№ 113	4, 15, 16	Фирновое поле, область абляции отсутствует
				114	№ 114	4	Ледник «туркестанского типа», имеющий сильно загрязненный язык и питающийся лавинами
103	Ляп-Назар	4	На склоне г. Ляп-Назар на высотах 5800—5900 м расположено фирновое плато, сток из которого в основном происходит на север, в правую ветвь ледника Язгулемдара, и на юг, в небольшой ледник на южном склоне Язгулемского хребта. Часть фирна из этого плато поступает в фирновую область ледника Ляп-Назар. Язык ледника производит впечатление малоактивного, на его поверхности в средней части много озер, конец грязный, плоский, не имеет хорошо выраженного лба. Питание асимметричное, лавинами со склона северной экспозиции. Вдоль правого борта тянется участок погребенного льда, остаток омертвевшего языка бывшего правого притока	115	№ 115	4	Ледник имеет широкий грязный деградирующий язык, питается главным образом лавинами и обвалами с двух висячих ледников № 116 и 117 и фирновых полей, расположенных на склонах цирка
				116, 117	№ 116, 117	3, 4, 15	Висячие ледники, расположенные в бассейне ледника № 115 и питающие его обвалами льда и фирна. Область абляции ледника № 117 имеет площадь менее 0,1 км ²
				118	Бирджрафдара	4	Сложный долинный ледник с многокамерной областью питания и одним правым притоком — ледником № 119
				119	№ 119	4	В области абляции ледник разделяется на два языка, из которых левый является притоком ледника № 118
				120, 121	№ 120, 121	3	Расположены в бассейне ледника № 118
				123, 124	№ 123, 124	4	Ледники почти на всем протяжении обла-

Пояснения к таблице I

№ ледника по таблице	Название	№ графы	Пояснение	№ ледника по таблице	Название	№ графы	Пояснение
1	2	3	4	1	2	3	4
125	№ 125	4	сти абляции соприкасаются друг с другом своими боковыми частями	142	№ 142	4, 13	щади областей абляции менее 0,1 км ²
127	№ 127	3, 4, 13	Ледник имеет многокамерную область питания				Язык ледника грязный, фирн и чистый лед располагаются узкой полосой вдоль склона северо-восточной экспозиции.
128, 130	№ 128, 130	3	Указана высота границы лавинного питания, которая повышается с запада на восток вдоль склона северной экспозиции. Ледник расположен в бассейне ледника № 126				Высота границы лавинного питания увеличивается с юго-востока на северо-запад. Слева от ледника в боковом каре располагается участок погребенного льда площадью 0,2 км ² , примыкающий к леднику № 142
130	№ 130	13	Ледники расположены в бассейне ледника № 125	145	№ 145	15, 16	Площадь области абляции менее 0,1 км ²
			Указана высота границы лавинного питания, которая повышается с запада на восток вдоль склона северной экспозиции	147	№ 147	4	Узкий длинный покрытый мореной язык отделен крутым уступом от области аккумуляции, расположенной в обширном каре
131	№ 131	4	Язык ледника грязный, нижняя его часть, возможно, омертвела. Слева имеет приток площадью менее 0,1 км ² , включенный в площадь основного ледника	148	№ 148	4, 8	Приток ледника № 147. В области абляции эти ледники трудно расчленивать, поэтому площади и высотные характеристики ледника № 148 даны по месту слияния этих ледников
132	№ 132	4	Возрожденный ледник, питаемый обвалами фирнового поля				Лавинный снег лежит прямо на грязной поверхности языка
133, 134	№ 133, 134	4, 13	Сложный долинный ледник, образованный слиянием двух потоков. Правый поток, ледник № 133, имеет многокамерную область питания и сильно засыпанный мореной малоактивный язык. Большую роль в питании ледника играют лавины со склона северной экспозиции. Левый поток (№ 134) имеет узкий и длинный язык и область питания, расположенную в крупном двухкамерном цирке. Граница питания понижается с запада на восток вдоль склона северной экспозиции, с которого ледник получает дополнительное лавинное питание	150	№ 150	4, 13	Ледник «туркестанского типа», фирновая область отсутствует, только вдоль его края следы лавин. Ниже конца языка расположен участок погребенного льда площадью 0,2 км ² , спускающийся до высоты 3350 м
				153	№ 153	4	Сильно засыпанный мореной язык. Большую роль в питании ледника играют лавины. На склоне цирка расположено фирновое поле площадью 0,3 км ² , питающее ледник обвалами. Его площадь включена в площадь ледника
135, 136	№ 135, 136	3, 4	Расположены в бассейне ледника № 133. Большую роль в питании играют лавины	154	№ 154	4, 8	Конец языка ледника на протяжении 0,5 км течет параллельно леднику Каддахт (№ 158), но отделен от него боковой мореной последнего.
137, 138	№ 137, 138	4	Примыкают к леднику № 134, но отделены от него моренами				В верховьях ледника № 155 расположено фирновое поле, питающее ледник обвалами фирна. Его площадь включена в общую площадь ледника
139	№ 139	3, 4, 13	Расположен в бассейне ледника № 134. Указана средняя высота границы лавинного питания. Ниже конца языка расположен участок погребенного льда площадью 0,2 км ² , доходящий до ледника № 134	155	№ 155	4, 8	Является притоком сложного долинного ледника № 155. Все площадные и высотные характеристики даны по слиянию с ледником № 155
140, 141	№ 140, 141	3, 15, 16	Расположены в бассейне ледника № 134, пло-	156	№ 156	4, 8	

Пояснения к таблице 1

№ ледника по таблице	Название	№ графы	Пояснение	№ ледника по таблице	Название	№ графы	Пояснение
1	2	3	4	1	2	3	4
157	№ 157	3, 4	Расположен в бассейне ледника № 156. Сильно засыпанный конец ледника переходит в погребенный лед. Питание преимущественно лавинное	181—184	№ 181—184	2, 3	На карте все ледники, расположенные в верховьях р. Выдвяджа, называются ледниками Выдвядж. Истоком реки можно считать реку, вытекающую из-под погребенного льда, общего для ледников № 182 и 183.
160, 161	№ 160, 161	3	Расположены в бассейне ледника № 158.				
162, 163	№ 162, 163	3	Расположены в бассейне ледника № 159.	182, 183	№ 182, 183	4	Ледники соприкасаются друг с другом на небольшом участке в концевых частях. Ниже их концов расположен участок погребенного льда площадью 0,3 км ² , спускающийся до высоты 3520 м
162—164	№ 162—164	4, 13	Ледники «туркестанского типа» с сильно засыпанными мореной языками и следами лавин. Полностью расположены в области абляции				
168	№ 168	4	Приток сложного долинного ледника № 167. Его площадные и высотные характеристики даны по слиянию с этим ледником	186	№ 186	15, 16	Площадь области абляции менее 0,1 км ²
				187	№ 187	4	Язык ледника почти весь закрыт мореной. Ледник имеет большой снегосборный бассейн — два кара, на склонах которых много снега и небольших фирновых полей, площадь которых включена в общую площадь ледника. В нижней части язык получает дополнительное питание из кара, расположенного у левого борта
169	№ 169	4, 13	Приток ледника № 167. Ледник «туркестанского типа» с сильно засыпанным мореной языком и с лавинным питанием, полностью расположен в области абляции				
170	№ 170	4, 13	Ледник «туркестанского типа» (возможно, участок погребенного льда) с сильно засыпанным мореной языком и лавинным питанием. Полностью расположен в области абляции	190, 191	№ 190, 191	4	Ниже концов языков расположен участок погребенного льда площадью 0,3 км ² , спускающийся до высоты 3820 м
171	Дара-Бугуз	4	Основной ствол сложного долинного ледника. Его узкий длинный язык протянулся с востока на запад параллельно Язгулемскому хребту. Питание преимущественно лавинами со склона северной экспозиции и обвалами с фирновых полей, площадь которых включена в общую площадь ледника. После впадения второго левого притока (№ 173) язык ледника через узкую щель крутым ледопадом спускается в долину	192	№ 192	4	Ниже конца ледника расположен участок погребенного льда площадью 0,1 км ² , спускающийся до высоты 3820 м.
				193	№ 193	4	Имеет двухкамерную область питания
				195	№ 195	15, 16	Площадь области абляции менее 0,1 км ²
				196—206	№ 196—206	2, 3	Ледники № 196—206, всевозобразно располагающиеся в верховьях р. Ванаудара, на карте называются ледниками Ванау. Истоком р. Ванаудара можно считать реку, вытекающую из-под ледника № 203, который среди указанных ледников имеет наибольшую площадь
174, 175	№ 174, 175	4, 13	Крупные фирновые поля, питающие обвалами ледник № 171. Полностью расположены в области аккумуляции				Кроме левого притока, ледника № 197, белым языком вливающегося в сильно загрязненный язык основного ствола, имеет справа небольшой приток — каровый ледник размером менее 0,1 км ² , площадь которого включена в общую площадь ледника № 196
176, 177	№ 176, 177	4, 13	Крупные фирновые поля, питающие обвалами ледник № 173. Полностью расположены в области аккумуляции	196	№ 196	4	
178, 180	№ 178, 180	4, 13	Ледники «туркестанского типа» (возможно, погребенный лед) с сильно засыпанными языками и лавинным питанием, полностью расположены в области абляции	199	№ 199	4	Ледник имеет широкий, ровный, покрытый

Пояснения к таблице 1

№ ледника по таблице	Название	№ графы	Пояснение	№ ледника по таблице	Название	№ графы	Пояснение
1	2	3	4	1	2	3	4
202	№ 202	3	мореной язык, на поверхности которого много озер	230	№ 230	3	соединяется с запада на восток вдоль склона северной экспозиции с 4100 до 4400 м
203	№ 203	4	Расположен в бассейне ледника № 201	231	№ 231	3, 15, 16	Расположен в бассейне ледника № 229
204	№ 204	4	Кроме основного языка имеет еще два небольших языка, оканчивающихся на разных высотах	232	Одуды	2, 4	Расположен в бассейне ледника № 230. Площадь области абляции менее 0,1 км ²
206	№ 206	4, 10	Возрожденный ледник, область питания которого и небольшой участок области абляции отделены скалистым уступом от основной части языка, лежащей в долине	233	№ 233	4	В верховьях соединяется с ледником, текущим на юг, в бассейне р. Бартанга, и с ледником № 233. Название Одуды, на карте принадлежащее трем сливающимся верховьями ледникам, может быть присоединено леднику № 232, по которому идет тропа на перевал Одуды. Язык окаймляют участки погребенного льда площадью 0,2 км ² , спускающиеся до высоты 2960 м
208	№ 208	4	Из фирнового бассейна спускаются два хорошо выраженных длинных узких языка, из которых верхний кончается на высоте 4100 м	233, 235	№ 233, 235	4	Соединяется в верховьях с ледником № 232
209	№ 209	15, 16	Ниже конца языка расположен участок погребенного льда площадью 0,4 км ² , спускающийся до высоты 4000 м	234	№ 234	3, 15, 16	Ниже концов языков находится участок погребенного льда площадью 0,3 км ² , спускающийся до высоты 3860 м
210	№ 210	4	Площадь области абляции менее 0,1 км ²	236—244	№ 236—244	4	Расположен в бассейне ледника № 233. Площадь области абляции менее 0,1 км ²
211, 212	№ 211, 212	4	У подножия склона, на котором расположен карово-висячий ледник № 210, находится участок погребенного льда площадью 0,2 км ² , спускающийся до высоты 4000 м	236—240	№ 236—240	4	Рельеф этого района на карте нарисован неправильно, ледники не нанесены вообще. Высоты даны приблизительно
219	№ 219	4	На протяжении нижних 2 км языки ледников соприкасаются боковыми частями, но не сливаются, а разделены мореной и кончаются двумя самостоятельными языками	238	№ 238	15, 16	Ледники занимают вторичные кары в общем древнем цирке
220	№ 220	3, 15, 16	Из кара крутым ледопадом спускается очень узкий язык	241	№ 241	4, 13	Площадь области абляции менее 0,1 км ²
221	№ 221	4	Расположен в бассейне ледника № 219. Площадь области абляции менее 0,1 км ²	242	№ 242	13	Указана высота границы лавинного питания. Ниже конца языка расположен участок погребенного льда площадью 0,4 км ² , спускающийся до высоты 3050 м
224	№ 224	15, 16	Имеет двухкамерную область питания	243, 244	№ 243, 244	4, 13	Указана средняя высота границы лавинного питания
224, 225	№ 224, 225	4	Площадь области абляции менее 0,1 км ²				Указана средняя высота границы лавинного питания. Ниже концов ледников расположен участок погребенного льда площадью 0,3 км ² , спускающийся до высоты 3500 м
227, 228	№ 227, 228	15, 16	Ниже концов ледников имеется участок погребенного льда площадью 0,4 км ² , спускающийся до высоты 4200 м, к которому слева примыкает еще один ледничок размером менее 0,1 км ²				
229	№ 229	4	Площади областей абляции менее 0,1 км ²				
			Язык ледника сильно заморенен, на его поверхности много озер. Питание преимущественно лавинное. Высота границы питания повы-				

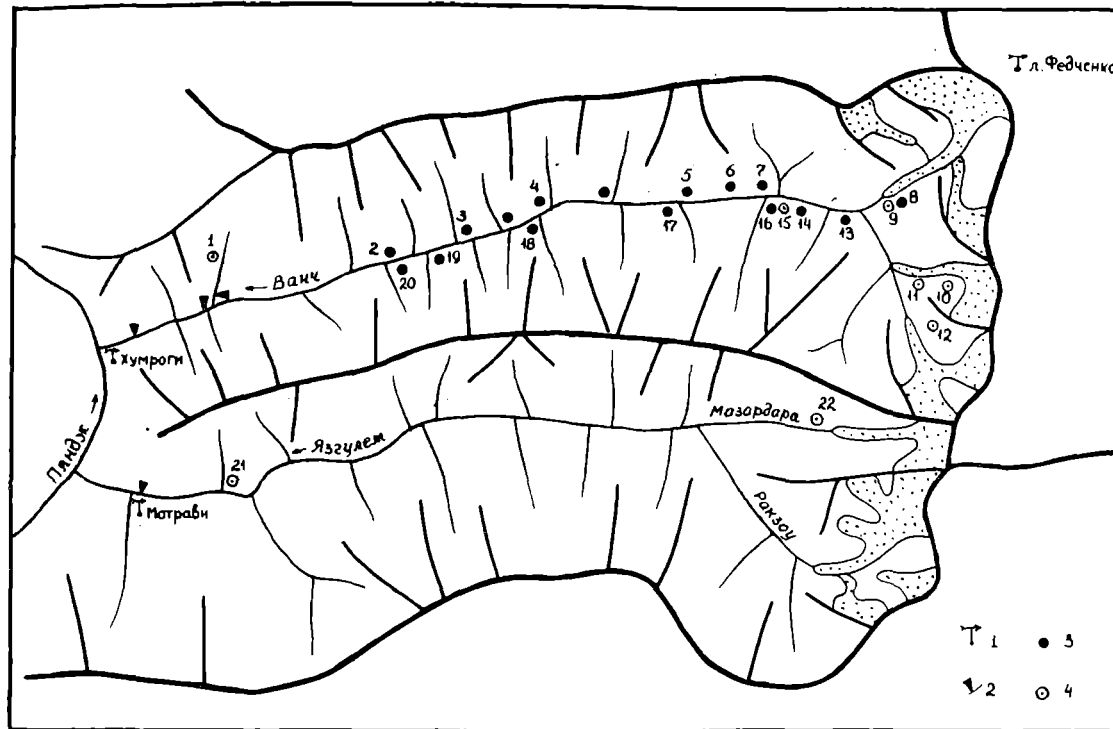


Рис. 32. Схема расположения гидрометеорологических станций, постов и суммарных осадкомеров в районе ледников.
 1 — действующие метеорологические станции и пост, 2 — действующий гидрологический пост, 3 — снегомерный пункт, 4 — суммарный осадкомер.

ТАБЛИЦА II

СПИСОК ГИДРОМЕТЕОРОЛОГИЧЕСКИХ СТАНЦИЙ И ПОСТОВ В РАЙОНЕ ЛЕДНИКОВ

№ п/п	Название реки, в бассейне которой расположена станция	Название станции или поста	В чем ведении находится	Абсолютная высота, м	Площадь водосбора гидрологических станций и постов, км ²	Период наблюдений, годы							
						уровень воды	сток воды	сток наносов	химический состав воды	основные метеорологические	осадки	толщина снега	дополнительные
1	2	3	4	5	6	7	8	9	10	11	12	13	14
1	Ванч	гп Ванч	УГМС ТаджССР	1750	1920	1932—1962	1932—1962	1934, 1940, 1942, 1943, 1947, 1948, 1950—1962	1940, 1947, 1962	—	—	—	—
2	Гуфиф	гп Рохарв	УГМС ТаджССР	1750	59,8	1951—1962	1951—1962	—	—	—	—	—	—
3	Ванч	гмст Хумроги	УГМС ТаджССР	1740	2060	1936—1976	1963—1976	1963—1976	1963—1976	1955—1976	1956—1976	1956—1976	—
4	Язгулем	мп, гп Мотраби	УГМС ТаджССР	1710	1940	1934—1976	1938, 1940—1976	1938, 1940, 1950—1976	1940, 1962, 1976	—	1947—1950, 1952—1976	1942—1943, 1950—1976	—
5	Ледник Федченко	гмст Ледник Федченко	УГМС ТаджССР	4170	—	—	—	—	—	1933—1976	1933—1976	1933—1976	Радиационный баланс с актинометрическими наблюдениями: 1934—1976

СПИСОК СУММАРНЫХ ОСАДКОМЕРОВ И СНЕГОМЕРНЫХ ПУНКТОВ В РАЙОНЕ ЛЕДНИКОВ

№ п/п	Название бассейна и номер осадкомера или снегопункта	Местоположение	Абсолютная высота, м	Экспозиция склона	Период наблюдений, годы
1	2	3	4	5	6
1	Чапдара (бассейн р. Гуфуфа, Ванч), ос 87	Правый берег р. Чапдары, у летника	2800	В	1965—1976
2	Ванч, сп 4а	В верхней части кишл. Потов	1970	гориз.	1957—1976
3	Ванч, сп 5	В 0,6 км ниже кишл. Техарв	2040	гориз.	1952—1976
4	Ванч, сп 6 (две площадки)	кишл. Ширговад	2070	гориз.	1952—1976
5	Ванч, сп 10	В 0,2 км ниже кишл. Мургутга	2200	гориз.	1952—1976
6	Ванч, сп 11	кишл. Вань-Вань	2260	гориз.	1952—1976
7	Ванч, сп 12	кишл. Вань-Вань-Боло	2300	гориз.	1952—1976
8	Ванч, сп 17	Левая боковая морена ледника Географического общества	2660	гориз.	1962—1976
9	Ванч, ос 47	Левая боковая морена ледника Географического общества, в 0,8 км ниже его конца	2620	С	1958—1976
10	Абдукагор (бассейн р. Ванча), ос 58	На склоне у левого притока ледника Медвежий	3640	С	1961—1976
11	Абдукагор (бассейн р. Ванча), ос 57	На левой боковой морене ледника Медвежий в 2,2 км выше устья р. Дустироза	3300	С	1961—1976
12	Абдукагор (бассейн р. Ванча), ос 178	На правой боковой морене ледника Шумный	4500	Ю	1965—1976
13	Ванч, сп 16	Летник Равак	2520	гориз.	1962—1976
14	Ванч, сп 15	В 0,5 км выше кишл. Поймазар	2430	гориз.	1952—1976
15	Ванч, ос 16	кишл. Поймазар	2420	гориз.	1954—1976
16	Ванч, сп 14	кишл. Поймазар	2360	гориз.	1952—1976
17	Ванч, сп 9а	кишл. Рованд	2190	гориз.	1963—1976
18	Ванч, сп 8	кишл. Гумаст	2150	гориз.	1952—1976
19	Ванч, сп 5а	кишл. Чихох	1990	гориз.	1963—1976
20	Ванч, сп 4	кишл. Джовид	1960	гориз.	1957—1976
21	Язгулем, ос 17	кишл. Джамак	2030	гориз.	1955—1976
22	Мазардара (бассейн р. Язгулема), ос 104	В 1 км ниже конца Язгулемского ледника	3600	Ю	1968—1976

ЭКСПЕДИЦИОННЫЕ И СТАЦИОНАРНЫЕ ИССЛЕДОВАНИЯ ЛЕДНИКОВ

№ п/п	Номер ледника по схеме	Время проведения работ	Характеристика (состав) проведенных исследований	Организация, производившая работы	№ источника по табл. V
1	2	3	4	5	6
1	84—94 (Язгулем)	1909	Отряд Н. И. Косиненко из долины Бартанга перевалил в долину р. Ракзоу и впервые посетил ледник Ракзоу	РГО	34
2	84—94 (Язгулем)	1915	Посещение и описание ледника Ракзоу	»	9
3	96—99 (Ванч)	1916	Описание ледника Географического общества и верховьев долины р. Ванча	»	4, 7
4	96—99, 118, 123—126 (Ванч), 62, 84—94 (Язгулем)	1928	Полуинструментальная съемка ледников Географического общества и Красноармейский (Ванч) и глазомерная съемка ледников Медвежьего, Абдукагорского, (Ванч) и Язгулемского и Ракзоу (Язгулем)	АН СССР	5
5	Долины рек Ванча и Язгулема, ледники 96—99, 118 (Ванч) и 62, 84—94 (Язгулем)	1948—1949, 1950	Маршрутное исследование и составление карты-схемы оледенения бассейнов, полустационарные исследования на отдельных ледниках (поверхностное таяние, движение, изучение микроклиматических условий ледников и ледниковых районов)	Геогр. фак-т МГУ	21, 22 23, 24, 25
6	118 (Ванч)	VII 1961— —X 1962	Тахеометрическая съемка конца ледника, измерения скорости движения льда, абляции, гидрологические измерения	УГМС ТаджССР	50
7	123—126 (Ванч)	IX 1961	Отбор проб по многолетнему разрезу фирновой толщи в районе перевала на ледник Федченко для изотопного анализа	Отдел гляциол. ИМАН УзССР	28
8	96—99 (Ванч)	IX 1961	Тахеометрическая съемка фронтальной линии ледникового языка	Отдел гляциол. ИМАН УзССР	
9	96—99, 118 (Ванч)	1962—1976	Ежегодные теодолитные съемки положения фронта ледников	УГМС ТаджССР	33, 46
10	118 (Ванч)	V—VII 1963	Гидрологические работы в связи с быстрой подвижкой ледника и образованием подпрудного озера, измерения скорости продвижения фронта ледника	»	51
11	(118 (Ванч))	V, IX 1963	Рекогносцировочное обследование ледника в период подвижки, измерение скорости движения льда	Отдел гляциол. ИГАН	12, 53 56
12	118 (Ванч)	1964—1967	Ежегодные полустационарные гляциологические и геоморфологические исследования (измерения скорости движения льда и абляции, фототеодолитные съемки, эпизодические измерения температуры льда, опыты по искусственному усилению таяния льда и снега, балансовые наблюдения в фирновой области (1965 г.) и др.)	То же	1, 2, 13, 16, 19, 31, 45
13	96—99, 109 (Ванч)	1965	Аэровизуальные и маршрутные исследования, гидрометеорологические наблюдения, измерение скоростей движения льда	»	14, 42, 60
14	Реки Абдукагор и Ванч	1964, 1965	Гидрологические наблюдения на р. Абдукагоре и на замыкающем створе ледника Географического общества	Отдел гляциол. ИГАН	36, 37
15	р. Дараимотравн (бассейн р. Язгулема)	1967	Гидрологические наблюдения	Памирский гидролог. отряд ИГАН	35, 37
16	118 (Ванч)	1968—1976	Комплексные полустационарные исследования: гляцио-геоморфологические, гидрологические, актинометрические и метеорологические наблюдения, повторные фототеодолитные съемки, измерения скорости движения льда и абляции, плотности льда, толщины ледника гравиметрическим методом (1969 г.)	Памирская высокогорная экспед. отдела гляциол. ИГАН	6, 10, 16, 17, 19, 20, 49
17	96—99 (Ванч)	VII—IX 1968, VII—IX 1969	Комплексные гляциологические исследования: балансово-градиентные, гидрологические измерения, альбедосъемка, теплофизические измере-	Лаборатория гляциол. ИГиГАН УзССР	29, 47, 48, 54, 59

№ п/п	Номер ледника по схеме	Время проведения работ	Характеристика (состав) проведенных исследований	Организация, производившая работы	№ источника по табл. V
1	2	3	4	5	6
18	Верховья долины рек Ванча и Язгулема	IX 1968	наблюдения на контакте лед—морена, наблюдения за движением ледника, таянием, испарением и фильтрацией в снежно-фирновой толще, шаропилотные и др. наблюдения	По заказу отдела гляциол. ИГАН	
19	118 (Ванч)	VIII 1969	Аэрофотосъемка	Лаборатория гляциол. ИГиГАН УзССР	
20	Оледенение бассейнов рек Ванча и Язгулема	VIII 1972	Определение теплофизических свойств и литологического состава моренного покрова	Памирская высокогорная экспед. отдела гляциол. ИГАН	
21	Ледники бассейнов рек Абдукагора, Дустироза, Дарасунгата и Дараседа	1972, 1974	Аэровизуальное дешифрирование аэрофотоснимков с целью каталогизации ледников	То же	
22	118 (Ванч)	V—IX 1973	Маршрутное обследование и наземное дешифрирование аэрофотоснимков ледников	»	18, 20
23	118 (Ванч)	V—IX 1973	Аэровизуальные и наземные наблюдения за подвижкой ледника, повторные фототеодолитные съемки, измерения скоростей движения льда и фронта ледника, гидрологические наблюдения	УГМС ТаджССР	1, 52, 57
24	96—99 (Ванч)	VI—VIII 1974	Гидрологические наблюдения на подпруженном ледником Медвежьим озере и на р. Абдукагоре ниже ледника	Отдел гляциол. Ин-та геол. АН ТаджССР	30
25	96—99 (Ванч)	VI—VIII 1975, VI—IX 1976	Измерения скорости движения льда и изменений высоты поверхности языка ледника	Лаборатория гляциол. Отдела охраны и рационального использования природных ресурсов АН ТаджССР	58
26	123—126 (Ванч)	VII—IX 1976	Измерения скорости движения льда и изучения температурного режима воздуха и таяния льда под моренным покровом	То же	
			Измерения скорости движения концевой части ледника		

СПИСОК РАБОТ, СОДЕРЖАЩИХ СВЕДЕНИЯ О ЛЕДНИКАХ

№ п/п	Номер ледника по схеме и название бассейна	Автор и наименование работы	Место издания работы	Краткая аннотация
1	2	3	4	5
1	98, 118 (Ванч)	Бажев А. Б. Закономерности таяния искусственно запыленной поверхности ледника	«Материалы гляциол. исслед. Хроника, обсуждения», 1973, вып. 21	Результаты опытов в фирновых областях ледников Медвежьего и Кашал-Аяк
2	Оледенение Памиро-Алая	Проблемы современного оледенения Памиро-Алая. Авт.: А. Б. Бажев, Г. М. Варнакова, В. М. Котляков, О. В. Рототаева	«Труды САНИГМИ», 1974, вып. 14 (95)	
3	Оледенение Язгулем-Рушанского района	Бархатов Б. П. Рельеф и современное оледенение Язгулем-Рушанского района (Западный Памир)	«Изв. ВГО», май—июнь 1950, т. 82, вып. 3	Описание маршрута в верховья р. Ванча
4	Верховья долины р. Ванча	Беляев Я. И. На ледниках Гармо	«Изв. РГО», 1923, т. 5, вып. 1	То же
5	Верховья долины р. Ванча	Беляев Я. И. Схематическая карта реки и ледника Гармо и истоков р. Ванч	«Изв. ВГО», 1928, вып. 1	
6	118 (Ванч)	Берикашвили В. Ш., Мачерет Ю. Я. Определение мощности льда и рельефа подледного ложа горных ледников методом подбора с помощью ЭВМ по данным гравиметрических измерений	«Материалы гляциол. исслед. Хроника, обсуждения», 1974, вып. 24	Определение толщины льда на леднике Медвежем на трех поперечных профилях гравиметрическим методом
7	96—99, 118	Беседин П. И. Дарваз	«Изв. РГО», 1923, т. 5, вып. 1	Описание ледника Географического общества, положение фронта и состояние поверхности ледника Медвежьего
8	Средняя Азия	Бугаев В. А. [и др.] Синоптические процессы Средней Азии	Ташкент, Изд. АН УзССР, 1957	
9	84—94 (Язгулем)	Букин В. А. Путь из долины Бартанга в долину Язгулема через перевал Карбуфордж	«Изв. Турк. отд. РГО», 1916, т. 12, вып. 2	Первое посещение и описание ледника Ракзюу
10	118 (Ванч)	Волошина А. П. Внешний энергообмен ледника Медвежий на Памире	«Материалы гляциол. исслед. Хроника, обсуждения», 1976, вып. 26	
11	118 (Ванч)	Глазырин Г. Е., Соколов Л. Н. Возможность прогноза характеристик паводков, вызываемых прорывами ледниковых озер	То же	О прорыве озера, образовавшегося при подвижке ледника Медвежьего
12	118 (Ванч)	Долгушин Л. Д. и др. О периодических быстрых подвижках ледника Медвежьего на Памире	«Изв. АН СССР. Сер. геогр.», 1964, № 5	
13	96—99, 118, 171 (Ванч)	Долгушин Л. Д., Осипова Г. Б. Новые данные о пульсациях современных ледников	«Материалы гляциол. исслед. Хроника, обсуждения», 1971, вып. 18	О подвижках ледников Географического общества, Медвежьего и Равак
14	Оледенение Средней Азии	Долгушин Л. Д., Осипова Г. Б., Рототаева О. В. Морфометрическая характеристика современного оледенения Средней Азии	«Материалы гляциол. исслед. Хроника, обсуждения», 1972, вып. 20	
15	118 (Ванч)	Долгушин Л. Д., Осипова Г. Б. Пульсации современных ледников и проблема их прогнозирования на примере ледника Медвежьего (Западный Памир)	«Изв. АН СССР. Сер. геогр.», 1972, № 2	Режим ледника Медвежьего между подвижками и прогноз его следующей подвижки
16	118 (Ванч)	Долгушин Л. Д. и др. Влияние эоловой запыленности ледников и поверхностной морены на таяние ледников Средней Азии	«Материалы гляциол. исслед. Хроника, обсуждения», 1972, вып. 20	Содержание эолового и моренного материала в поверхностном слое ледника Медвежьего
17	118 (Ванч)	Долгушин Л. Д., Осипова Г. Б. Пульсирующие ледники	«Природа», 1974, № 2	О подвижках ледника Медвежьего и режиме ледника
18	118 (Ванч)	Долгушин Л. Д., Осипова Г. Б., Стулов В. В. Подвижка ледника Медвежьего в 1973 г. и основные черты предшествовавшей ей эволюции ледника	«Материалы гляциол. исслед. Хроника, обсуждения», 1974, вып. 24	Подвижка ледника Медвежьего в 1973 г. и режим ледника между подвижками 1963 и 1973 гг.

№ п/п	Номер ледника по схеме и название бассейна	Автор и наименование работы	Место издания работы	Краткая аннотация
1	2	3	4	5
19	118 (Ванч)	Долгушин Л. Д., Осипова Г. Б., Рототаева О. В. Опыты по искусственному усилению таяния снега и льда радиационным методом	«Материалы гляциол. исслед. Хроника, обсуждения», 1976, вып. 27	Опыты по искусственному усилению таяния льда на поверхности ледника Медвежьего
20	118 (Ванч)	Долгушин Л. Д., Осипова Г. Б. Баланс пульсирующего ледника Медвежьего как основа прогнозирования его периодических подвижек	«Материалы гляциол. исслед. Хроника, обсуждения», 1978, вып. 32	Результаты исследований на леднике с 1963 по 1976 г.
21	96—99 (Ванч)	Забиров Р. Д. Ледник Географического общества	«Побежденные вершины. Ежегодник советского альпинизма. 1950». М., Географгиз, 1950	
22	96—99, 118 (Ванч), 62, 84—94 (Язгулем)	Забиров Р. Д. На ледниках истоков Ванча и Язгулема	«Побежденные вершины. Ежегодник советского альпинизма. 1951». М., Географгиз, 1952	Результаты обследования и полустационарных измерений скорости и абляции
23	96—99, 118, 123—126 (Ванч)	Забиров Р. Д. Оледенение верховьев реки Ванч	«Учен. зап. МГУ. Геогр.», 1952, т. 5, вып. 160	
24	Оледенение Памира	Забиров Р. Д. Новые данные о современном и древнем оледенении Памира	«Вестн. МГУ», 1953, № 6	
25	В целом по бассейнам рек Ванча и Язгулема	Забиров Р. Д. Оледенение Памира	М., Географгиз, 1955	Сводка об оледенении Памира с каталогом ледников, описание оледенения бассейна рек Ванча и Язгулема
26	Оледенение Средней Азии	Забиров Р. Д. Современное состояние ледников Средней Азии	«Информ. бюлл. Междувед. комитета по проведению МГГ при Президиуме АН СССР», 1958, № 5	Общие замечания об эволюции ледников Памира, Тянь-Шаня, Алтая
27	Оледенение Средней Азии	Забиров Р. Д. Оледенение Средней Азии	«Работы Тянь-Шаньской высокогорн. физ.-геогр. станции. Гляциол.», 1958, вып. 1	Положение снеговой линии в горах Средней Азии
28	123—126 (Ванч)	Израэль Ю. А. и др. О содержании трития в ледниках	ДАН, 1964, т. 156, № 5	Результаты анализа проб из фирновой толщи Абдукагорского ледника
29	96—99 (Ванч)	Изучение оледенения в бассейне Амударьи (отчет о работах 1968 и 1969 гг.).	Фонды ТашГУ, 1970	Результаты комплексных гляциологических исследований на леднике Географического общества
30	96—99 (Ванч)	Исследование пульсирующих ледников Таджикистана	Фонды АН ТаджССР, 1975	Измерения скорости движения льда и изменения высоты поверхности в 1975 и 1976 гг.
31	118 (Ванч)	Казанский А. Б. Результаты обследования области питания ледника Медвежий	Геофиз. бюлл., 1964, № 15	
32	Оледенение Средней Азии	Калесник С. В. Очерки гляциологии	М., Географгиз, 1963	Возникновение, развитие, деятельность и распространение современных ледников
33	96—99 (Ванч)	Канаев Л. А. и др. Колебания ледников Средней Азии в последние десятилетия	«Труды САНИГМИ», 1974, вып. 14 (95)	Изменение положения конца ледника Географического общества
34	84—94 (Язгулем)	Косиненко Н. И. По тропам, скалам и ледникам Алая, Памира и Дарваза	«Изв. РГО», 1915, т. 1, вып. 1	Описание маршрута на ледник Ракзоу
35	В целом по бассейнам	Кеммерих А. О. Влияние ледников на изменчивость годового стока рек Памира и Памиро-Алая	«Материалы гляциол. исслед. Хроника, обсуждения», 1973, вып. 21	Режим стока рек Ванча и Язгулема
36	Река Абдукагор и верховья р. Ванча	Кеммерих А. О. Режим стока ледниковых рек Ванча и Абдукагора	«Материалы гляциол. исслед. Хроника, обсуждения», 1974, вып. 23	
37	В целом по бассейнам	Кеммерих А. О. Реки, ледники, озера	М., «Мысль», 1977	Режим стока рек Ванча и Язгулема
38	118 (Ванч)	Коновалов В. Г. Искусственное усиление таяния снега и льда в горах	«Изв. ВГО», 1963, т. 95, вып. 4	Результаты опытов на леднике Медвежьем
39	118 (Ванч)	Коновалов В. Г. Проблема классификации и пространственная изменчивость альbedo однородной поверхности ледников в период абляции	«Труды САНИГМИ», 1969, вып. 44 (59)	То же

№ п/п	Номер ледника по схеме и название бассейна	Автор и наименование работы	Место издания работы	Краткая аннотация
1	2	3	4	5
40	118 (Ванч)	Коновалов В. Г. Измерение абляции ледника на стоковой площадке	«Труды САНИГМИ», 1970, вып. 56 (71)	Результаты измерения абляции на языке ледника
41	хр. Академии Наук	Корженевский Н. Л. О морфологии и гипсометрии хребта Академии Наук СССР	«Труды ин-та геол. УзбАН», 1948, вып. 2	
42	96—99 (Ванч)	Лебедева И. М. Испарение с ледников Средней Азии	«Материалы гляциол. исслед. Хроника, обсуждения», 1972, вып. 20	Результаты наблюдений на языке ледника Географического общества
43	Памир	Морозова М. И., Петросянц М. А., Чернышева О. Н. Особенности воздушных течений над Памиром и Западным Тянь-Шанем	«Метеорология и гидрология», 1959, № 9	
44	Памир	Марков К. К. История рельефа и оледенения Памира	В кн.: 5 лет по Памиру. М.—Л., Изд. АН СССР, 1930	
45	118 (Ванч)	Мусоев З. Химический состав талых вод ледника Медвежий на Памире	«Материалы гляциол. исслед. Хроника, обсуждения», 1976, вып. 25	
46	96—99, 118 (Ванч)	Наблюдения за колебаниями ледников	Фонды УГМС ТаджССР	Результаты ежегодных геодолитных съемок положения фронта ледников
47	96—99 (Ванч)	Назаров И. У. Инфильтрация талой воды в снежно-фирновую толщу	В кн.: Современное оледенение в бассейне р. Зарафшан. Ташкент, «ФАН», 1972	Результаты измерений в фирновой области ледника Географического общества
48	96—99 (Ванч)	Ни А. А. Некоторые результаты аэрологических наблюдений на леднике РГО в июле-августе 1969 г.	«Труды аспирантов ТашГУ (физика и геология)», Ташкент, 1971	
49	118 (Ванч)	Осипова Г. Б. Скорость движения пульсирующего ледника Медвежий	«Труды САНИГМИ», 1974, вып. 14 (95)	
50	118 (Ванч)	Отчет о гляциологических исследованиях на л. Медвежем в 1961—1962 гг.	Фонды УГМС ТаджССР, 1963	Тахеометрическая съемка конца ледника, скорость движения, абляция
51	118 (Ванч)	Отчет о работах на леднике Медвежем, проведенных в связи с быстрым его наступанием в 1963 г.	Фонды УГМС ТаджССР, 1963	Гидрологические измерения, измерения скорости продвижения фронта
52	118 (Ванч)	Отчет о работах на леднике Медвежем в связи с быстрым его наступанием в 1973 г.	Фонды УГМС ТаджССР, 1973	Результаты гидрологических наблюдений на подпруженном озере, а также до, во время и после его прорыва на р. Абдукагоре
53	118 (Ванч)	Рототаев К. П. Ледник Медвежий бунтует	«Побежденные вершины. Ежегодник советского альпинизма, 1961—1964». М., Географгиз, 1966	
54	р. Ванч, 96—99 (Ванч)	Садыков К. Г. Баланс морен, твердый сток и рельефообразующая деятельность современных ледников Средней Азии	Автореф. дисс. на соискание учен. степени канд. геогр. наук. М., 1973	Результаты наблюдений на леднике Географического общества за мутностью, моренным покровом и скоростью движения
55	Реки Ванч и Язгулем	Сауков А. А. К геологии и геохимии Язгулема и Ванча	«Труды Тадж. компл. экспед., 1932 г.», Л., 1934, вып. 14	
56	118 (Ванч)	Сватков Н. М. Перемещение льда в леднике Медвежий (Западный Памир)	«Материалы гляциол. исслед. Хроника, обсуждения», 1964, вып. 10	Измерения скорости движения глыбы льда во время подвижки ледника
57	118 (Ванч)	Соколов Л. Н., Янбулат А. А. Наступание ледника Медвежьего на прорывы подпруженного озера в 1973 г.	«Изв. АН ТаджССР. Отд. физ.-мат. и геол.-хим. наук», 1974, № 3	
58	96—99 (Ванч)	Соколов Л. Н., Янбулат А. А. Движение сложного долинного ледника Русского географического общества (РГО)	В печати	
59	96—99 (Ванч)	Тихановская А. А. К вопросу о таянии льда под моренным покровом	«Труды САНИГМИ», 1970, вып. 56 (71)	Результаты работ на языке ледника Географического общества

№ п/п	Номер ледника по схеме и название бассейна	Автор и наименование работы	Место издания работы	Краткая аннотация
1	2	3	4	5
60	109 (Ванч)	Хмелевской И. Ф. Измерение глубины колодца на леднике Красноармейский		«Материалы гляциол. исслед. Хроника, обсуждения», 1968, вып. 14
61	Памир	Чедия О. К. Основные этапы геологического развития Таджикистана в четвертичное время		«Уч. зап. САИГИМС», Ташкент, 1960, вып. 4
62	118 (Ванч)	Чучкалов Б. С. О причинах движения ледника Медвежьего		«Метеорология и гидрология», 1963, № 9

СОДЕРЖАНИЕ

Предисловие	3
Деление Каталога ледников СССР на тома, выпуски и части	5
Список томов, выпусков и частей Каталога ледников СССР	7
Список принятых сокращений	8
Характеристика географического положения, морфологии, климатических условий и режима ледников	9
Рельеф	—
Гидрографическая сеть	10
Гидрологический режим	11
Климатические условия	12
Оледенение	14
Схемы расположения ледников	33

Основные таблицы Каталога ледников

Т а б л и ц а I. Основные сведения о ледниках бассейна р. Ванча. Пояснения к таблице I	40
Т а б л и ц а I. Основные сведения о ледниках бассейна р. Язгулема. Пояснения к таблице I	58
Т а б л и ц а II. Список гидрометеорологических станций и постов в районе ледников	76
Т а б л и ц а III. Список суммарных осадкомеров и снегомерных пунктов в районе ледников	77
Т а б л и ц а IV. Экспедиционные и стационарные исследования ледников	78
Т а б л и ц а V. Список работ, содержащих сведения о ледниках	80

Каталог ледников СССР, том 14, вып. 3, части 11, 12

Редактор И. С. Якорь. Техн. редактор М. И. Брайнина. Корректор Г. С. Макарова

ИБ № 1015

Сдано в набор 22.12.77. Подписано в печать 7.07.78. М-09558. Формат 60×90¹/₂. Бум. тип. № 1. Лит. гарн. Печать высокая. Печ. л. 10,5. Уч.-изд. л. 13,72. Тираж 310 экз. Индекс ГЛ-217. Заказ № 47. Цена 95 коп. Заказное. Гидрометеониздат. 199053, Ленинград, 2-я линия, д. 23.

Типография издательства «Волгоградская правда». г. Волгоград, Привокзальная площадь. Дом печати.